République Algérienne Démocratique et Populaire Ministère de l'Enseignement Supérieur et de la Recherche Scientifique Université de Boumerdes Faculté de Technologie Département de Génie Civil



Mémoire de fin d'études En vue de l'obtention du diplôme Master académique en Génie Civil Spécialité : structure. Thème :

Etude d'un bâtiment R+9+1entre-sol à usage d'habitation et de commerce contreventé par des voiles porteurs en béton armé

Présenté par :

- Djellad Imane - Mme: T. KAMEL

Encadré par :

- Khider Ibtissem

Promotion: 2023/2024

Remerciements

Nous remercions DIEU qui nous à donner la force et la Patience pour terminer ce travail.

Nous exprimons nos sincères remerciements :

A nos parents pour leur contribution pour chaque Travail que nous avons effectué.

Nous remercions énormément madame TAOUS KAMEL Qui était toujours à nos côtes comme un bon guide, sans oublier son aide et sa générosité.

Sans oublier ceux qui ont participé de près ou de loin a La réalisation de ce travail et ceux qui ont fait l'honneur de jurer ce mémoire.

Merci à tout se monde et que dieu vous garde.

Dédicaces

Je dédie cet ouvrage A ma maman et mon papa qui m'a soutenu et encouragé Durant ces années d'études.

Qu'elle trouver ici le témoignage de ma profonde reconnaissance.

A mes frères, Farouk et Islam ma sœur chérie Roumaissa, et ceux qui ont partagé avec moi tous les moments d'émotion lors de la réalisation de ce travail. Ils m'ont chaleureusement supporté et encouragé tout au long de mon parcours. A ma famille, mes proches et à ceux qui me donnent de L'amour et de la vivacité.

A tous mes amis qui m'ont toujours encouragé, et à qui je souhaite plus de succès.

Khider ibtissem

Dédicaces

Je dédie cet ouvrage A ma maman et mon papa qui m'a soutenu et encouragé Durant ces années d'études.

Qu'elle trouver ici le témoignage de ma profonde reconnaissance.

A mes frères, Fatah et Ali ma sœur chérie fatma Zahra et sa petite fille aya, et ceux qui ont partagé avec moi tous les moments d'émotion lors de la réalisation de ce travail. Ils m'ont chaleureusement supporté et encouragé tout au long de mon parcours.

A ma famille, mes proches et à ceux qui me donnent de L'amour et de la vivacité.

A tous mes amis qui m'ont toujours encouragé, et à qui je souhaite plus de succès.

Djellad imane

Résumé

Ce projet présente une étude détaillée d'un bâtiment à usage d'habitation et commercial, constitué d'un entre-sol, d'un rez-de-chaussée et de 9 étages, implanté dans la wilaya de Boumerdès. Cette région est classée en zone de sismicité élevée (III) selon les règles parasismiques algériennes (RPA99v2003).

L'objectif est le dimensionnement des différents éléments du bâtiment pour déterminer le ferraillage approprié afin d'assurer la résistance de celui-ci aux différentes actions auxquelles il peut être soumis. Pour cela, il a fallu s'appuyer sur les réglementations applicables, notamment CBA93, RPA99/2003 et BAEL91/99.

Le logiciel de calcul ETABS V9.7.0 a été utilisé pour déterminer les efforts internes dans les portiques, ainsi que pour analyser la dynamique et calculer les modes de vibration. Enfin, dans la dernière partie du mémoire, nous avons réalisé l'étude et le calcul des fondations.

Abstract

This project presents a detailed study of a residential and commercial building, consisting of a basement, a ground floor, and 9 floors, located in the wilaya of Boumerdès. This region is classified as a high seismicity zone (III) according to Algerian earthquake regulations (RPA99V2003).

The objective is to dimension the various elements of the building to determine the appropriate reinforcement for its resistance to the different actions to which it may be subjected. It was necessary to rely on the applicable regulations, particularly CBA93, RPA99/2003, and BAEL91/99.

The ETABS V9.7.0 software was used to determine the internal forces in the frames, analyse the dynamics, and calculate the vibration modes. Finally, the last part of the thesis involved the study and calculation of the foundations.

ملخص

: يقدم هذا المشروع دراسة تفصيلية لمبنى مخصص للاستعمال السكني والتجاري مكون من طابق أرضي + طابق أرضي + 9 . طوابق، يقع بولاية بومرداس

(RPA99v2003) حسب القواعد الزلزالية الجزائرية (III) تم تصنيف هذه المنطقة على أنها منطقة زلزالية عالية

كان الهدف هو تحديد أبعاد العناصر المختلفة للمبنى لتحديد التعزيز المناسب لمقاومة الأخير لمختلف الإجراءات التي قد يتعرض .و بايل 89/91 PA99 (2003) (RPA99، 2003) لها، وكان من الضروري الاعتماد على اللوائح المعمول بها، ولا سيما

لتحديد القوى الداخلية في الإطارات والديناميكيات وحساب أوضاع الاهتزاز. ETABS V9.7.0 تم استخدام برنامج الحساب وأخيرا، الجزء الأخير من الأطروحة قمنا بدراسة وحساب الأسس

SOMMAIRE

INI	RODUCTION GENERALE	1
CH	APITRE 1 : PRESENTATION DE L'OUVRAGE.	
1	INTRODUCTION :	3
1.1	Présentation de l'ouvrage :	3
1.2	Caractéristiques géométriques de l'ouvrage :	4
1.3	Données géotechniques du site :	6
1.4	Données sismiques de la structure :	7
1.5	Les éléments de l'ouvrage :	8
1.6	Règlements et normes utilisés :	8
	Caractéristiques mécaniques :	8
1.8	Conclusion:	17
СН	APITRE 2: PRE DIMENIONNEMENT ET DESCENTE DES C	HARGES.
2	INTRODUCTION:	19
	Les planchers :	19
2.2	Pré- dimensionnement des poutrelles :	21
2.3	Pré-dimensionnement des balcons	21
2.4	Pré dimensionnement des escaliers 4.1 Calcul du nombre de marches et contres marches : 4.2 L'inclinaison de la paillasse : 4.3 Épaisseur d'escaliers :	22
	Pré dimensionnement des poutres :	24

2.7 Evaluation des charges	26
Élément	27
2.8 Pré dimensionnement des poteaux	
2.8.1 La descente des charges :	
2.8.2 Calcule la surface afférente. :	32
2.9 Conclusion:	34
CHAPITRE3: CALCUL DES ELEMENTS SECONDAIRE	ZS.
3 INTRODUCTION	36
3.1 Acrotère:	
3.1.1 Définition :	
3.1.2 Calcul des sollicitations :	
3.1.3 Ferraillage de l'acrotère	
□ à ELU :	
3.1.4 VERIFICATION:	39
3.2 Calcul des balcons :	41
3.2.1 Calcul des sollicitations :	
3.2.2 Le ferraillage :	
3.2.3 Les vérifications :	
	45
3.3 Etude des planchers :	
3.3.1 Dalle de compression :	43
3.4 Les poutrelles :	46
3.4.1 Définition :	46
3.4.2 Types de poutrelles :	46
3.4.3 Les méthodes de calcul:	47
3.4.4 Les moments et les efforts tranchant des étages et RDC :	48
3.5 La dalle salle machine :	52
3.5.1 Définition :	
3.5.2 Calcule des sollicitations :	
3.5.3 Evaluation des moments:	
3.5.4 Calcule des moments :	
3.5.5 Calcul les armatures :	
3.5.6 Vérification:	54
3.6 Etude de l'escalier :	5.6
3.6 Etude de l'escalier :	
3.6.1 Paillasse (2 et 3):	
3.6.2 Paillasse (1):	
3.6.3 Etude de poutre palière :	
5.0.5 Litude de pourte pariere	03

3.7	Conclusion:	68
СНА	PITRE 4 : ETUDE DYNAMIQUE ET SISMIQUE.	
4 II	NTRODUCTION:	70
4.1	Etude dynamique	70
4.1.	1 Objectif de l'étude dynamique :	
	2 La modélisation de la structure étudier :	
4.1.	3 Description du logiciel ETABS :	70
4.1.	4 Les étapes de modélisation :	71
	5 Présentation de la vue en 3D :	
4.1.	6 Présentation de la vue en plan :	72
	7 Choix de la disposition des voiles :	
4.1.	8 Caractéristique géométriques et massique de la structure :	75
4.2	Etude sismique de bâtiment :	76
4.2.	1 Choix de la méthode de calcul :	
4.2.	2 La méthode statique équivalente :	76
4.2.	3 La méthode d'analyse modale spectrale :	77
4.3	Les vérifications :	84
4.3.	1 Vérification des sollicitations normales :	84
4.3.	2 Vérification de l'effort tranchant à la base :	85
4.3.	3 Vérification des déplacement inter étages :	86
CHA	PITRE 5: ETUDE DES ELEMENTS STRUCTURAUX.	
5 II	NTRODUCTION :	90
5.1	Ferraillage des voiles :	
5.1.	1 Introduction:	
5.1.		
	3 Etape de calcul :	
	4 Vérification:	
5.1.	5 Exemple de calcul :	96
5.2	Ferraillage des linteaux :	103
	1 Introduction:	
	2 Exemple de calcul :	
	3 Caractéristiques géométriques du linteau :	
5.2.		
5.2.		
	6 Ferraillage de linteau :	
	7 Caractéristiques géométriques des linteaux (VL2/FG), (VL3/BC), (VL4/FG) RDG	
5.2.	8 Sollicitations dans les linteaux (VL2/FG), (VL3/BC), (VL4/FG) RDC :	104

5.2.9 Contraintes limites de cisaillement dans les linteaux (VL2/FG), (VL3/BC),	(VL4/FG)
RDC:	
5.2.10 Ferraillage des linteaux (VL2/FG), (VL3/BC), (VL4/FG) RDC:	105
5.2.11 Schéma ferraillage de linteau (VL1/BC) RDC :	106
5.3 Ferraillage des poteaux :	106
5.3.1 Introduction:	
5.3.2 Armatures longitudinales :	
5.3.3 Armatures transversales :	
5.3.4 Vérification:	
5.4 Fameilles des manteux	111
5.4 Ferraillage des poutres :	
5.4.1 Introduction:	
5.4.2 Armatures longitudinales : RPA 99 version 2003 art 7.5.2.1	
5.4.4 Vérification :	113
CHAPITRE6 6: ETUDE DE L INFRASTRUCTURE.	
	110
6 INTRODUCTION:	118
6.1 Etude de sol:	119
6.2 Type de fondation :	119
6.3 Choix type de fondations :	120
old Cholik type de fondations i	120
6.4 Etude de radier :	121
6.4.1 Introduction:	121
6.4.2 Surface nécessaire :	122
6.4.3 Pré dimensionnement du radier :	
6.4.4 Détermination de la surface nécessaire du radier :	125
6.4.5 Calcul de débordement :	125
6.4.6 Les vérifications :	125
6.5 Ferraillage de la nervure :	120
6.5.1 Ferraillage des nervures suivant x-x,y-y:	
6.5.2 Les vérifications :	
6.5.3 Espacement: RPA99version2003	131
6.6 Etude du mur de soutènement :	
6.6.1 Calcul du mur de soutènement :	132
6.6.2 Détermination des sollicitations :	132
6.6.3 Calcul des forces de poussée sur le mur :	133
6.6.4 Calcul du ferraillage du mur de soutènement :	
6.6.5 Vérification:	
Conclusion générale	136

LISTE DES FIGURES.

CHAPITRE 1: PRESENTATION DE L'OUVRAGE.

FIGURE 1-1: PLAN DE MASSE DE LA STRUCTURE ETUDIER	3
FIGURE 1-2: VUE EN ELEVATION DE LA STRUCTURE ETUDIER	4
FIGURE 1-3: VUE EN PLAN DE REPARTITION DE LA STRUCTURE ETUDIER	5
FIGURE 1-4: PLAN D'ENTRE-SOL DE LA STRUCTURE ETUDIER	6
FIGURE 1-5 : COUPE DE SONDAGE	7
FIGURE 1-6: DIAGRAMME CONTRAINTE DEFORMATION DU BETON A ELU	J12
FIGURE 1-7: DIAGRAMME CONTRAINTE DEFORMATION DU BETON A ELS	12
FIGURE 1-8: DIAGRAMME CONTRAINTE DEFORMATION D'ACIER EXPERI	MENTAL.
	15
FIGURE 1-9 :DIAGRAMME CONTRAINTE DEFORMATION REEL	15
CHAPITRE 2: PRE DIMENIONNEMENT ET DESCENTE DES CH	IARGES.
FIGURE 2-1 : COUPE D'UN PLANCHER EN CORPS CREUX	19
FIGURE 2-2 : COUP D'UN PLANCHER EN CORPS CREUX	
FIGURE 2-3: COUP D'UN PLANCHER EN DALLE PLEIN	20
FIGURE 2-4 :COUPE DE POUTRELLE.	21
FIGURE 2-5 : SCHEMA D'ESCALIER	
FIGURE 2-6 :COUPE DE VOILE EN ELEVATION	25
FIGURE 2-7 :COUP DE VOILE EN PLAN	25
FIGURE 2-8 :PLANCHER TERRASSE INACCESSIBLE	26
FIGURE 2-9 :SCHEMA DE PLANCHER ETAGE COURANT	27
CHAPITRE3: CALCUL DES ELEMENTS SECONDAIRES.	
FIGURE 3-1 :SCHEMA STATIQUE DE L'ACROTERE	
FIGURE 3-2 :SCHEMA FERRAILLAGE D'ACROTERE	
FIGURE 3-3 :SCHEMA STATIQUE D'UN BALCON	
FIGURE 3-4 : DESSIN FERRAILLAGE D'UN BALCON	
FIGURE 3-5 : COUPE D'UN PLANCHER EN CORPS CREUX	
FIGURE 3-6 : SCHEMA FERRAILLAGE DE LA DALLE DE COMPRESSION	
FIGURE 3-7 :COUPE D'UN PLANCHER CORPS CREUX	
FIGURE 3-8 :DIAGRAMME DES MOMENTS A ELU	
FIGURE 3-9 :DIAGRAMME DES EFFORTS A ELU	
FIGURE 3-10 :DIAGRAMME DES MOMENTS A ELS	
FIGURE 3-11 :DIAGRAMME DES EFFORTS A ELS	
FIGURE 3-12 :SCHEMA FERRAILLAGE DES POUTRELLES	51

FIGURE 3-13 : FERRAILLAGE DE LA DALLE MACHINE	56
FIGURE 3-14 :ILLUSTRATION DE TROIS PAILLASSE	56
FIGURE 3-15 : SCHEMA FERRAILLAGE DE L'ESCALIER (PAILLASSE2 ET 3)65
FIGURE 3-16: SCHEMA FERRAILLAGE DE L'ESCALIER (PAILLASSE1)	
FIGURE 3-17 : SCHEMA DE FERRAILLAGE DE LA POUTRE PALIERE :	68
CHAPITRE 4 : ETUDE DYNAMIQUE ET SISMIQUE.	
FIGURE 4-1 :VUE EN 3D DA LA STRUCTURE.	71
FIGURE 4-2 :VUE EN PLAN DE ENTRE SOL DE LA STRUCTURE	
FIGURE 4-3 : VUE EN PLAN DE RDC ET DES 9 ETAGES DE LA STRUCTURE.	
FIGURE 4-4: DISPOSITION DES VOILES X-X, Y-Y	
FIGURE 4-5 : PRESENTATION DU SPECTRE DE REPONSE SELON X ET Y	
FIGURE 4-6 :1erMODE DE VIBRATION	
FIGURE 4-7 :2emeMODE DE VIBRATION	
FIGURE 4-7 .ZemeMODE DE VIBRATION	
FIGURE 4-8 .Semewode de vidration	03
CHAPITRE 5: ETUDE DES ELEMENTS STRUCTURAUX.	
FIGURE 5-1 :DISPOSITIONS DES VOILES X-X,Y-Y	02
FIGURE 5-2 : DISPOSITIONS DES ARMATURES VERTICALES DANS LES VO	
FIGURE 5-3 :SCHEMA DES CONTRAINTES DANS LES VOILES	
FIGURE 5-4 : SCHEMA FERRAILLAGE DE VOILE (VL5)	
FIGURE 5-5 : SCHEMA FERRAILLAGE DE VOILE (VL3)	
FIGURE 5-6 : SCHEMA FERRAILLAGE DES POTEAUX	
FIGURE 5-7 : SCHEMA FERRAILLAGE DES POUTRES PRINCIPALES ET SEC	
FIGURE 5-7 . SCHEMA PERRAILLAGE DES FOUTRES FRINCIPALES ET SEC	
CHAPITRE6 6: ETUDE DE L'INFRASTRUCTURE.	
CHAPITREO 0: ETUDE DE L'INFRASTRUCTURE.	
FIGURE 6-1 :SEMELLE FILANTE.	121
FIGURE 6-2 :DISPOSITION DES NERVURES PAR RAPPORT AU RADIER ET	
POTEAUX	_
FIGURE 6-3 :DIMENSION DE L OUVRAGE.	
FIGURE 6-4 SHEMA DE RADIER NERVURE	122
FIGURE 6-4 :SHEMA DE RADIER NERVURE	122 124
FIGURE 6-5 :SHEMA DE LA SECTION DE NERVURE.	122 124 129
	122 124 129 132

LISTE DES TABLEAUX.

CHAPITRE 1: PRESENTATION DE L'OUVRAGE.

TABLEAU 1-1: PROPRIETES DES MATERIAUX, SOL ET SISMIQUE7
TABLEAU 1-2: LES CLASSES DES GRANULATS9
TABLEAU 1-3 : CARACTERISTIQUES DE BETON UTILISES
TABLEAU 1-4: LES TYPES D'ACIERS
TABLEAU 1-5 : CARACTERISTIQUES DE L'ACIER UTILISES
CHAPITRE 2: PRE DIMENIONNEMENT ET DESCENTE DES CHARGES.
TABLEAU 2-1: PRE DIMENSIONNEMENT DES POUTRES PRINCIPALES24
TABLEAU 2-2: PRE DIMENSIONNEMENT DES POUTRES SECONDAIRES24
TABLEAU 2-3 : EVALUATION DES CHARGES DANS LA TERRASSE INACCESSIBLE. 26
TABLEAU 2-4 : EVALUATION DES CHARGES DANS LA TERRASSE ACCESSIBLE.27
TABLEAU 2-5 : EVALUATION DES CHARGES DANS LES ETAGES ET RDC27
TABLEAU 2-6: EVALUATIONS DES CHARGES DANS LE BALCON28
TABLEAU 2-7: EVALUATION DES CHARGES DANS LES MURS EXTERIEURS28
TABLEAU 2-8: EVALUATION DES CHARGES DANS LE PALIER29
TABLEAU 2-9: EVALUATION DES CHARGES DANS LA PAILLASSE29
TABLEAU 2-10: EVALUATION DES CHARGES DANS LES NIVEAUX29
TABLEAU 2-11 : CHARGE REVENANT AU POTEAU CENTRAL32
TABLEAU 2-12 : SECTION DE POTEAU CENTRAL
CHAPITRE3: CALCUL DES ELEMENTS SECONDAIRES.
TABLEAU 3-1 :CALCUL MOMENTS ET EFFORTS NORMAUX DE L ACROTER37
TABLEAU 3-2 : RESULTATS DE CONTRAINTE DE COMPRESSION DANS LE BETON DE
L'ACROTERE40
TABLEAU 3-3 :RECAPITULE DES RESULTATS DE CONTRAINTE DE COMPRESSION
DANS LE BETON (BALCON)44
TABLEAU 3-4 :CHARGES ET SURCHARGES ET COMBINAISONS DE CHARGES47
TABLEAU 3-5 :RECAPITULE DES RESULTATS DE CONTRAINTE DE COMPRESSION
DANS LE BETON (POUTRELLES)51
TABLEAU 3-7 :CALCUL DES MOMENTS
TABLEAU 3-8 :FERRAILLAGE A L'ELU
TABLEAU 3-9 :RECAPITULE DES RESULTATS DE CONTRAINTE DE COMPRESSION
DANS LE BETON55
TABLEAU 3-10 :MOMENTS ET EFFORTS TRANCHANTS (PAILLASSE 2,3)57

TABLEAU 3-11 :CALCUL DES MOMENTS (PAILLASSE 2 ET 3)58
TABLEAU 3-12 :RESULTATS DE CONTRAINTE DE COMPRESSION DANS LE BETON
(PAILLASSE 2 ET3)60
TABLEAU 3-13 :MOMENTS ET EFFORTS TRANCHANTS (PAILLASSE1)61
TABLEAU 3-14 :CALCUL DES MOMENTS (PAILLASSE 1)62
TABLEAU 3-15 :RESULTATS DE CONTRAINTE DANS LE BETON (PAILLASSE1)64
TABLEAU 3-16 :PRE DIMENSIONNEMENT DE LA POUTRE PALIERE65
TABLEAU 3-17 :CALCUL DES CHARGES SUPPORTEES PAR LA POUTRE PALIERE
66
CHAPITRE 4 : ETUDE DYNAMIQUE ET SISMIQUE.
TABLEAU 4-1 :MASSE ,CENTRE DE MASSE ET CENTRE DE RIGIDITE DE CHAQUE
ETAGE75
TABLEAU 4-2 : FACTEUR DE QUALITE
TABLEAU 4-3: POURCENTAGE DE LA SOLLICITATION DUE AUX CHARGES
HORIZONTALES
TABLEAU 4-4 : POURCENTAGE DE LA SOLLICITATION DUE AUX CHARGES
VERTICALES78
TABLEAU 4-5 :PERIODE , MODE ET FACTEURS DE PARTICIPATION MASSIQUE .80
TABLEAU 4-6: VERIFICATION DE L'EFFORT NORMAL84
TABLEAU 4-7: VERIFICATION DE L'EFFORT NORMAL84
TABLEAU 4-8: L'EFFORT TRANCHANT MODAL A LA BASE VX,VY85
TABLEAU 4-9: VERIFICATION DES DEPLACEMENTS INTER ETAGES SENS X-X.86
TABLEAU 4-10: VERIFICATION DES DEPLACEMENTS INTER ETAGES SENS Y-Y.87
TABLEAU 4-11 : VERIFICATION DE L EFFET P-Δ SENS X-X88
TABLEAU 4-12 : VERIFICATION DE L'EFFET P-Δ SENS Y-Y88
CHAPITRE 5: ETUDE DES ELEMENTS STRUCTURAUX.
TABLEAU 5-1 :COEFFICIENT DE SECURITE ET CARACTERISTIQUES MECANIQUES.91
TABLEAU 5-2 : FERRAILLAGE DES VOILES SENS X-X98
TABLEAU 5-3 :FERRAILLAGE DES VOILE SENS Y-Y
TABLEAU 5-4 : FERRAILLAGE DE VOILE D ASCENSEUR99
TABLEAU 5-5 : FERRAILLAGE DES TRUMEAUX VL1/2/3/4/5/6100
TABLEAU 5-6 :FERRAILLAGE DES TRUMEAUXVT1.P1/P2-VT2/3/4/5101
TABLEAU 5-7 : FERRAILLAGE VOILE ASCENSEUR
TABLEAU 5-8 :CARACTERISTIQUE GEOMETRIQUE DU LINTEAU
TABLEAU 5-9 :SOLLICITATION DANS LE LINTEAU
TABLEAU 5-10 :FERRAILLAGE DU LINTEAU
TABLEAU 5-11 :CARACTERISTIQUE GEOMETRIQUE DU LINTEAU 104
TABLEAU 5-12 :SOLLICITATION DANS LES LINTEAUX
TABLEAU 5-13 :FERRAILLAGE DES LINTEAUX
TABLEAU 5-14 :FERRAILLAGE MAXIMAL ET MINIMALE DES POTEAUX 107
TABLEAU 5-15 :FERRAILLAGE LONGITUDINAL DES POTEAUX

TABLEAU 5-16 :CHOIX DES ARMATURES LONGITUDINAL DES POTEAUX 108
TABLEAU 5-17 :COEFFICIENT CORRECTEUR109
TABLEAU 5-18 :LES RESULTATS DU FERRAILLAGE TRANSVERSAL110
TABLEAU 5-19 :SOLLICITATION TANGENTES DANS LES POTEAUX110
TABLEAU 5-20 :CARACTERISTIQUE DES POUTRES
TABLEAU 5-21 :CHOIX DES ARMATURES LONGITUDINALES DES POUTRES112
TABLEAU 5-22 :ARMATURES TRANSVERSALES DES POUTRES114
TABLEAU 5-23 :LONGEUR MINIMAL DE RECOUVREMENT
TABLEAU 5-24 :RECAPITUL DES RESULTATS DE CONTRAINTES DE COMPRESSION
DANS LE BETON116
CHAPITRE6 6: ETUDE DE L INFRASTRUCTURE
CHAPITRE6 6: ETUDE DE L INFRASTRUCTURE TABLEAU 6-1 :VERIFICATION DES CONTRAINTES ELU,ELS
TABLEAU 6-1 :VERIFICATION DES CONTRAINTES ELU,ELS
TABLEAU 6-1 :VERIFICATION DES CONTRAINTES ELU, ELS
TABLEAU 6-1 :VERIFICATION DES CONTRAINTES ELU, ELS
TABLEAU 6-1 :VERIFICATION DES CONTRAINTES ELU,ELS

Introduction générale

Le génie civil est l'une des branches de l'ingénierie les plus importantes et les plus anciennes. Son histoire remonte à des milliers d'années et il a contribué à la préservation des civilisations anciennes, par exemple avec les pyramides et la Grande Muraille de Chine. Au fil du temps, ce domaine s'est lié aux développements industriels afin d'améliorer la qualité et la résistance des structures pour éviter les phénomènes naturels et géotechniques, comme les séismes.

La structure sismique est actuellement considérée comme relativement complexe et comprend plusieurs études et étapes à réaliser, tout en garantissant la résistance et la stabilité de la structure, assurées par son système de contreventement. Pour les structures en béton armé, ce système de contreventement est constitué de voiles et de portiques, ou de l'un des deux, tout en prenant en compte le coût économique.

Les séismes dévastateurs qui ont frappé Boumerdès en 2003 ont contraint les spécialistes du génie parasismique à revoir et modifier les règles sismiques algériennes, en renouvelant les règles de construction (RPA99/2003).

Dans le cadre de ce projet, nous avons procédé au calcul d'un bâtiment en béton armé à usage d'habitation et commercial, contreventé par des voiles porteurs, implanté à Thnia dans une zone sismique (III), comprenant un entre-sol, un rez-de-chaussée et 9 étages.

Le présent travail est organisé par 6 chapitres présentés comme suit :

Le premier chapitre est une présentation de l'ouvrage, qui définit les différents éléments et choisit les matériaux à utiliser.

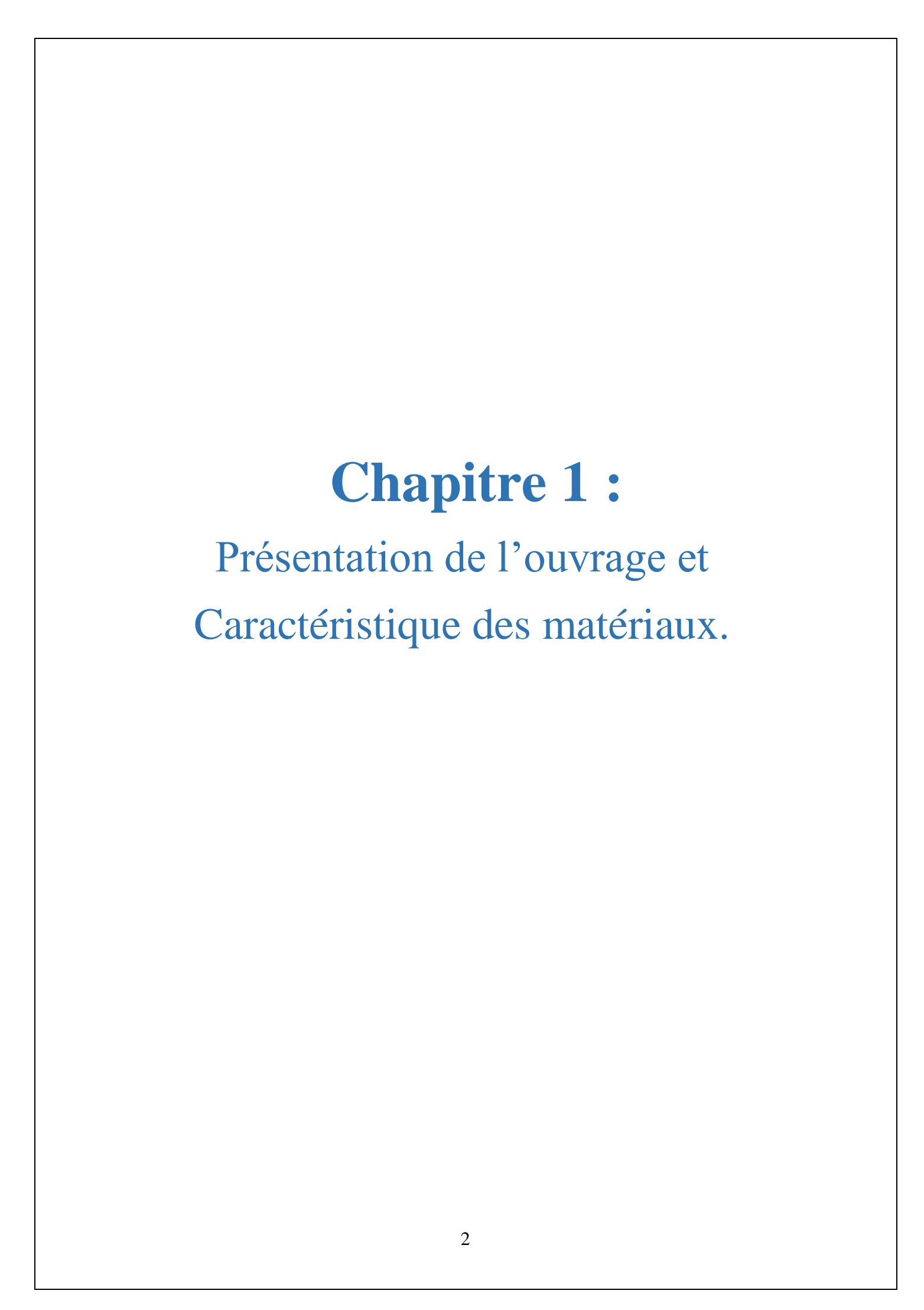
Le deuxième chapitre présente le prédimensionnement des éléments structuraux.

Le troisième chapitre présente le calcul des éléments non structuraux.

Le quatrième chapitre porte sur l'étude dynamique du bâtiment, la détermination de l'action sismique et les caractéristiques dynamiques propres de la structure lors de ses vibrations. L'étude du bâtiment sera réalisée avec le logiciel ETABS.

Le calcul des ferraillages des éléments structuraux est présenté dans le cinquième chapitre.

Le sixième chapitre présente l'étude des fondations.



1 Introduction:

Le choix des matériaux est une étape importante dans la planification et la construction d'un bâtiment.

Les matériaux utilisés déterminent non seulement la résistance et la durabilité de la structure, mais également ses performances en termes d'isolation, d'étanchéité et d'esthétique.

Les études de construction tiennent compte des propriétés des matériaux pour garantir que le bâtiment répond aux exigences du projet et aux besoins des occupants.

Cela implique de sélectionner les matériaux les plus adaptés aux pressions et contraintes de l'environnement. Le succès d'un projet de construction dépend de la sélection et de l'utilisation optimale des meilleurs matériaux.

L'étude de construction joue un rôle important dans ce processus, car elle nous permet d'évaluer différentes options et de prendre la meilleure décision.

1.1 Présentation de l'ouvrage :

Notre projet de fin d'études, consiste à étudier et calculer les différents éléments résistants d'un bâtiment (R+9+entre-sol) à usage d'habitation et commercial en ossature mixte (poteaux, poutres et voiles) avec une terrasse inaccessible. Il est implanté à « Thenia », wilaya de Boumerdes classée selon le (R.P.A.2003) comme étant une zone de sismicité élevée (zone III), ce projet est constitué :

- D'un entre sol : à usage commercial.
- D'un RDC à usage d'habitation.
- 09 étages courants sont à usage d'habitation.
- 01 cage d'escalier.
- 01 cage d'ascenseur.

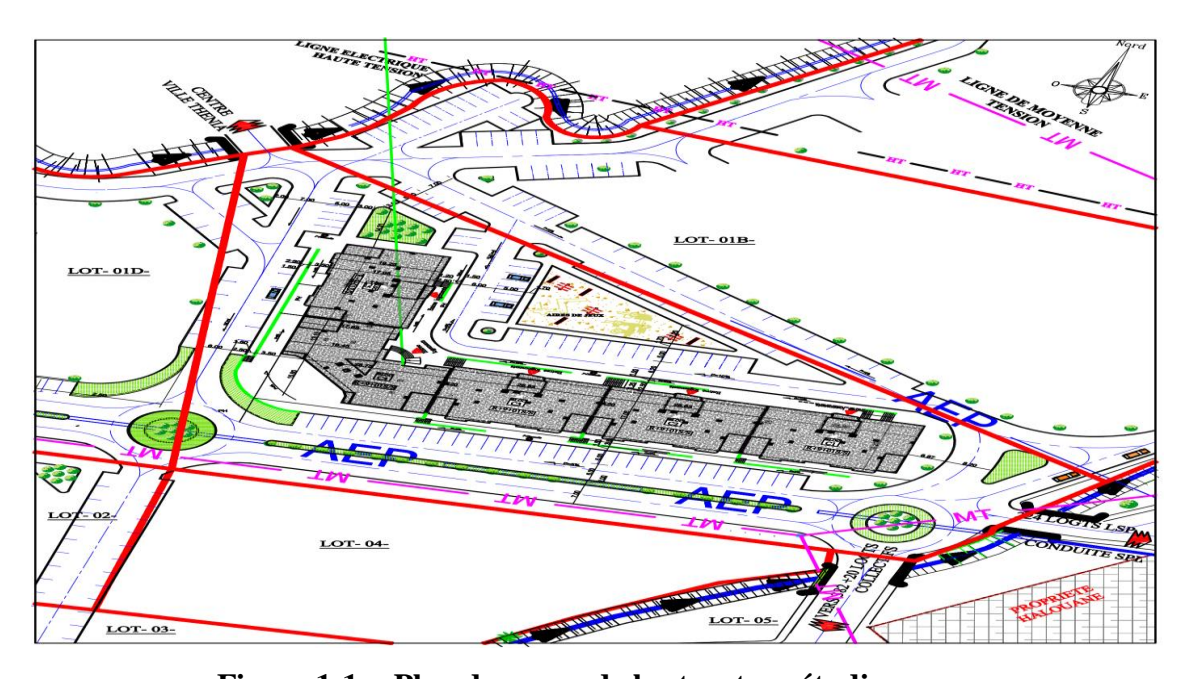


Figure 1-1 : Plan de masse de la structure étudier.

1.2 Caractéristiques géométriques de l'ouvrage :

Les dimensions de cet ouvrage sont : le bâtiment est de dimensions suivantes :

- La longueur totale du bâtiment est.....Lt = 26,40 m.
- La largeur totale du bâtiment estLt = 16,60 m,
- La hauteur totale de bâtiment estH = 34,88 m
- La hauteur d'un étage est.....He =3,06 m
- La hauteur de RDC estH RDC =3,06 m
- La hauteur d'un étage de S-Sol...... H entre-SOL=3,68m
- La largeur des balcons est...... Lb =1 m
- La largeur de loggia est.....Lg =1,20 m

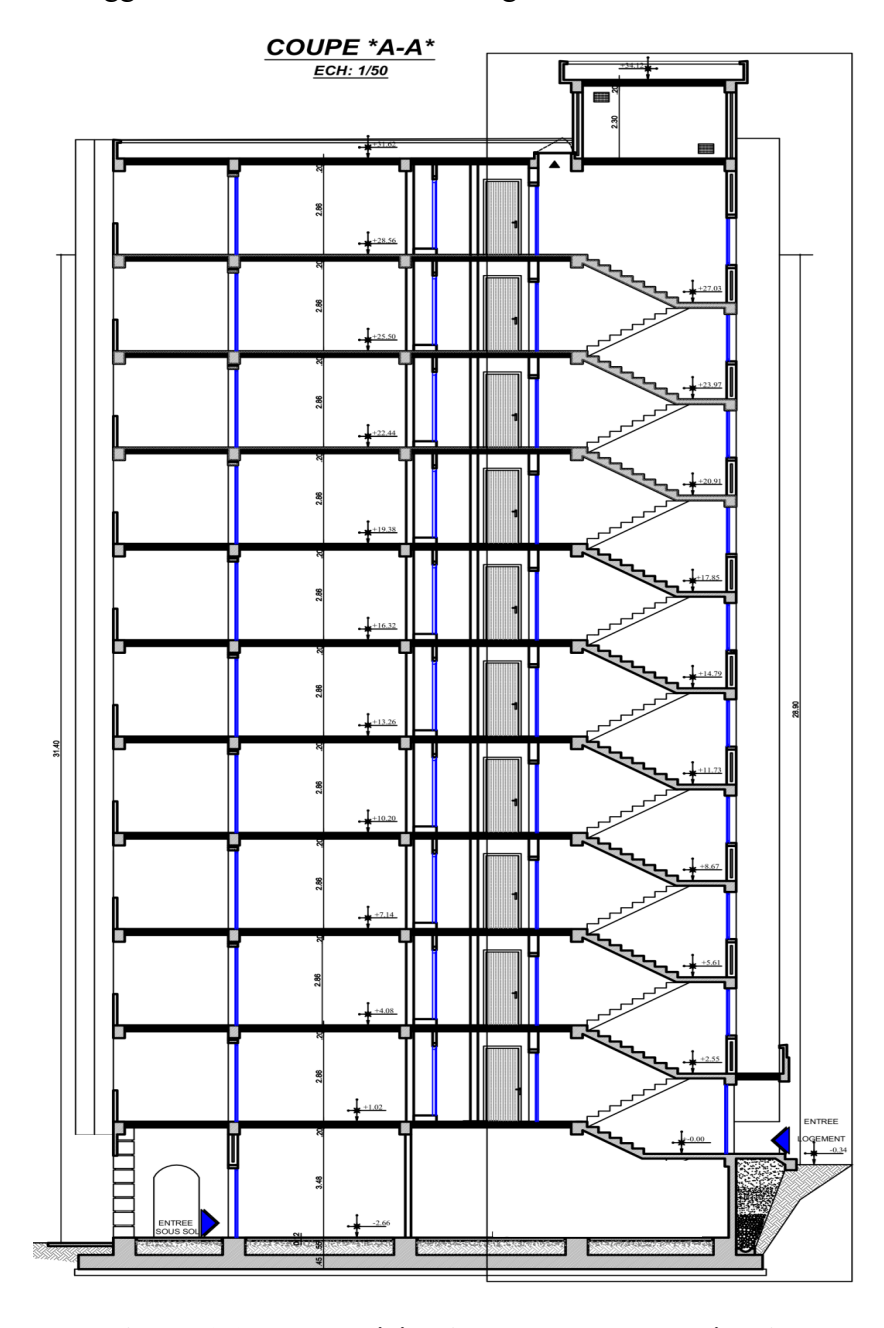


Figure 1-2 : vue en élévation de la structure étudier.

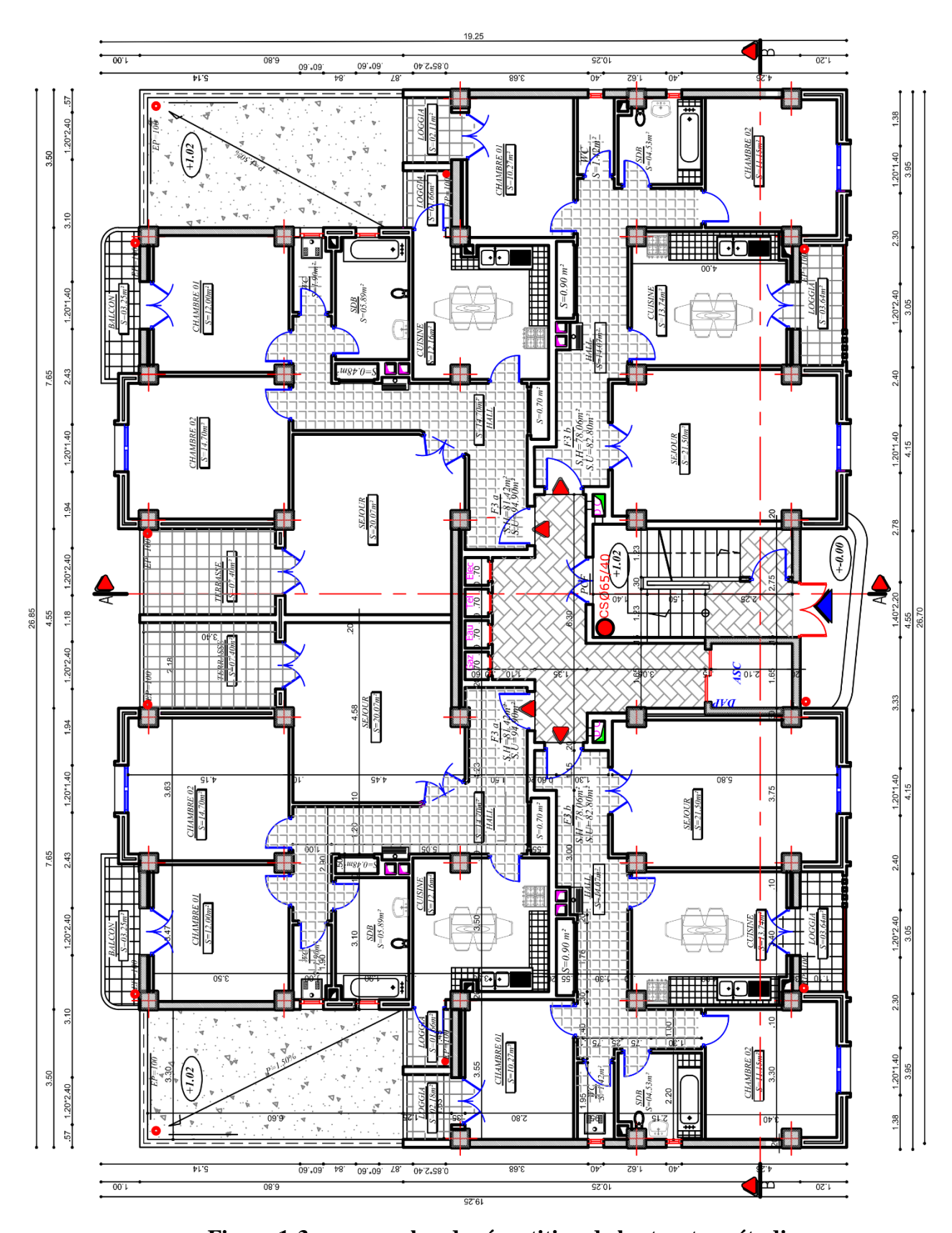


Figure 1-3 : vue en plan de répartition de la structure étudier .

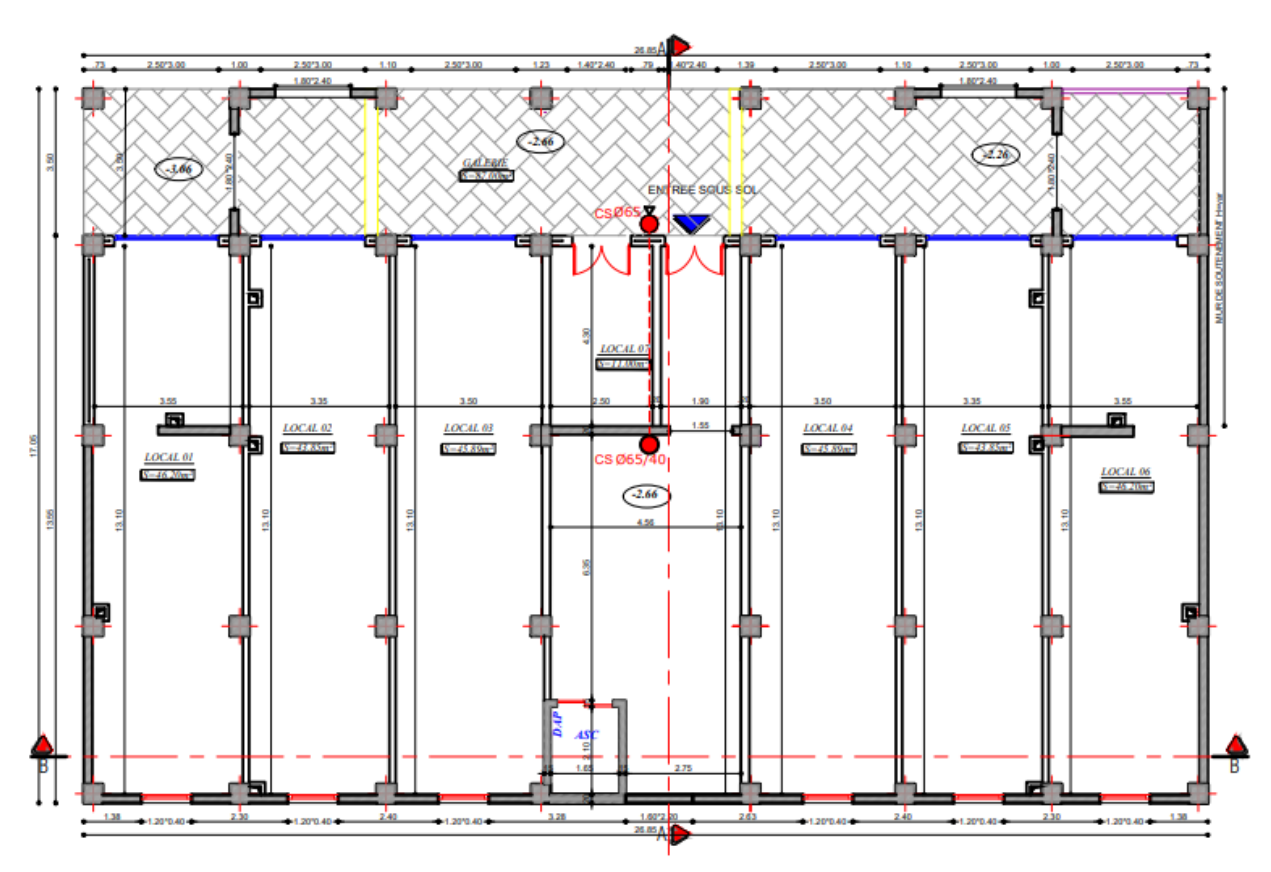


Figure 1-4 : plan d'entre-sol de la structure étudier.

1.3 Données géotechniques du site :

Les travaux géotechniques entrepris au niveau du site des 750 logements promotionnels de la cité nouvelle de Thénia ont montré que :

Sur le plan morphologique, les logements promotionnels de Thénia sont projetés sur un terrain en versant à morphologie irrégulière, incliné principalement du sud-ouest vers le nord-est.

Sur le plan géologique, le terrain d'assise des logements promotionnels projetés est représenté par une formation marneuse de couleur verdâtre, associée à une formation d'éboulis de pente. Ces marnes, où ont été réalisés les sondages carottés SC01 et SC03, ont traversé une formation d'éboulis de nature gréseuse dès les premiers mètres de profondeur. Cette formation d'éboulis gréseux présente un état oxydé, tendre et friable, marqué par des niveaux argileux et argilo-sableux moyennement compacts, d'ordre centimétrique à décimétrique.

À l'échelle du site, la partie centrale et sud-est est masquée par des couches de remblais d'épaisseur variable.

Sur le plan hydrogéologique, il convient de noter que la situation du site (au contrebas d'une zone en relief), l'aspect finement sableux et la présence de niveaux gréseux au sein de la formation d'argile marneuse en subsurface, ainsi qu'un substratum marneux étanche en profondeur, favorisent l'infiltration d'eau souterraine au niveau du site étudié.

L'état de compacité présenté sur ce plan, ainsi que les résultats des essais in situ de type SPT, ont révélé :

- Le caractère meuble et peu consistant de la couverture argilo-limoneuse et de la formation des argiles marneuses altérée.
- Le caractère ferme et consistant de la formation des argiles marneuses saine à intercalation des niveaux sablo-gréseux.

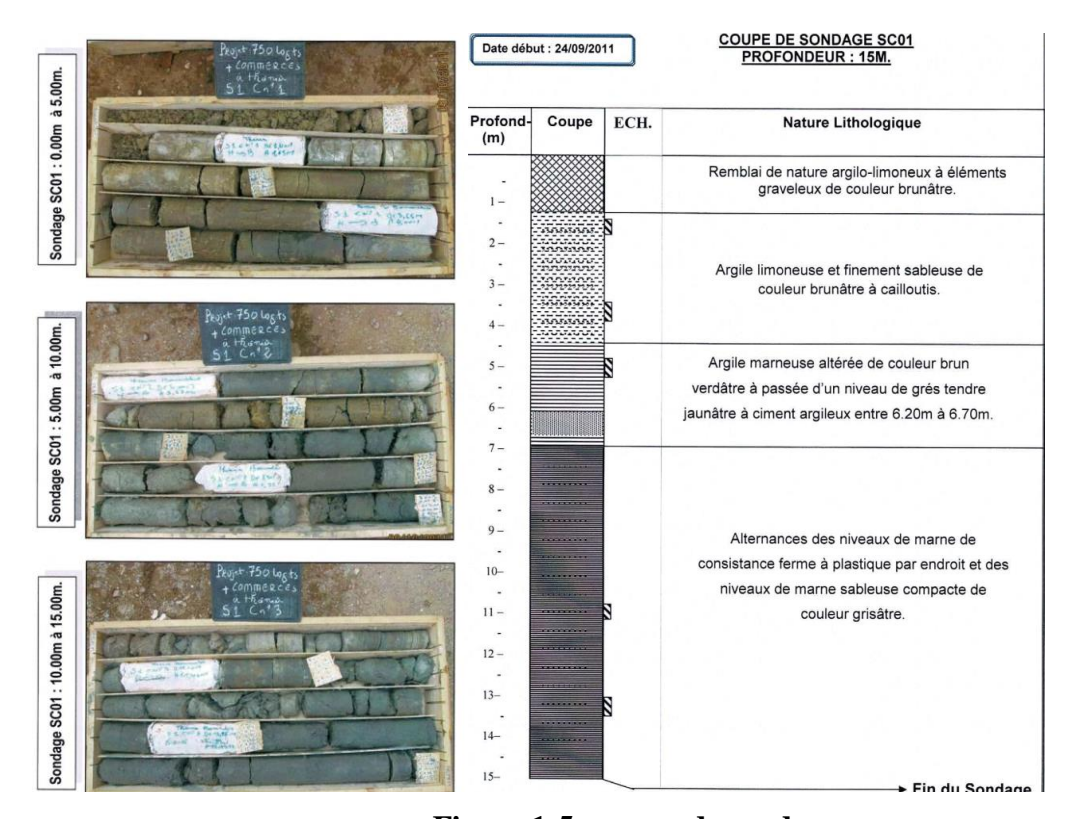


Figure 1-5 : coupe de sondage.

1.4 Données sismiques de la structure :

Le sol d'assise de cette construction est un sol **meuble** (S3) d'après le rapport du laboratoire de la mécanique des sols :

- Le bâtiment est implanté dans une zone (III).
- L'ouvrage appartient au groupe d'usage : 2 (RPA99 version 2003).
- La contrainte admissible du sol $\sigma = 1.6$ bars.

Tableau 1-1: propriétés des matériaux, sol et sismique

Fc28(MPa)	Fe (MPa)	Qadm du sol (bar)	Ancrage de fondation (m)	Catégorie de site.	Zone sismique	Hauteur de l'acrotère	Largeur De l'acrotère
25	400	1,6	4 m	S 3	III	60 cm	20 cm

1.5 Les éléments de l'ouvrage :

- Les planchers : Ce sont des surfaces horizontales à l'intérieur de bâtiment qui séparent différents niveaux ou étages. Ils fournissent une plateforme pour supporter les charges.
- Les Balcons : un balcon est une plateforme horizontale située à l'extérieur d'un bâtiment, généralement au-dessus du niveau du sol et soutenue par des arcs, des colonnes ou d'autres éléments structurels.
- L'ascenseur: nous avons un ascenseur dans ce bâtiment en raison des nombreux étages.
- Les escaliers : Ils sont constitués de paliers et paillasse en béton arme.
- Les murs : Ils peuvent être constitues de différents matériaux tels que le béton, la brique, la pierre, le bois, le métal et il a différentes fonctions tels que la séparation, l'endurance, l'isolation thermique ou acoustique et l'esthétique.
- Les voiles : Il est utilisé pour supporter des charges verticales et résister aux forces horizontales telles que le vent ou les tremblements de terre.
- Les revêtements: Ce sont des matériaux appliqués sur les surfaces intérieures ou extérieures d'un bâtiment. Ils sont fabriqués à partir de différents matériaux tels que la peinture, le papier peint, le carrelage, le bois, le plastique, le métal, le béton et la pierre naturelle. Ils peuvent également être utilisés pour améliorer l'isolation thermique, l'isolation phonique ou la résistance aux intempéries d'une structure.

1.6 Règlements et normes utilisés :

- RPA99/version2003. (Règlements parasismiques algérienne).
- CBA93(code béton armé).
- DTR B.C.2.2(document technique réglementaire charges et surcharges).
- BAEL91/version99(béton armé aux états limites).
- DTR BC2.33.2(règles de calculs des fondations superficielles).

1.7 Caractéristiques mécaniques :

Les matériaux de construction sont des substances utilisées pour construire des structures telles que des bâtiments, des routes et des aménagements urbains..., il s'agit notamment de matériaux naturels comme le bois et le sable, ainsi que des matériaux manufacturés comme le béton, l'acier et les matériaux composites. (1)

Le choix des matériaux dépend souvent des exigences structurelles, thermique, acoustiques du projet de construction.

1.7.1 Le Béton :

Le béton est un matériau de construction composé de ciment, d'agrégats (comme du sable ou du gravier), d'eau et éventuellement d'adjuvants. Il est utilisé dans de nombreux projet de construction pour sa solidité, sa durabilité et sa polyvalence.

- Des granulats (sable, graviers, cailloux ou pierres concassées)
- Un liant hydraulique (généralement du ciment).
- De l'eau (eau de mouillage des granulats et d'hydratation du ciment).

> Les constituants du béton :

• Ciment:

Le ciment est un matériau de construction hydraulique utilise pour lier d'autres matériaux de construction, tels que des agrégats sable gravier et des adjuvants, pour former du béton ou du mortier .il est composé principalement de clinker, un matériau obtenu par la cuisson à haute température d'un mélange de calcaire et d'argile.

• Les granulats :

Les granulats sont des matériaux solides et inertes utilisés dans la construction et l'industrie. Ils sont généralement composés de particules de roche naturelle, telles que le sable, le gravier, les cailloux, le calcaire concasse, le granit concasse, etc.

Les granulats sont utilisés dans divers domaines de la construction, tels que la fabrication de béton la construction de routes, la préparation des fondations, la réalisation d'enduits de surface. Ils fournissent la résistance mécanique nécessaire aux structures et contribuent à la durabilité des ouvrages.

APPELLATION		Dimension de la maille des tamis en (mm)	
Pierres cassées et	Gros	50 à 80	
cailloux	Moyens	31.5 à 50	
	Petits	20 à 31.5	
Gravillons	Gros	12.5 à 20	
	Moyens	8 à 12.5	
	Petits	5 à 8	
Sable	Gros	1.25 à 5	
	Moyens	0.31 à 1.25	
	Petits	0.08 à 0.31	
Fines, farines et fillers		Inférieur à 0.08	

Tableau 1-2 : les classes des granulats

• L'eau de gâchage :

Élément essentiel du béton, l'eau de gâchage :

- Déclenche l'hydratation du ciment et le durcissement du béton.
- Facilite la mise en œuvre et la maniabilité du mélange.
- Influence la porosité et la durabilité du béton.
- Doit être dosée avec précision pour garantir la qualité du béton.

Les adjuvants :

Les adjuvantes sont des produits chimiques incorpores en faibles quantités au béton frais afin d'en améliorer certaines propriétés. Ils représentent entre 1 et 3% du poids du ciment. Leur rôle et leur efficacité dépendent de la nature du produit chimique et de l'homogénéité de leur répartition dans la masse du béton frais.

Les principaux adjuvants sont :

- Les plastifiants et fluidifiants réducteurs d'eau
- Les super plastifiants

> Les dosages du béton :

■ Granulats:

✓ Sable (0/5) : 800 L ✓ Graviers (5/25) : 400 L

■ Ciment:

✓ CPA (32,5) : 350 Kg/m3. ✓ Eau de gâchage : 175 L

> Les caractéristiques du béton :

- La résistance à la compression fcj :

Le béton est soumis à une compression simple si toutes les forces externes sont réduites par une force axiale régulière qui provoque sa contraction, le béton sera alors défini par sa valeur de résistance à la compression à l'âge de 28 jours exprimé en **MPa** et notée **fc28**.

Cette résistance et évaluée sur des éprouvettes cylindriques (16cm,32cm) écrasées en compression centrée. (2)

Alors que l'agitation affecte le béton en un temps inférieur à 28 jours, on revient à la résistance **fcj**, où **j** est le nombre de jours. Suivants les formules exigées par le **(CBA93Art A-2-1-1)**:

$$f_{cj} = \frac{j \cdot f_{c28}}{4,76 + 0.83j}$$
 avec $f_{c28} \le 40MPa$ si : $j \le 28j$

$$f_{cj} = \frac{j \cdot f_{c28}}{1.4 + 0.95j}$$
 avec $f_{c28} > 40MPa$ si : $j > 28j$

- la résistance à la traction ftj : (BAEL91 Art 2-3-3-1) :

Le béton a généralement une résistance à la traction beaucoup plus faible que sa résistance à la compression, la résistance à la traction du béton notée ft28, Des armatures d'acier sont souvent incorporées dans le béton pour renforcer sa résistance à la traction, nous calculons ft28 selon les règles suivantes : (2)

$$f_{tj} = 0.6 + (0.06 \cdot f_{cj})$$
 Si : $f_{c28} < 60 MPa$.
 $f_{tj} = 0.275 f_{cj}$ Si : $f_{c28} > 60 MPa$.
Pour j= 28 jours et $f_{c28} = 25 MPa$. $f_{t28} = 2.1 MPa$.

- Contrainte ultime de cisaillement (de béton) :(BAEL91 Art 7-4-3-1) : lorsqu'une contrainte est appliquée à la tige, avec une force croissante, elle est soumise à un glissement qui traverse la phase élastique, puis la phase plastique, puis le cisaillement total. On calcule cette contrainte comme suit : (2)

$$\boldsymbol{\tau_{adm}} = \begin{cases} \operatorname{Min}\left(\frac{0.2 \ f_{cj}}{\gamma_b}, 5 \ \operatorname{MPa}\right) \text{pour la fissuration peu prejudiciable.} \\ \operatorname{Min}\left(0.15 \frac{f_{cj}}{\gamma_b}, 4 \ \operatorname{MPa}\right) \text{pour la fissuration prejudiciable .} \end{cases}$$

- Module déformation longitudinale instantanée du béton :

Également appelé module d'élasticité ou module de Young, varie en fonction de la résistance de compression du béton, noté comme suit : (1)

$$E_{ij} = 11000 \sqrt[3]{f_{cj}}$$

fcj : c'est la résistance à la compression à j jours exprimé en MPa.

Pour fc28=25MPa : E_{ij} = 32164.2MPa

- Module de déformation longitudinale différée E_{vi} :

Le module de déformation longitudinale différée E_{vj} également connu sous le nom de module de fluage, mesure la capacité du matériau à se déformer progressivement sous une contrainte constante au fil du temps, il est égal à : (1)

$$E_{vj}=3700\sqrt[3]{f_{cj}}.$$

Pour $f_{c28} = 25MPa$: $E_{vi} = 10818.87MPa$

Module d'élasticité transversale :

$$G = \frac{E}{2(1+v)}$$
 MPa

V : coefficient de poisson.

Coefficient de poisson :
$$v = \frac{d\acute{e}formation\ transversale}{d\acute{e}formation\ longitudinale}$$

BAEL91Art A2_1_3 $\begin{cases} v = 0 \text{ si le beton suppose fissure a ELU.} \\ v = 0.2 \text{ si le beton non fissure a ELS.} \end{cases}$

Diagramme contrainte-déformation du béton :

Un diagramme contrainte-déformation pour le béton représente la relation entre la contrainte appliquée au matériau et la déformation résultante, généralement, le béton présente une phase élastique suivie d'une phase plastique. Si La phase élastique est réversible, tandis que la phase plastique est généralement irréversible et peut conduire à la rupture du matériau. (2)

à l'ELU: le diagramme contrainte-déformation atteint son point limite maximale, c'est le point auquel le matériau ne plus capable de résister à des contraintes supplémentaires sans provoquer de déformation ou de rupture excessive. (3)

$$f_{bu} = \frac{0.85.f_{c28}}{\theta \gamma_b}$$
 (BAEL91 art2.3.3.3).

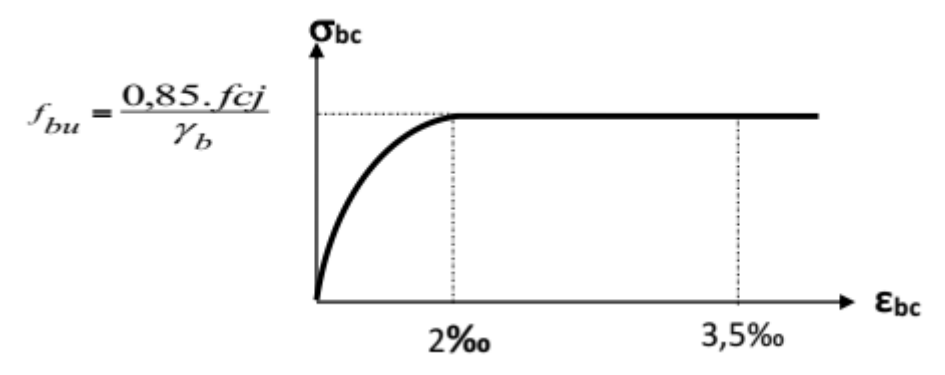


Figure 1-6 : Diagramme contrainte déformation du béton à l'ELU.

fbu: contrainte ultime du béton en compression. γb: coefficient de sécurité.

à l'ELS: le diagramme contrainte-déformation du béton se voie attribuer des niveaux de contrainte et de déformation qui correspondent aux conditions normales de fonctionnement de la structure, le matériau subit une déformation élastiques réversibles sans atteindre le point de rupture. (3)

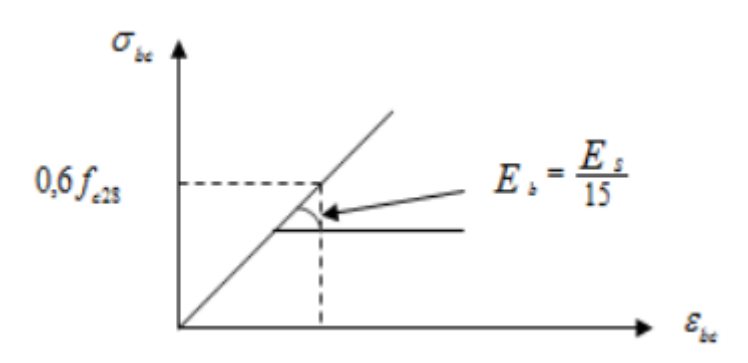


Figure 1-7: Diagramme contrainte déformation du béton à l'ELS.

Caractéristiques du béton utilisé :

On a:

 γ_b : coefficient de securite. $\begin{cases} \gamma_b = 1,5(situation\ durables.) \\ \gamma_b = 1,15(situation\ accidentelles.) \end{cases}$

 θ : coefficient relatif à la durée d'application de la charge :

 $\theta = 1$ si la durée d'application > à 24h.

 $\theta = 0.9$ si la durée d'application entre 1h et 24 h. $\theta = 0.85$ si la durée d'application < à 1h.

Les différentes caractéristiques utilisées dans le dimensionnement de la structure représentées dans le tableau suivant :

Tableau 1-3 : caractéristiques de béton utilisés

Paramètre	Formule	Résultat (MPa)
Résistance à la compression	f_{c28}	25
Résistance à la traction	$f_{t28} = 0.6 + 0.06 f_{c28}$	2.1
Contrainte à l'état limite ultime	$f_{bu} = \frac{0.85 f_{c28}}{\theta \gamma_b}$	14.17
Contrainte à l'état accidentelle	$f_{bu} = \frac{0.85 f_{c28}}{\theta \gamma_b}$	18.48 (θ=1)
Contrainte à l'état de service	$G_{bc} = 0.6 f_{c28}$	15
Contrainte de cisaillement(FPP)	$\tau_u = min(\frac{0.2f_{c28}}{\gamma_b}; 4MPa)$	3.33
Contrainte de cisaillement(FTP)	$\tau_u = \min(\frac{0.15 f_{c28}}{\gamma_b}; 4MPa)$	2.5
Module de déformation longitudinale instantané	$E_{ij} = 11000\sqrt[3]{f_{c28}}$	32164.20
Module de déformation longitudinale différé	$E_{ij} = 3700 \sqrt[3]{f_{c28}}$	10818.86

1.7.2 L'acier

> Définition de l'acier :

L'acier défini comme un alliage métallique principalement composée de fer, de carbone et d'autre éléments, tel que le manganèse, le nickel, le chrome, entre autres. Il est utilisé dans la construction pour sa résistance élevée, sa ductilité, sa facilite de fabrication et sa capacité à être forme en différentes formes et tailles selon les besoins de conception.

> Propriétés de l'acier :

- **Résistance mécanique :** l'acier présente une grande résistance à la traction, à la compression et au cisaillement.
- **Dureté** : la dureté de l'acier dépend de sa composition chimique et de son traitement thermique.
- **Ténacité**: l'acier est un matériau tenace capable d'absorber de l'énergie avant de se rompre.
- **Résistance à la corrosion :** la résistance à la corrosion de l'acier dépend de sa composition chimique et de son traitement de surface.
- **Recyclable**: l'acier est un matériau recyclable a 100%.

> Types d'acier :

Tableau 1-4: les types d'aciers.

Famille d'acier	Composition	Propriétés	Applications
Aciers non allies	Fer et carbone.	Ductilité, malléabilité, résistance à la traction.	Construction, machines, outils.
Aciers allies	Fer, carbone, et d'autres éléments (chrome, nickel, molybdène)	Propriétés spécifiques selon l'alliage (résistance à la corrosion, à l'usure, aux températures élevées)	Outils, machines, construction navale, aéronautique.
Aciers inoxydables	Fer, carbone, chrome et nickel.	Résistance à la corrosion.	Automobile, chimie, agroalimentaire ,construction .
Fontes	Fer et carbone	Fragilité résistance à la compression	Moteurs ,machines ,tuyaux.

- Module d'élasticité longitudinal de l'acier
- ✓ Etat limite ultime (ELU) :

Pour le calcul, on utilise le diagramme contrainte déformation expérimentale, ce diagramme se compose de deux parties (BAEL 99, art A.2.2,2).

• Droite de Hook : $Es = \frac{\sigma s}{Es}$ de pente E = 2×10⁵ MPa

■ Droite horizontale : limitée à 10‰

$$\begin{cases} \sigma_{s} = \frac{f_{e}}{\gamma_{s}} & pour \, \varepsilon_{se} \leq \varepsilon_{s} \leq 10\%0 \\ \sigma_{s} = E_{s} \cdot \varepsilon_{s} & pour \, \varepsilon_{s} \leq \varepsilon_{s} \end{cases}$$

Fe: Contrainte limite de l'acier

 γ_s : Coefficient de sécurité de l'acier $\begin{cases} \gamma_s = 1,15 \ pour \ une \ situations \ durables \ . \\ \gamma_s = 1 \ pour \ une \ situations \ accidentelle . \end{cases}$

$$\varepsilon_{s} = \frac{F_{s}}{\gamma_{s} \times E_{s}}$$

 ε_s : allongement relatif.

 $E_{\rm \textit{s}}$: module d'élasticité longitudinal de l'acier $E_{\rm \textit{s}}=200000$ MPa.

Diagramme contraintes déformation d'acier expérimental :

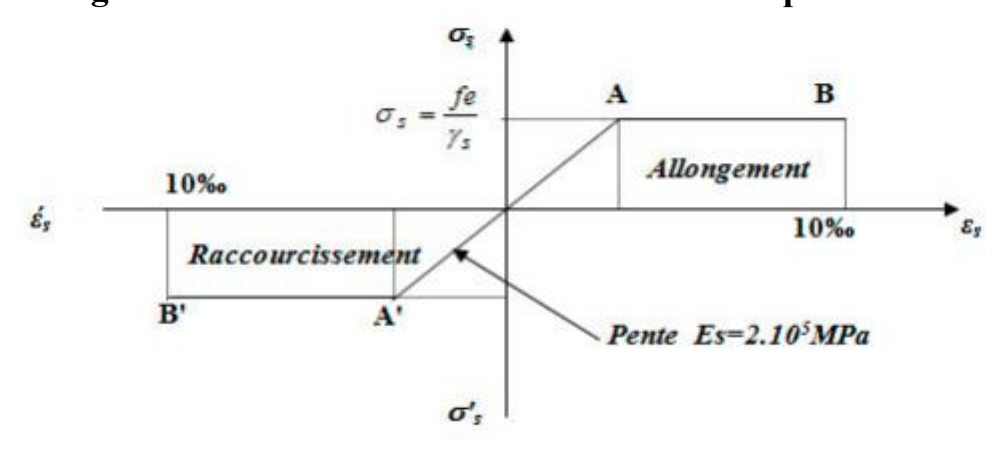


Figure 1-8 : diagramme contrainte déformation d'acier expérimental.

Diagramme contrainte déformation réel :

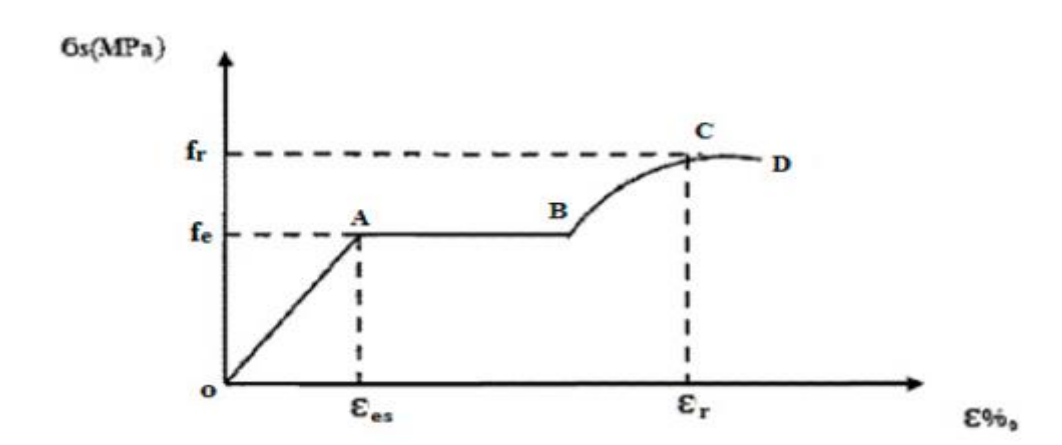


Figure 1-9 : diagramme contrainte déformation réel.

On a:

fr : Résistance à la rupture.

 ε_{es} : Allongement relatif correspondant à la limite élastique de l'acier.

 ε_r : Allongement à la rupture.

On distingue du diagramme précédent 04 parties :

- Zone OA : Domaine élastique linéaire.
- Zone AB : Domaine plastique.
- Zone BC : Domaine de raffermissement.
- Zone CD : Domaine de striction.

État limite service (ELS)

État limite service est un élément important de la conception et de la construction des structures. Il permet de garantir que les structures seront sures et fiables pendant toute leur durée de vie.

- Fissuration peu préjudiciable :

Aucune preuve n'est requise et la contrainte sur l'acier n'est situé dans un espace couvert et clos où la condensation ne se produit pas, il est peu probable qu'il soit endommagé par des fissures.

$$\sigma$$
s = Fe/ γ s

- Fissuration préjudiciable :

Les fissures sont considérées comme nocives lorsqu'elles sont exposées à des conditions météorologiques défavorables (pluie, neige, vent, etc) ou au contact de l'eau. La contrainte de traction dans les armatures de traction est limitée à :

$$\sigma_s = \min (2/3 \text{ Fe}; 110\sqrt{nf_{ti}}) \text{ MPa.}$$

- Fissuration très préjudiciable :

Les fissures sont considérées comme très nocives si les éléments sont exposés à un environnement agressif.

La contrainte de traction des armatures tendues sera limitée par la valeur suivante :

$$\sigma_s = \min(1/2 \text{ Fe}; 90\sqrt{\eta f_{tj}}) \text{ MPa}.$$

η: Coefficient de fissuration:

 $\begin{cases} \eta = 1,6 \ pour \ les \ aciers \ à \ haut \ adhérences (HA) de \ diametre \geq 6mm. \\ \eta = 1,3 \ pour \ les \ aciers \ à \ haut \ adhérences (HA) de \ diametre \leq 6 mm. \\ \eta = 1 \ pour \ les \ aciers \ ronds \ lisses. \end{cases}$

Tableau 1-5 : caractéristiques de l'acier utilisés.

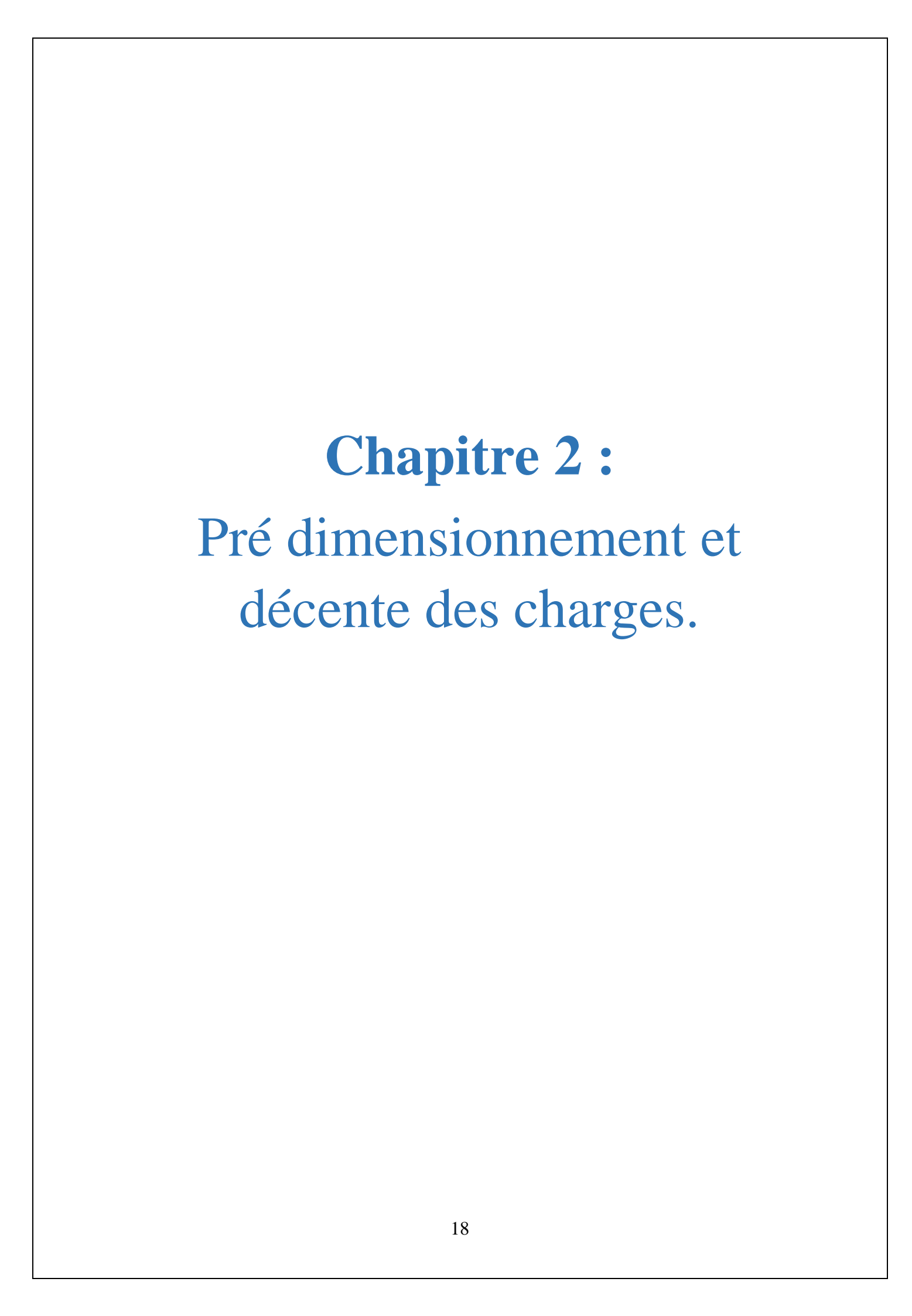
Paramètres		Formule	Résultats (MPa)
Limite d'élasticité garantie.		Fe	400
Module d'élasticité longitudinale.		Es	200 000
Contrainte limite ultime à l'ELU.	SD	$\sigma s = \frac{fe}{\gamma s}$	347,83
	SA	$\sigma s = \frac{fe}{\gamma s}$	400

Contrainte limite service a l'ELS.	FPP	$\sigma s = \frac{fe}{\gamma s}$	347,83
	FP	$\sigma s = \min \left\{ \frac{2}{3} fe, 110 \sqrt{\eta f t j} \right\}$	201,63
	FTP	$\sigma s = \min \left\{ \frac{1}{2} fe, 90 \sqrt{\eta Ftj} \right\}$	164,97

1.8 Conclusion:

Nous avons vu dans ce chapitre la présentation de l'ouvrage avec les plans et les informations cartographiques qu'elle a élaboré.

Ensuite, nous avons étudié le béton et l'acier et ses propriétés importantes pour la résistance du bâtiment selon les règlements parasismiques algérienne (RPA99/V2003).



2 Introduction:

Le pré- dimensionnement des éléments (les planchers, les poutres, les poteaux, les voiles...) et la descente de charges sont des étapes cruciales dans la conception d'une structure, cette étape implique de choisir initialement les dimensions des éléments structuraux tels que les poutres, les poteaux et les dalles en fonction des charges attendues. Une fois les éléments pré- dimensionnés, la descente des charges consiste à répartir les charges appliquées sur la structure de manière appropriée. Après l'analyse, les dimensions des éléments peuvent être ajustées pour optimiser la performance structurale tout en respectant les contraintes de conception et les exigences de sécurité.

Et pour cela nous avons été baptisés sur les règlements CBA93, BAEL91 version 99 et le RPA99 version 2003 afin de mener à bien ce projet.

2.1 Les planchers :

Les planchers se sont des éléments porteurs horizontaux et fondamentaux dans l'équilibre de la structure qui couvrent toute la surface du bâtiment et ont pour tâche de recevoir les charges et de les répartir entre les éléments sur lesquels ils reposent.

Dans notre projet on distingue deux types de planchers :

2.1.1 Plancher à corps creux :

- Définition:

Il s'agit d'une dalle composée de corps creux en béton et de poutrelles en béton armé, et ces éléments sont suivis par la dalle de compression.

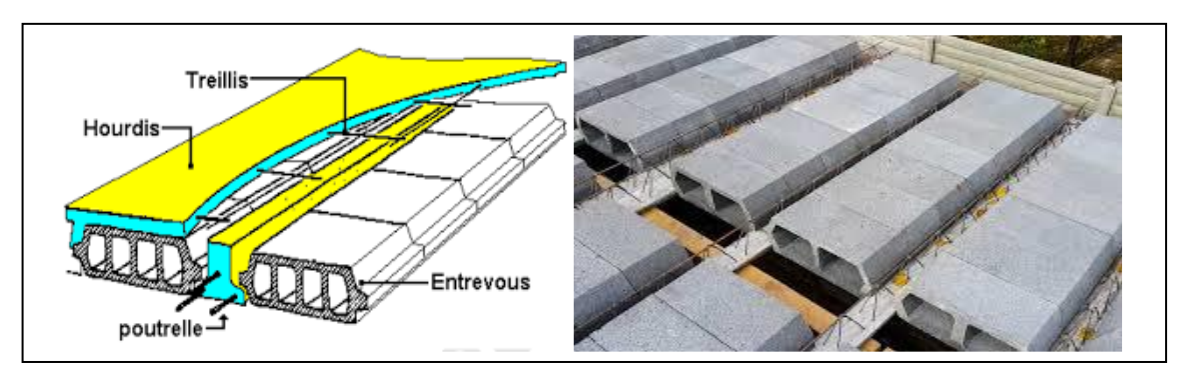


Figure 2-1: coupe d'un plancher en corps creux.

Le pré-dimensionnement se fait par les étapes suivantes :

- Condition de résistance à la flèche : d'après l'article B.6.8.4, 2.4 (CBA93).

$$\mathbf{h}_t \geq \frac{\min(\mathsf{Lxmax}\,, \mathsf{Lymax})}{22.5}$$

$$L_{\text{max}} \ge \frac{4.55}{22.5} = 20.22 \text{ cm}.$$

 h_t : hauteur totale du plancher.

 Lx_{max} : distance maximale entre nus d'appuis dans le sens ox.

 Ly_{max} : Distance maximale entre nus d'appuis dans le sens oy.

Nous choisirons donc un plancher à corps creux (16+5), Ht=21cm.

H= 16cm (hauteur du corps creux).

 $H_0 = 5$ cm (Hauteur de dalle de compression).

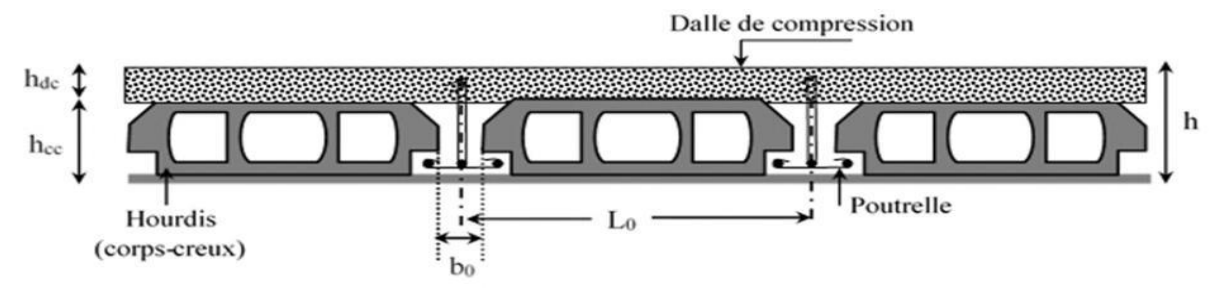


Figure 2-2: coup d'un plancher en corps creux

2.1.2 Plancher dalle pleine :

Il s'agit d'une dalle remplie e béton arme sous forme d'un seul élément, nous avons utilisé ce type pour le balcon.

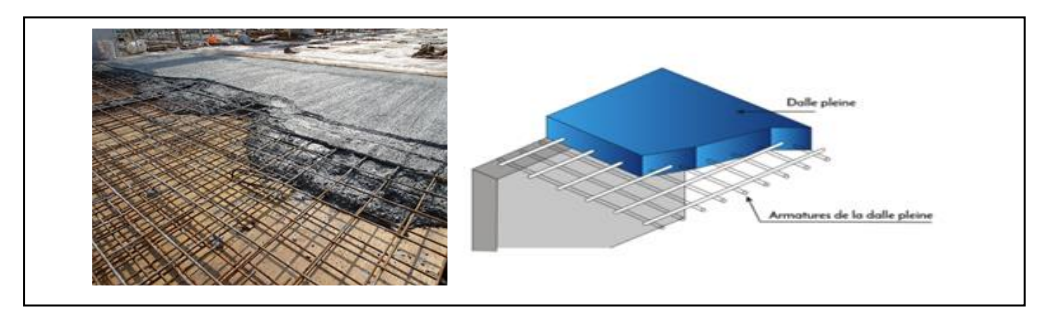


Figure 2-3: coup d'un plancher en dalle plein

- Résistance au feu

e1 = 7cm pour 1 heure de coup de feu.

e2 = 11 cm pour 2 heures de coup de feu.

e3 = 17.5 cm pour 4 heures de coup de feu.

- Résistance à la flexion

La dalle sur trois ou quatre appuis

$$\frac{Lx}{50} \le e_4 \le \frac{Ly}{40}$$
 $\frac{455}{50} \le e_4 \le \frac{455}{40}$ $9,1 \le e_4 \le 11.38$

La protection contre les bruits exige une épaisseur minimale $e_{5=16\ cm}$

D'où : e = max $(e_1, e_2, e_3, e_4, e_5)$ = 17,5 cm

donc:

Lx = la petite portée de la dalle la plus sollicitée

Ly = la grande portée de la dalle.

2.2 Pré-dimensionnement des poutrelles :

Les poutrelles sont des éléments structuraux utilisés dans la construction pour soutenir des charges lourdes, et transmettre vers les poutres principales.

On prend $b_0 = 10$ cm (il varie entre 10 à 20 cm).

On détermine largeur de la dalle comme suit :

$$\frac{b-b_0}{2} \leq \min(\frac{L_x}{2}; \frac{L_y}{10})$$

d'après CBA93(article A.4.1.3).

Lx = distance entre nus des poutrelles.

Ly = distance entre nus d'appuis des poutrelles

$$h = 21 \text{ cm}$$

$$h_0 = 5 \text{ cm}$$
 , $b_0 = 10 \text{ cm}$.

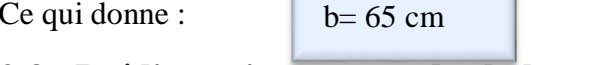
$$b_0 = 10 \text{ cm}$$

$$Lx = 65-10 = 55 \text{ cm}.$$

$$Ly = 455-50 = 405 \text{ cm}.$$

Ce qui donne :





2.3 Prédimensionnement des balcons

Les balcons sont constitués en dalle pleine.

e_b: l'épaisseur du balcon doit être au moins égale à 12 cm (d'après RPA99/V2003)

$$e_b \ge \frac{L}{10}$$

L : largeur du balcon. L=100cm.

$$e_b \ge \frac{100}{10} = 10$$
 cm.

On prend:

$$e_b = 15$$
 cm.

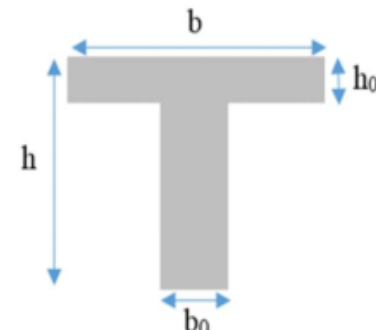


Figure 2-4 :coupe de poutrelle.

2.4 Pré dimensionnement des escaliers

Un escalier est une structure constituée de marches qui permettent de passer d'un niveau a un autre a

l'intérieur d'un bâtiment ou entre différents niveaux extérieurs. Les escaliers peuvent être fabriques à partir de divers matériaux tels que le bois, le métal, le béton ou la pierre, et peuvent être conçus dans une large gamme de styles et de configuration.

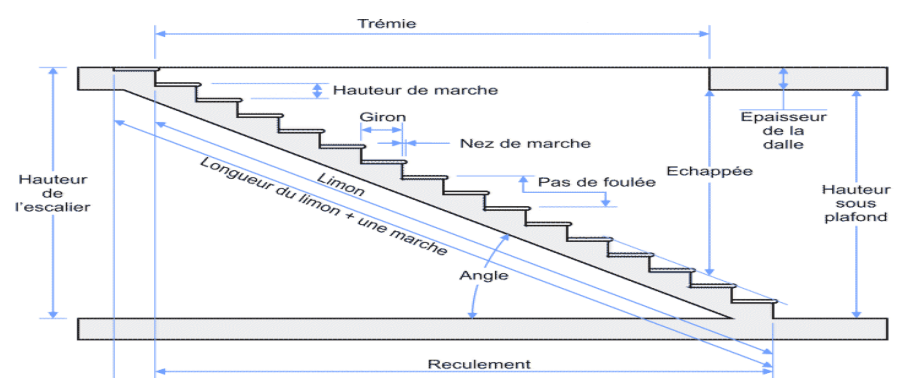


Figure 2-5: schéma d'escalier

h=17 cm.

n = 18

m= 8 marches

-Caractéristiques techniques

g = largeur de la marche (giron).

h = Hauteur d'étage

n = le nombre de marches.

L = longueur de paillasse

H = demi hauteur d'étage.

2.4.1 Calcul du nombre de marches et contres marches :

- Pour étage courant et RDC :

Hauteur d'étage : h = 3.06 m.

Hauteur de la marche : $16.5 \text{ cm} \ge h \ge 17.5 \text{ cm}$

On prend:

 $n = \frac{H}{h} = \frac{306}{17} = 18$ 9 contre marches pour chaque volée.

8 marches pour chaque volée.

• Le giron :

On a:

$$60 < 2h + g < 66$$
 et $2h + g = 64$

Donc:

- Pour l'entrée de la structure :

Le nombre des marches:

$$n = \frac{H}{h} = \frac{102}{17} = 6$$
 contre marches

 $m = n-1 = 6-1 = 5$ marches

 $m = 5$ marches

2.4.2 L'inclinaison de la paillasse :

- Pour étage courant et rdc :

On a:
$$g = 153 \text{ cm}$$

$$tg(\alpha) = g / h = tg(153 / 240)$$
 $\alpha = 32.52^{\circ}$

La longueur de paillasse est $1,53 / \sin \alpha$

Donc L:
$$L = 284.60cm$$

- Pour l'entrée de la structure :

On a:
$$g=102cm$$
.
 $tg(\alpha)=g/h=tg~(102/150)$ $\alpha=34.22^{\circ}$

La longueur de paillasse est 102/sina

2.4.3 Épaisseur d'escaliers :

- Pour étage courant et rdc :

$$\frac{L}{30} \le ep \le \frac{L}{20}$$

$$\frac{284.60}{30} \le ep \le \frac{284.60}{20}$$

$$9.49 \le e_p \le 14.23$$
On prend: ep= 14 cm.

- Pour l'entrée de la structure :

$$\frac{181.37}{30} \le e_p \le \frac{181.37}{20}$$
$$6.05 \le e_p \le 9.07$$

On prend: ep= 8 cm.

On choisit pour les deux paillasse et les paliers de repos :

$$e = 15cm$$
.

2.5 Pré dimensionnement des poutres :

- Définition

Une poutre est un élément structurel horizontal ou incline, utilise pour supporter des charges et transférer vers les fondations.

2.5.1 Les Poutres principales

Elles sont disposées perpendiculairement aux poutrelles, et reprendre les charges provenant des poutrelles.

Tableau 2-1 : pré dimensionnement des poutres principales

1	BAEL91	RPA99 VERSION2003	1
Hauteur (h)	$\frac{L\text{max}}{15} \le h \le \frac{L\text{max}}{10}$ $\text{Avec } L_{max} = 500 cm.$ $\frac{500}{15} \le h \le \frac{500}{10}$	$b \ge 20cm \text{ CV.}$ $h \ge 30cm \text{ CV.}$ $\frac{h}{b} \le 4$ $\frac{45}{35} = 1.28 < 4 \text{ CV.}$	h = 45 cm
	$33.33 \le h \le 50$ h= 45 cm		
Largeur (b)	$0.3h \le b \le 0.7h$ $13.5 \le b \le 31.5$ b = 30cm		b = 30cm

2.5.2 Les Poutre secondaires

Elles sont généralement plus petites et moins résistantes que les poutres principales .et sont disposées parallèlement aux poutrelles.

Tableau 2-2 : pré dimensionnement des poutres secondaires

/	BAEL91	RPA99 VERSION2003	1
Hauteur (h)	$\frac{L_{max}}{15} \le h \le \frac{L_{max}}{10} \text{Avec}$ $L_{max} = 455 \text{ cm}.$ $\frac{455}{15} \le h \le \frac{455}{10}$ $30.33 \le h \le 45.5$	$b \ge 20cm \text{ CV.}$ $h \ge 30cm \text{ CV.}$ $\frac{h}{b} \le 4$ $\frac{40}{30} = 1.33 < 4 \text{ CV.}$	h = 40 cm
Largeur (b)	$h=40cm$ $0.3h \le b \le 0.7h$ $12 \le b \le 28$ $b = 30cm$		b = 30cm

2.6 Pré dimensionnement des voiles

Le voile et un élément structurel vertical et plein généralement en béton terme, utilise pour supporter des charges et les transférer aux fondations.

Le pré dimensionnement des murs en béton arme est justifier par l'article 7.7 de RPA 99

Les voiles servent, à contreventer le bâtiment en reprenant les efforts horizontaux (séisme et /ou vent), et reprendre les efforts verticaux qu'ils transmettent aux fondations.

- Les charges verticales : charges permanentes et surcharges.
- Les actions horizontales : effets de séisme et/ou de vent.
- Les voiles assurant le contreventement sont supposés pleins.

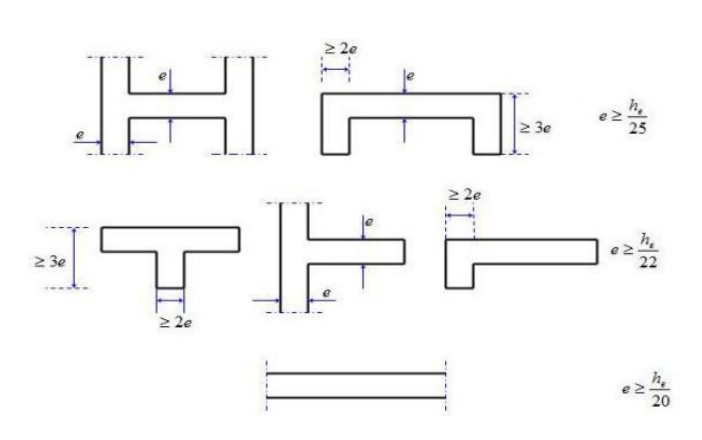
D'après le RPA99 article 7.7.1 sont considères comme voiles les éléments satisfaisant à la condition $(L \ge 4 e)$.

Ses éléments sont considérés comme des éléments linéaires

e : épaisseur du voile.

L: longueur du voile

 h_e : hauteur libre d'étage.



h_p

Figure 2-6 :coupe de voile en élévation .

Figure 2-7 :coup de voile en plan.

$$e \ge \max\left(\frac{h_e}{25}, \frac{h_e}{22}, \frac{h_e}{20}\right)$$

- Pour RDC :

$$h_e = 306 - 50 = 256$$
 cm.

$$e \ge max (10.24, 11.63, 12.8)$$



e = 12.8 cm.

- Pour étage courant :

$$h_e = 306 - 50 = 256$$
 cm.

$$e \ge \max(10.24, 11.63, 12.8)$$

e = 12.8 cm.

- Pour entre-sol:

$$h_e = 368 - 50 = 318 \text{ cm.}$$
 $e \ge \max (12.72, 14.45, 15.9)$
Alors
 $e \ge \max (12.8, 12.8, 15.9)$
On prend
 $e = 20 \text{cm.}$

 $L \ge 4 e$ donc: L = 80 cm.

2.7 Évaluation des charges

G: la charge permanente

Q: la charge d'exploitation.

- Charges permanente:

Plancher terrasse inaccessible :

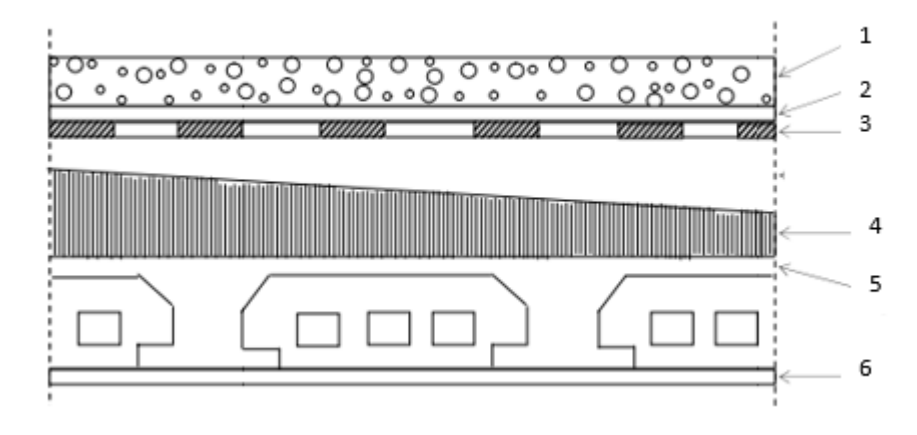


Figure 2-8 :plancher terrasse inaccessible.

Tableau 2-3 : évaluation des charges dans la terrasse inaccessible.

	Élément	Épaisseur (cm)	Masse volumique (kg/m³)	Poids surfacique (kN/m²)
1	Protection gravillon	6	1700	1.00
2	Étanchéité Multicouche	4	/	0.24
3	Isolation thermique	4	400	2.20
4	Forme en pente (2%)	10	2200	0.16

5	Plancher (corps creux)	0,21	/	2,85
6	Enduit en plâtre	2	1000	0.20
				$G_T = 6.65$

Terrasse accessible :

Tableau 2-4 : évaluation des charges dans la terrasse accessible.

Élément	Épaisseur(cm)	Masse volumique (kg/m³)	Poids surfacique (kN/m²)
Protection	6	1700	1.00
gravillon			
Étanchéité	4	/	0.24
multicouche			
Forme en pente	10	2200	2.20
(2%)			
Plancher (corps	0,21	/	2.85
creux)			
Enduit en plâtre	2	1000	0.20
			$G_{\rm T} = 6.49$

• Etage courant et RDC :

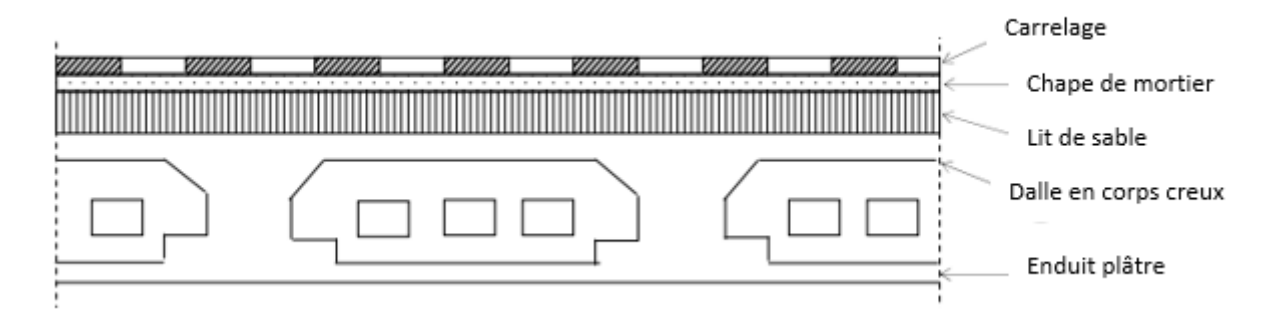


Figure 2-9 :schéma de plancher étage courant

Tableau 2-5 : évaluation des charges dans les étages et RDC

Élément	Epaisseur	Masse volumique (kN/m³)	Poids surfacique (kN/m²)
	(cm)		
Carrelage + mortier	2,73	22	0.60
de pose			
Lit de sable	3	19	0.57
Cloison	0.1	1000	1

Dalle corps creux	21	/	2.85
Enduit en plâtre	2	10	0.20
			$G_{rdc} = G_e = 5.62$

• Plancher dalle pleine :

Elément	Epaisseur(cm)	masse volumique(KN/m³)	Poids surfacique (KN/m²)
Cloison de répartition	0.1	1000	1.00
Carrelage	2.73	2200	0.6
Mortier de pose	2	2000	0.4
Lit de sable	3	1900	0.57
Dalle plein	20	250	5
Couche de plâtre	2	1000	0.2
G = 7.77			

Balcon

Tableau 2-6 : évaluations des charges dans le balcon.

Matériaux	Poids surfacique (KN/m²)
Revêtement de carrelage	0.44
Mortier de pose	0.4
Sable	0.57
Plancher dalle pleine	3.75
Enduit de plâtre	0.4
	G =5.56

Mur extérieurs

Tableau 2-7 : évaluation des charges dans les murs extérieurs.

Matériaux	Epaisseur (cm)	d (kN/m ³)	G (kN/m ²)
Brique creuse	20	900	1.80
Enduit en plâtre	2	1000	0.2

Enduit en ciment	2	2200	0.44
			G = 2.44

Le palier

Tableau 2-8 : évaluation des charges dans le palier.

Matériaux	Poids surfacique (KN/m²)
Carrelage	0.44
Mortier de pose	0.4
Lit de sable	0.36
Dalle en BA	3.75
Enduit de plâtre	0.2
	G = 5.15

La paillasse

Tableau 2-9 : évaluation des charges dans la paillasse.

Matériaux	Poids surfacique (KN/m²)
Carrelage	0.44
Mortier de pose	0.4
Lit de sable	0.36
Marche	3.74
Paillasse	3.75
Garde-corps	0.2
	G = 8.89

- Charges d'exploitations :

Tableau 2-10 : évaluation des charges dans les niveaux.

Niveau	Usage	La Charge(KN/m ²)
Terrasse inaccessible	Inaccessible	1
Etage courant	Habitation	1.5
RDC	Habitation	1,5
Balcon	Habitation	3.5
Sous-sol	Commercial	4
Palier	Repos	2.5
Paillasse	Escalier	2.5
Terrasse accessible	Accessible	1,5

2.8 Pré dimensionnement des poteaux

Ce sont des éléments en béton arme carre, rectangulaire ou circulaire, destines à transmettre les charges aux fondations, leurs pré dimensionnement se fait à la compression centrée selon les règles du **CBA93** (article **B.8.2.1**)

Les étapes de calcule

- On considère le poteau le plus sollicitée.
- On calcule la surface reprise par le poteau.
- On détermine les charges et les surcharges qui reviennent au poteau.

2.8.1 La descente des charges :

■ Loi de dégression : DTRBC 2.2 (art 6.3).

Comme il est rare que toutes les charges d'exploitation agissent simultanément, on applique pour leur détermination la loi de dégression qui consiste à réduire les charges identiques à chaque étage de 10% jusqu' a 0,5Q.

Ce qui donne :
$$Q_0 + \frac{3+n}{2n}(Q_1 + Q_2 + \dots + Q_n)$$
 selon le BAEL91 modifié 99

Q : Charge d'exploitation.

n : Nombre d'étage.

 Q_0 : La charge dexploitation sur la terrasse.

 Q_1, Q_2, \dots, Q_n : Les charges d'exploitation des planchers courants.

- calcule les surcharges :

terrasse
$$Q_0 = 1 \text{ KN/}m^2$$

Etage 9.....
$$Q_{0+}Q_1 = 2.5 \text{ KN/}m^2$$

Etage 8.....
$$Q_0 + 0.95(Q_1 + Q_2) = 3.85 \text{KN/}m^2$$

Etage 7.....
$$Q_0+0.90(Q_1+Q_2+Q_3)=5.05$$
KN/ m^2

Etage 6.....
$$Q_0+0.85(Q_1+Q_2+Q_3+Q_4)=6.1$$
KN/ m^2

Etage 5...
$$Q_0+0.80(Q_1+Q_2+Q_3+Q_4+Q_5)=7KN/m^2$$

Etage
$$4...Q_0+0.75(Q_1+Q_2+Q_3+Q_4+Q_5+Q_6)=7.75\text{KN/}m^2$$

Etage 3...
$$Q_0+0.70(Q_1+Q_2+Q_3+Q_4+Q_5+Q_6+Q_7)=8.35$$
KN/ m^2

Etage 2....
$$Q_0+0.65(Q_1+Q_2+Q_3+Q_4+Q_5+Q_6+Q_7+Q_8)=8.8$$
KN/ m^2

Etage 1
$$Q_0+0.60(Q_1+Q_2+Q_3+Q_4+Q_5+Q_6+Q_7+Q_8+Q_9)=9.1$$
KN/ m^2

RDC ...
$$Q_0+0.55(Q_1+Q_2+Q_3+Q_4+Q_5+Q_6+Q_7+Q_8+Q_9+Q_{10})=9,25$$
KN/ m^2

- Calculer les charges d'exploitation N_q :

$$N_q = Q . Smaj$$

$$\begin{cases} Q = charge \ d \ exploitation \ . \\ S = surface \ of fertes \ majore \end{cases}$$

- Calculer les charges permanentes N_G :

$$N_{G \, plancher} = S_{mai} . G$$

$$N_{Gpp} = \rho . (b.h).L_{PP}$$

$$N_{Gps} = \rho. (b.h) L_{PS}$$

Au niveau de terrasse $N_{G\ poteau}=0\ KN$

 $L_{PP} =$ longeur de la poutre principale .

 $L_{PS} = l$ ongeur de la poutre secondaire .

 $h_{et} = hauteur \ d \ etage$.

 $G = charge\ permanente\ de\ plancher.$

 $Q = charge \ d \ exploitation \ du \ plancher$.

Tableau 2-11 : charge revenant au poteau central

Niveaux	Elément	$N_G(KN)$	$N_{Q}(KN)$
Terrasse	Poids de plancher	144,77	21,77
	Poids poutre principal	14,68	-
	Poids poutre secondaire	13,65	-
	Total	173,1	21,77
Etage courant	Poids plancher	122,35	32,66
	Poids poutre principal	14,68	-
	Poids poutre secondaire	13,65	-
	Poids poteau	27,54	-
	Total	150,68	32,66
RDC	Poids plancher	122,35	32,66
	Poids poutre principal	14,68	-
	Poids poutre secondaire	13,65	-
	Poids poteau	27,54	-
	Total	150,68	32,66
Entre sol	Poids plancher	169,15	87,08
	Poids poutre principal	14,68	-
	Poids poutre secondaire	13,65	-
	Poids poteau	33,12	-
	Total	230,60	87,08

2.8.2 Calcule la surface afférente. :

S= S1+S2+S3+S4= 2 ×
$$\left[\frac{5}{2} \times \frac{4,55}{2}\right]$$
 + 2 × $\left[\frac{3,7}{2} \times \frac{4,55}{2}\right]$ = 19,79 m^2 .

$$S_{maj} = 1.1 \times 19.79 = 21.77 \ m^2.$$

$$L_{pp} = 4,35 \text{ m}.$$

$$L_{ps} = 4,55 \mathrm{m}$$

$$G = \gamma_s . L . h . b$$

$$G_{pp} = 25 \times 4,35 \times 0,45 \times 0,30 = 14,68 \text{ KN}.$$

$$G_{ps} = 25 \times 4,55 \times 0,40 \times 0,30 = 13,65 \text{ KN}.$$

- Section de Poteau:

La formule générale :

$$B_r \geq \frac{k \times \beta \times N_U}{\frac{\theta \times f_{bu}}{0.9} + \frac{0.85 \times f_{ed}}{100}}$$

Br: section réduite du poteau

$$f_{bu} = \frac{0.85 f_{c28}}{\theta \gamma_b} = \frac{0.85 \times 25}{1 \times 1.5} = 14.2 \; MPa$$
 , $f_{ed} = \frac{f_e}{\gamma_s} = \frac{400}{1.15} = 348 MPa$.

 β : Coefficient dépendant de l'élancement mécanique γ des poteaux qui est defini comme suit :

- $si \lambda \le 50 \rightarrow \beta = 1 + 0.2(\lambda/35)^2$
- $si 50 \le \lambda \le 70 \rightarrow \beta = 0.6(50/\lambda)^2$

Pour tous les armateurs participent à la résistance, on prendra l'élancement mécanique forfaitairement égale $\lambda = 35$, $\beta = 1,2$

Donc : $Br \ge 0.64 N_U$.

Tableau 2-12 : section de poteau central

Niveau	N_G	$N_{G\ cum}$	N_Q	$N_{Q cum}$	N_u	Br	a×b
	-		r	· ·			choisi
Terrasse	173,10	173,10	21,77	21,77	266,34	170,45	/
9	150,68	323,78	32,66	54,43	518,75	332,00	50×50
8	150,68	474,46	32,66	87,09	771,15	493,54	50×50
7	150,68	625,14	32.66	119,75	1023,56	655,08	50×50
6	150,68	775,82	32,66	152,42	1275,99	816,63	50×50
5	150,68	926,5	32,66	185,07	1528,38	978,16	55×55
4	150,68	1077,18	32,66	217,73	1780,78	1139,70	55×55
3	150,68	1227,86	32,66	250,39	2033,20	1301,25	55×55
2	150,68	1378,54	32,66	283,05	2285,60	1462,78	60×60
1	150,68	1529,22	32,66	315,71	2538,01	1624,33	60×60
RDC	150,68	1679,9	32,66	348,37	2790,42	1785,87	60×60
Sous sol	230,60	1910,5	87,08	435,45	3232,35	2068,70	60×60

On fait les calculs à l'ELU et on le vérifie avec RPA99/V2003.

- \checkmark $min(a, b) \ge 30cm \rightarrow min(50 \times 50) = 50cm$ $50cm \ge 30cm$c.v
- ✓ $min(a, b) \ge \frac{He}{20} \to 50cm \ge 306/20$ 50cm > 15,3 cm.....c.v

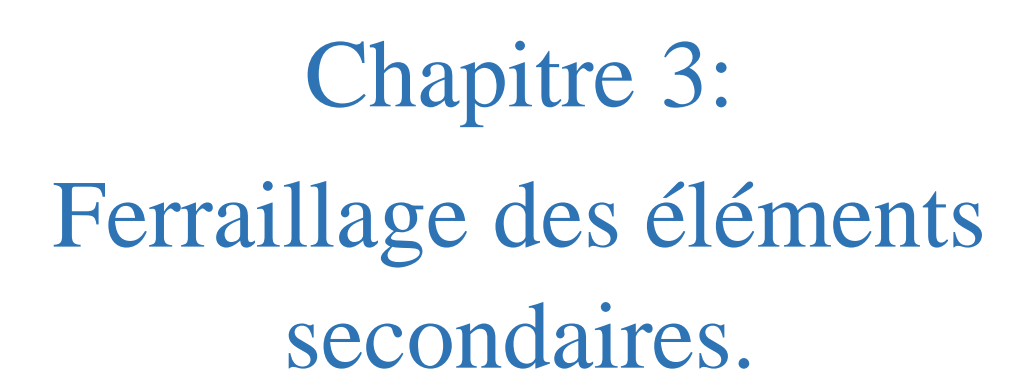
$$\sqrt{\frac{1}{4} < \left(\frac{a}{b}\right) < 4} \to \frac{1}{4} < \left(\frac{50}{50}\right) < 4$$

$$0.25 \le 1 \le 4$$

2.9 Conclusion:

Les résultats obtenus dans ce chapitre seront utilisés dans les chapitres suivants, notamment dans les calculs de renforcement des éléments et les études sismiques.

Par conséquent, ce chapitre établit la relation entre la conception d'une structure et son analyse.



3 Introduction

Ce chapitre se concentre sur l'analyse des éléments secondaires de la construction, tels que les planchers, les escaliers et les acrotères. Le processus consiste à évaluer les charges sur chaque élément, à calculer les sollicitations les plus critiques, puis à déterminer la section des armatures requise pour supporter ces charges tout en respectant les normes réglementaires en vigueur, telles que le BAEL91, le CBA93, et le RPA99, addenda 2003.

3.1 Acrotère:

3.1.1 Définition :

L'acrotère, ajouté au plancher terrasse, a pour but de sécuriser contre les chutes et de prévenir l'écoulement de l'eau le long de la façade.

En matière de calcul, on envisage l'acrotère comme une console encastrée à sa base, supportant son propre poids (G) ainsi qu'une charge horizontale due à la main courante (Q). Étant exposé aux intempéries, la fissuration de l'acrotère est jugée dommageable, ce qui est pris en compte lors des calculs aux états limites ultimes et aux états limites de service, notamment en ce qui concerne la flexion composée sur une bande linéaire de 1m.

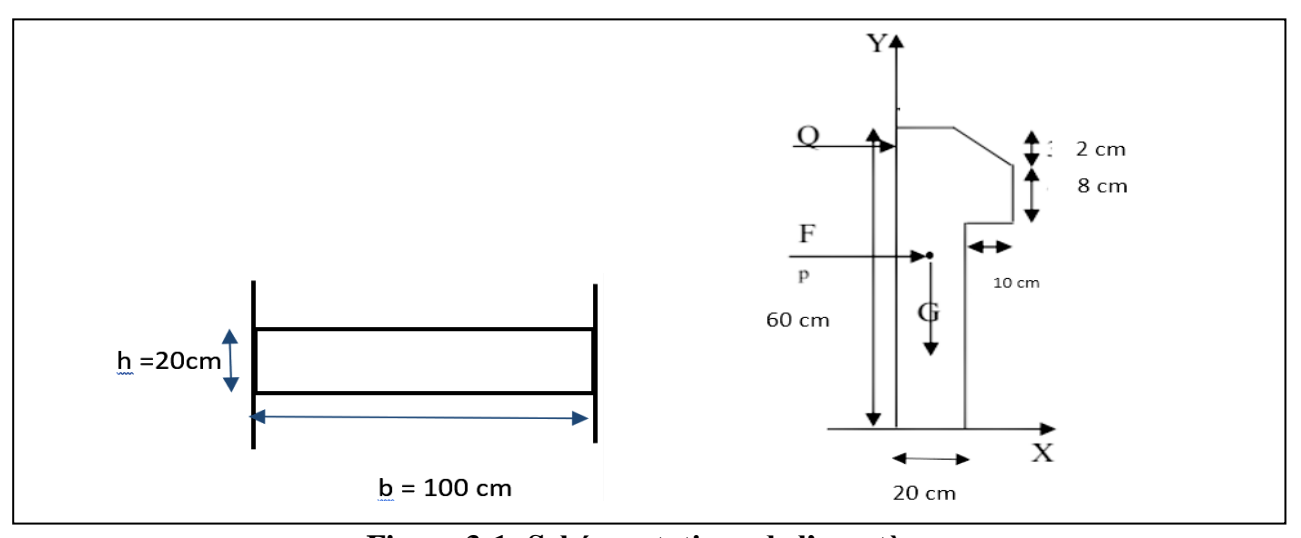


Figure 3-1 : Schéma statique de l'acrotère

3.1.2 Calcul des sollicitations :

On a:

Q = F = max (Fp ; Fq)

Avec:

Fp: la force sismique.

Fp = 4ACpWp (RPA99(version 2003/tableau6.2.3)).

A : coefficient d'accélération de zone. (RPA99(version2003/tableau4.1)).

Pour notre structure on a : A = 0.25 {groupe d'ousage 2 zone III}

Cp: facteur de force horizontale. (RPA99(version2003/tableau6.1)).

Cp = 0.8 (élément en console).

Wp: poids des éléments considères.

Le calcul sera effectué pour une bande de 1m de largeur on flexion composée.

- Poids propre:

$$Wp = G = S * \rho$$

Poids volumique de béton $\rho = 25 \text{ KN/}m^2$.

Section transversale de l'acrotère $S = ((60.20) + ((10+8).10/2) = 0.129 m^2$.

$$Wp = 3.23 \text{ KN.ml}$$

- Surcharge d'exploitation :

Q = max(Fp ; Fq).

Fp = 2.58 KN.ml

DTR.BC2.2

$$\Rightarrow$$
 Fq = 1 KN.ml

- Moments et efforts normaux :

Tableau 3-1 :calcul moments et efforts normaux de l acroter.

	Efforts normaux	Moments
	(KN)	(KN.m)
ELU	Nu= 1,35.G	Mu= 1.5.Fp.h
	= 1,35.3,23 = 4,36	= 1,5.2,58.0,6 = 2.322
ELS	Nser = G	Mser= Fp.h
	= 3,23	= 2,58.0.6 = 1.548

3.1.3 Ferraillage de l'acrotère

> à ELU:

H=20cm, b=100cm, $f_{c28}=25MPa, f_{t28}=2.1MPa, f_c=400MPa,$ c=2,5cm

- Calcul de l'excentricité :

$$e_u = \frac{Mu}{Nu} = \frac{2.322}{4.36} = 53.3cm$$

$$\frac{h}{2} - c = 10 - 2.5 = 7.5cm$$

$$e_u > \frac{h}{2} - c$$

Donc le centre de pression se trouve à l'extérieur de la section et l'effort normal de compression elle sera donc calculée à la flexion simple.

37

Moment fictif:

$$M_{ua} = A_c. N_u (A_c = e_A).$$

$$e_A = G_c + A_G = e_u + \left(\frac{h}{2}\right) - (h - d).$$

$$e_A = 53.3 + \left(\frac{20}{2}\right) - (20 - 17.5) = 60.8cm.$$

$$M_{ua} = e_A.N_u = 0.608.4.36 = 2.65KN/m.$$

- Calcul des sections fictives :

$$U_{bu} = \frac{M_{ua}}{bd^2 f_{bu}} = \frac{2.65.10^{-3}}{1.0.175^2.14.17} = 0.0061.$$

$$10^4 U'_{bu} = 3440 \, \gamma + 49 f_{c28} - 3050$$

$$\gamma = \frac{M_u}{M_S} = \frac{M_{ua}}{M_S} = \frac{2.65}{1.548} = 1.71$$

$$U'_{bu} = 0.406.$$

$$U_{bu} < U'_{bu}$$
 0.0061<0.406 $A'_{f} = 0$

$$a_u = 1.25(1 - \sqrt{1 - 2U_{bu}})$$

$$a_u = 1.25(1 - \sqrt{1 - 2.0,0061} = 0.0076m.$$

$$A_s = \frac{M_{ua}}{d(1 - 0.4a_u)\sigma_s}$$

$$A_s = \frac{2.65.10^{-3}}{0.175(1-(0.4.0.0076)).347.83} = 0.44cm^2.$$

La section réelle est :

$$A = A_S - \frac{N_u}{\sigma_S}$$

$$A = 0.44 - \frac{4,36.10}{347.83} = 0.31cm^2.$$

- Condition de non fragilité : (art A4.2.1 BAEL91R99).

On vérifié que : $A_s \ge A_{min}$ (1).

$$A_{min} = \frac{0.23bdF_{t28}}{F_{ed}}$$

$$A_{min} = \frac{0,23.1.0,175.2,1}{400} = 2.11cm^2$$

On remarque que la condition (1) n'est pas vérifiée.

On calcul à l'ELS.

> à ELS:

$$\overline{\mathbf{M}_{rb} = (\frac{1}{2\alpha} \left(1 - \frac{\alpha}{3} \right)) b_0 d^2 \overline{\mathbf{o}}_{bc}}$$

$$\alpha = \frac{15\overline{\sigma}_{bc}}{(15\overline{\sigma}_{bc} + \overline{\sigma}_{s})}$$

$$\alpha = \frac{15.15}{((15.15) + 201.63)} = 0.53.$$

$$M_{rb} = \left(\frac{1}{2.0,53}\left(1 - \frac{0.53}{3}\right)1.0,175^{2}.15 = 356.81 \text{ KN.m}\right)$$

$$M_{rb} > M_{ser}$$
 Donc: $A' = 0$

$$Z_b = d\left(1 - \frac{\alpha}{3}\right) = 17.5(1 - 0.1766) = 14.41cm.$$

$$A_{ser} = \frac{M_{ser}}{Z_b \sigma_s}$$

$$A_{ser} = \frac{1.548.10^{-3}}{0.1441.201,63} = 0.53cm^2.$$

$$A_{s=\max(A_{ser},A_{s},A_{min})=\max(0.53,0.44,2.11)}$$
.

$$A_{s=2.11cm^2}$$

On prend : $5HA8 = 2.51cm^2$ st=20cm.

- Armature de répartition :

$$A_{\text{r\'eel}} = \frac{A_S}{4} = \frac{2.11}{4} = 0.5275 cm^2.$$

On prend: $4HA8 = 2.01cm^2$st = 20cm.

3.1.4 VERIFICATION:

> Vérification à l'ELU :

- Vérification au cisaillement : (artA5.1 BAEL91 R99).

$$\tau_u \leq \min(0.15.\frac{f_{c28}}{\gamma_b}, 4MPa).$$

$$T_{\rm u} \le \min\left(0.15.\frac{25}{1.5}, 4MP\alpha\right).$$

$$\tau_u = 2.5MPa$$
.

Fissuration préjudiciable :

$$\tau_u = \frac{v_u}{bd}$$
 $v_u = 1.5Q = 1,5.2,58 = 3.87 \text{ KN}.$

$$\tau_u = \frac{3870}{175,1000} = 0.022 \, MPa$$

$$\tau_u < \overline{\tau}_u$$
 (0.022Mpa < 2.5Mpa)c'est vérifié.

- Vérification d'adhérence des barres :(art A 6.1.3BAEL91).

On va vérifier la condition $\tau_{se} < \overline{\tau}_s = \bigcup_s f_{c28}$.

$$\tau_{se} = \frac{V_u}{0.9d\Sigma U_i}$$

$$\sum U_i = n\pi\emptyset = 5 * 3.14 * 8 = 125.6mm.$$

$$V_u = 3.87KN.$$

$$\tau_{se} = \frac{3870}{0.9 * 175 * 125.6} = 0.196 \, MPa.$$

$$\tau_{se} = 0.196 < \overline{\tau}_s = 1.5 * 2.1 = 3.15$$
.condition vérifier.

> Vérification à l'ELS :

- Contrainte de compression :

Le béton :

 $\sigma_{bc} \leq \overline{\sigma}_{bc}$ On doit vérifier cette condition.

Contrainte maximale dans le béton :

$$\sigma_{bc} = KY$$
 $K = \frac{M_{ser}}{I}$

$$I = \frac{by^3}{3} + 15(A_s(d-y)^2 + A_s'(y-d')^2)$$

$$Y = \frac{15(A_s + A_s'')}{b} \left[\sqrt{1 + \frac{b(dA_s + d'A_s'')}{7.5(A_s + A_s'')^2}} - 1 \right]$$

$$d = 17.5 \text{ cm}, b = 1 \text{ m}$$

Tableau 3-2 : résultats de contrainte de compression dans le béton de l'acrotère

M _{ser} (KN.m)	$A_S cm^2$	I cm ⁴	Y (cm)	K Kg/cm ²	σ _{bc} (Mpa)		$\overline{\sigma}_{bc}$ (Mpa)
1.548	2.51	8.79×10^3	3.27	1.76	0.57	≤	15 CV

L'acier:

On doit vérifier la condition suivante :

$$\sigma_s < \overline{\sigma}_s$$

$$\sigma_s=15k(d-y)=37{,}57<\overline{\sigma}_s=201.63~MPa$$
...... Condition vérifiée.

> Schéma de ferraillage :

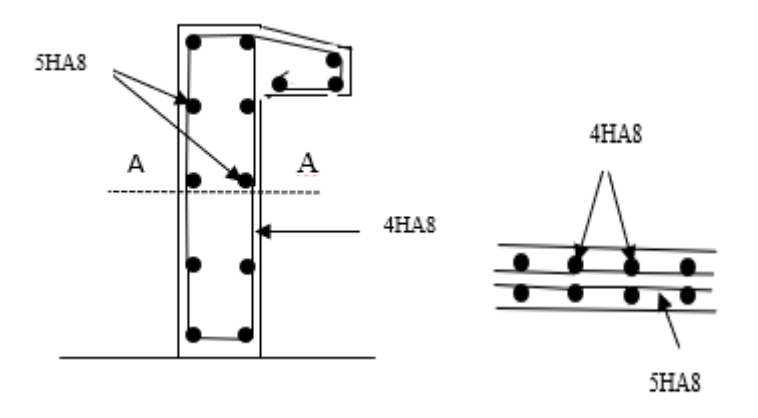


Figure 3-2 : Schéma ferraillage d'acrotère.

3.2 Calcul des balcons :

- Les charges :

Nous avons l'épaisseur de la dalle de balcon est : e= 15cm.

Charge permanentes (poids de la dalle) $G = 5,56 \, KN/m^2$.

Surcharge d'exploitation de balcon : $Q = 3.5 \ KN/m^2$.

Poids de mur (Gard corps) : $G_1 = 1.5 \ KN/m^2$

Surcharge d'exploitation du mur (main courante) : $Q_1 = 1 \ KN/m^2$

- Schéma statique de balcon :

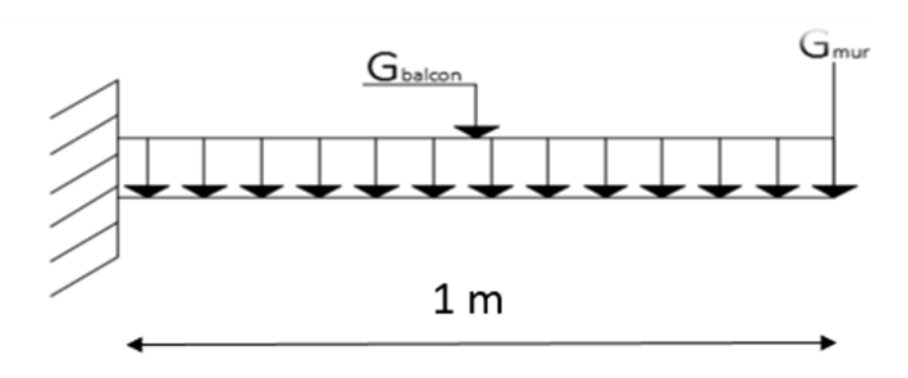


Figure 3-3 :schéma statique d'un balcon.

3.2.1 Calcul des sollicitations :

Le calcul se fait pour une bande de 1m de longueur.

- Combinaisons des charges

$$q_{u1} = 1,35 G + 1,5 Q = 12.75 \frac{KN}{ml}$$

$$q_{u2} = 1.35 G1 + 1.5 Q1 = 3.52 KN/m$$

$$q_{s1} = G + Q = 5.56 + 3.5 = 9.06 \, KN/ml$$

$$q_{s2} = G_1 + Q_1 = 1.5 + 1 = 2.5 \, KN$$

ELU:

$$M_u = \frac{q_{u1}l^2}{2} + q_{u2}l$$

$$M_u = \left(12.75 \times \frac{1^2}{2}\right) + (3.52 \times 1) = 9.89 \text{ KN. m}$$

$$T_u = (q_{u1} \times l) + q_{u2} = (12.75 \times 1) + 3.52$$

$$T_u = 16.27KN$$

ELS:

$$M_{ser} = \frac{q_{s1}l^2}{2} + q_{s2}l$$

$$M_{ser} = \left(9.06 \times \frac{1^2}{2}\right) + (2.5 \times 1) = 7.03 \text{ KN. m}$$

$$T_{ser} = (q_{s1} \times l) + q_{s2} = (9.06 \times 1) + 2.5$$

$$T_{ser}=11.56KN.$$

3.2.2 Le ferraillage :

> ELU:

- Armateur principal :

$$B = 100 \text{ cm}$$

$$h = 15 \text{ cm}$$

$$d = 0.9 \times 15 = 13.5$$
 cm

$$\mu_{bu} = \frac{M_u}{b_0 d^2 f_{bu}} = \frac{9.89 \times 10^{-3}}{1 \times 0,135^2 \times 14,2} = 0,0382$$

$$\gamma = \frac{M_u}{M_{ser}} = \frac{9.89}{7.03} = 1,406$$
 , $f_{c28} = 25 MPa$.

$$\mu_{lu} = (3440\gamma + 49f_{c28} - 3050)10^{-4}$$
 , $\mu_{lu} = 0.301$

$$\mu_{bu} < \mu_{lu} \rightarrow 0.0382 < 0.301$$

$$A_s = \frac{Mu}{Z_b f_{ed}}$$
 , $z_b = d(1 - 0.6\mu_{bu}) = 0.135 \times (1 - 0.6 \times 0.0382) = 0.132$ cm

Donc:
$$A_s = \frac{0,00989}{0.132 \times 348} = 2.15 \text{ cm}^2$$

On adopte : $5HA12 = 5.65cm^2 \rightarrow ST = 20 cm$

- Les armatures de répartitions A_r :

$$A_r = A_s/4 = 1.41 \text{ cm}^2$$
.

On adopte :5 $HA10 = 3.93 \ cm^2 \rightarrow ST = 20 \ cm$.

3.2.3 Les vérifications :

ELU:

✓ Condition de non fragilité :

$$A_{min} = 0.23. b. d. \frac{F_{t28}}{F_e} = 0.23 \times 100 \times 13.5 \times \frac{2.1}{400} = 1.63 cm^2.$$

On remarque que:

$$A_p = 5.65cm^2 > A_{min} = 1.63cm^2 \dots c. v$$

$$A_r = 3.93cm^2 > A_{min} = 1,63cm^2 \dots c. v$$

✓ Vérification de la disposition des armateurs (Art A8.2.42 BAEL91R99) :

- Armatures longitudinales :

$$S_t \le \min(3h, 33cm) = 33cm.$$

$$S_t = 20cm < 33cm \dots \dots c. v$$

- Armateurs de répartition :

$$S_t \le \min(4h, 45cm) = 45cm.$$

$$S_t = 20cm < 45cm \dots \dots c. v$$

✓ Vérification de l'effort tranchant :

$$T_{u max} = 16.96KN.$$

$$T_u = \frac{T_u}{b \times d} = \frac{0,01627}{1 \times 0.135} = 0,121MPa.$$

$$\overline{T}_u = \min(0.1 \times f_{c28}, 4 MPa) = 2.5 MPa$$
. (Fissuration préjudiciables).

$$T_u \le \overline{T}_u \rightarrow 0.121 \le 2.5 \dots \dots c. v$$

✓ Vérification de l'adhérence aux appuis :

Il faut que:

$$\overline{T}_u \leq \overline{T}_u = \Psi_s. f_{t28}$$

$$\overline{T}_u = 3,15 MPa$$
.

$$T_u = \frac{T_u}{0.9.d.\Sigma_{Ui}} = \frac{16.27 \times 10^{-3}}{0.9 \times 0.135 \times 0.1884} = 0.711 MPa.$$

$$\sum u_i = n\pi\emptyset = 5 * 3.14 * 12 = 188.4mm.$$

$$T_u = 0.711 < \overline{T}_u = 3.15 MPa.$$

> ELS:

La contrainte dans le béton $\sigma_{bc} < \bar{\sigma}_{bc}$

$$\bar{\sigma}_{bc} = 0.6 \times f_{c28} = 15 MPa .$$

$$\sigma_{bc} = KY$$

$$\to K = \frac{M_{ser}}{I} \qquad \to I = \frac{by^3}{3} + 15[A_s(d-y)^2 + A_s'(y-d')^2]$$

$$Y = \frac{15(A_s + A_s'')}{b} \left[\sqrt{1 + \frac{b(dA_s + d'A_s'')}{7.5(A_s + A_s'')^2} - 1} \right]$$

Tableau 3-3 : récapitule des résultats de contrainte de compression dans le béton (balcon)

Mser	As	I	Y	K	σ_{bc}	$\overline{\sigma}_{bc}$	Observation
(KN.m)	(cm^2)	(cm^4)	(cm)	(Kg/cm^2)	(MPa)	(MPa)	
7,03	5,65	1.36×10^4	4.01	5.17	2.07	≤ 15	Condition
							verifiée

✓ Verification de la flèche:

$$\frac{h}{1} = \frac{15}{135} = 0.11 > \frac{1}{15} = 0.06 \dots \dots c. v$$

$$\frac{A}{bd} = \frac{5,65}{100 \times 13,5} = 0,0042 < \frac{4,2}{400} = 0,0105 \dots c. v$$

> Schéma de ferraillage d'un balcon :

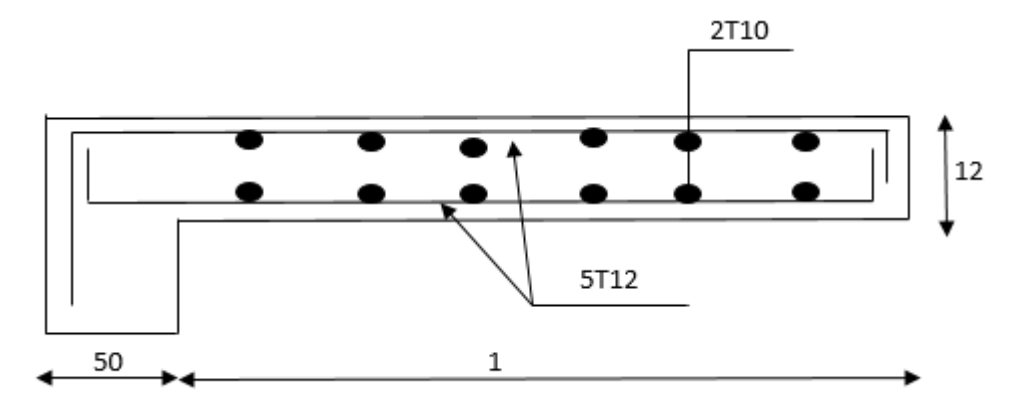


Figure 3-4: dessin ferraillage d'un balcon

3.3 Étude des planchers :

3.3.1 Dalle de compression :

Les planchers sont des éléments plans horizontaux, ils ont un rôle très important dans la structure. Ils transmettre les charges aux éléments porteurs, supporter les charges permanentes et les surcharges d'exploitation.

La structure étudier comporte des planchers a corps creux. Ce type de plancher est constitué par des éléments porteurs poutrelles, et par des éléments de remplissage corps creux, de dimensions (16+5) avec une dalle de compressions de 5cm d'épaisseur.

Dont les dimensions ne doivent excéder :

- 20 cm pour les armateurs perpendiculaires aux nervures
- 33cm pour les armateurs parallèles aux poutrelles. (Nervures)

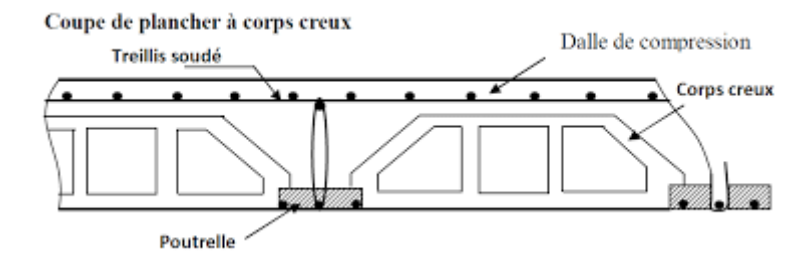


Figure 3-5: coupe d'un plancher en corps creux

45

Soit:

A : la section des armateurs perpendiculaire aux nervures.

Si:
$$L \leq 50cm \rightarrow A > \frac{200}{f_e}$$
.

$$50 \le L \le 80 \quad \to \quad A > \frac{4L}{f_e}.$$

Dans notre cas: L= 65 cm

L= l'entraxe des poutrelles (nervures)

- Les armateurs perpendiculaires aux nervures (poutrelles) :

$$A_{per} = \frac{4.L}{f_e} = \frac{4 \times 65}{400} = 0.65 cm^2/ml$$

$$A_{per}=6T5=1,\!18cm^2/ml$$

Avec: St=15cm.

- Les armateurs parallèles aux nervures (poutrelles) :

$$A_{par} = \frac{A_{per}}{f_e} = 0.49cm^2/ml$$

$$A_{par} = 6T5 = 1,18cm^2/ml$$

Donc nous optons pour le ferraillage de la dalle de compressions un treillis soude de (TLE500) de dimensions $(150 \times 150)mm^2$.

> Shema de ferraillage de la dalle de compression :

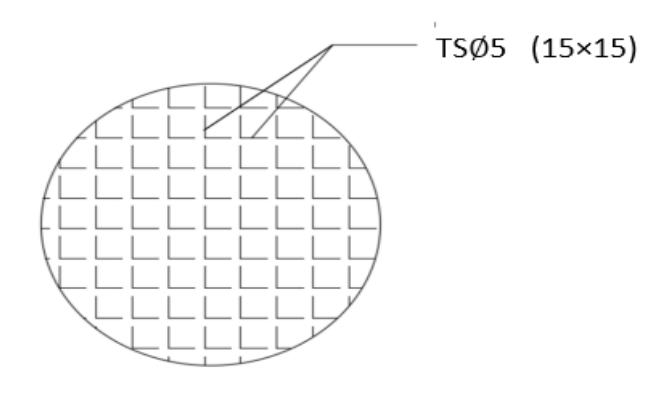


Figure 3-6 : schéma ferraillage de la dalle de compression

3.4 Les poutrelles :

3.4.1 Définition :

Une poutre se définit comme un élément structurel linéaire et horizontal, généralement caractérise par une section transversal constant .sa fonction principale est de supporter des charges et de les transférer aux appuis ou aux fondations.

Les poutres jouent un rôle crucial dans la construction de divers ouvrages, tels que les bâtiments, les ponts et les infrastructures. Elles fonctionnent en résistant à la flexion, ce qui signifie qu'elle se plient sous l'action des charges appliquées.

Pour l'étude des poutrelles, il faudra déterminer les moments fléchissant et les efforts tranchants.

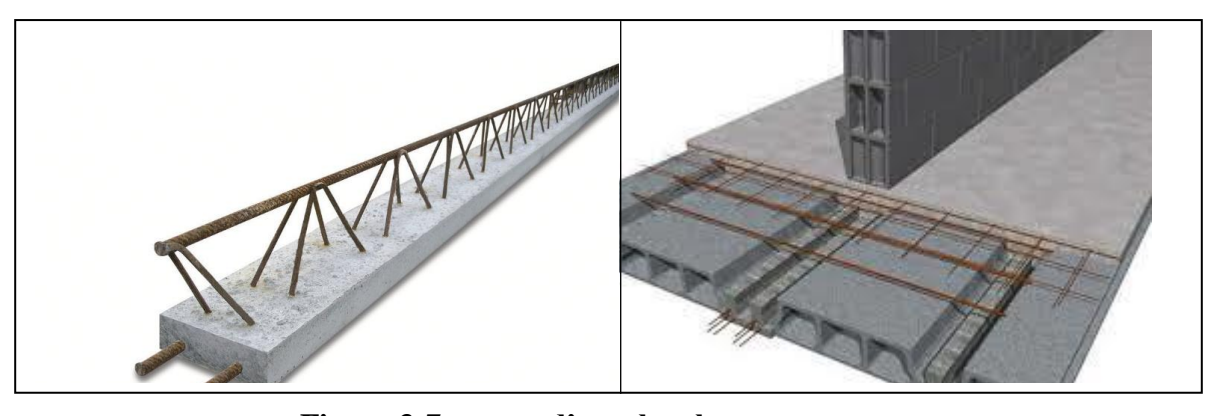


Figure 3-7 :coupe d'un plancher corps creux.

3.4.2 Types de poutrelles :

Pour notre structure on distingue un seul type de poutrelles représentées comme suit :

$$\alpha = \frac{Q}{Q+G}$$
 , la charge revenant a la poutrelle
$$\begin{cases} q_u = (1,35G+1,5Q) \times 0,65 \\ q_s = (G+Q) \times 0,65 \end{cases}$$

Tableau 3-4 : charges et surcharges et combinaisons de charges.

	b (m)	α	$G(KN/m^2)$	$Q(KN / m^2)$	q_u (KN/m^2)	q_s (KN/m^2)
Terrasse	0,65	0.12	7,3	1	7,38	5,40
RDC	0,65	0,39	6,27	4	9,40	6,68
Etage courant	0,65	0,19	6,27	1,5	6,96	5,05

Le cas le plus défavorable c'est le cas de RDC.

$$Q_U = 9,40KN/ml$$
 , $Q_S = 6,68KN.ml$

$$, Q_S = 6,68KN. ml$$

3.4.3 Les méthodes de calcul:

Méthode forfaitaire (Annexe E.1du BAEL91):

La méthode forfaitaire permet de calculer les sollicitations maximales dans les poutrelles.

Elle ne s'applique que si les conditions suivantes sont vérifiées

Il faut que le plancher soit à surcharge modérée :

 $Q \leq \min(2G, 5) \rightarrow 4 \leq \min(2 \times 6, 27, 5) \rightarrow condition verifier.$

- Le rapport entre deux travées successives des poutrelles doit être compris entre 0,8 et 1,25 :

$$0.8 \le \frac{l_i}{l_{i+1}} \le 1.25 \rightarrow 0.8 \le \frac{4.55}{4} \le 1.25 \rightarrow condition verifier$$

La condition est vérifiée donc la méthode forfaitaire est applicable.

Méthode de Caquot :

Moment en appuis :

$$M_a = -\frac{q_w l'_{w^3} + q_e l'_{e^3}}{8.5(l'_w + l'_e)}$$

Avec:

- $M_a = moment \ aux \ appuis \ du \ aux \ charge \ reparties \ sur \ les \ deux \ travees$.
- l' = l pour une travee de rive.
- l' = 0.8l pour une travee intermediaire.
- q_w et q_e = une charge uniformement repartie d intensite.

Moment en travées

$$M_t = M_0(x) + \left(1 - \frac{x}{l}\right)M_w + \frac{x}{l}M_e.$$

Avec:

$$M_0(x) = q \frac{x}{2}(l-x)$$

- $M_0(x) = le moment flechissant d une travee supposee idependante.$
- M_w et M_e moments sur appuis de gauche et de droite (west et east) de travee.

Règle de l'effort tranchant

$$V_w = \frac{M_w - M_e}{L} - q \frac{L}{2}$$
 , $V_e = V_w + q \times L$

 V_W : l'effort tranchant sur l appui gauche .

 V_E : leffort tranchant sur l appuis droit.

Après tous ces méthodes on a choisi de travailler avec logiciel :

3.4.4 Les moments et les efforts tranchant des étages et RDC :

✓ Diagramme des moments fléchissant ELU

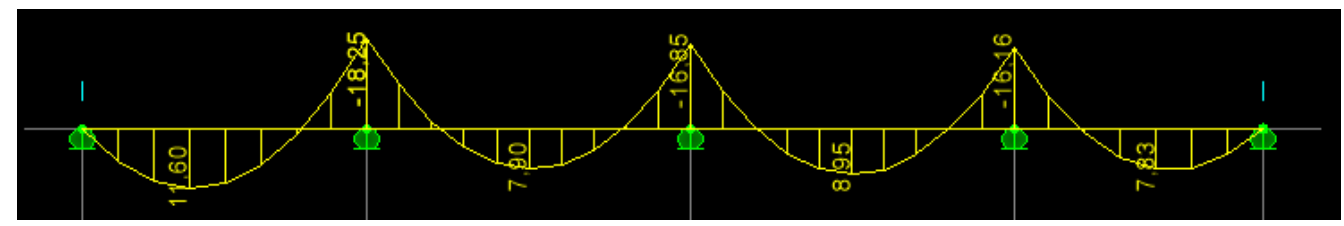


Figure 3-8 :diagramme des moments a ELU

✓ Diagramme des efforts tranchant ELU

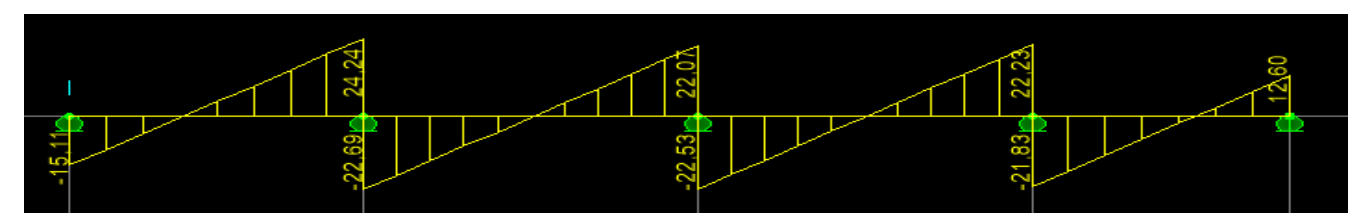


Figure 3-9 :diagramme des efforts a ELU

✓ Diagramme des moments fléchissant ELS.

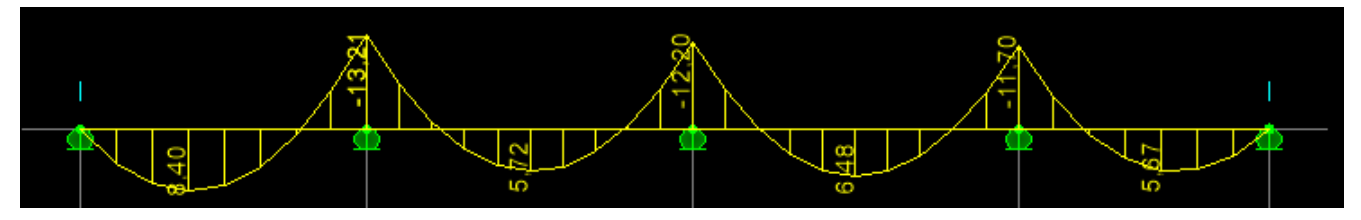


Figure 3-10 :diagramme des moments a ELS

✓ Diagramme des efforts tranchants ELS

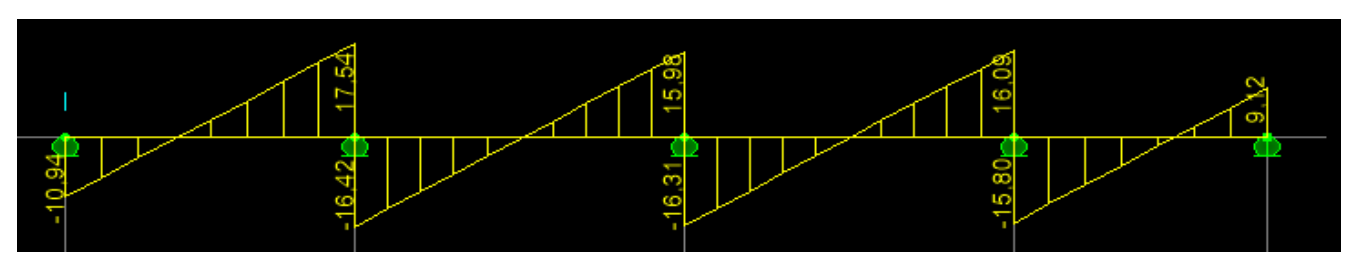


Figure 3-11 :diagramme des efforts a ELS

- Conclusion

ELS: ELU:

$$M_{a max} = -13,21 \text{ KN.m}$$
 $M_{a max} = -18,25 \text{ KN.m}$

$$M_{t max} = 8,4 \ KN.m$$
 $M_{t max} = 11,60 \ KN.m$

$$V_{max} = 17,54KN$$
 $V_{max} = 24,24KN$

3.4.4.1 Ferraillage:

$$\mathbf{b}=65\mathrm{cm},\,b_0=12\;cm$$
 , $h=24cm$, $h_0=4cm$, $d=21{,}5cm$

$$M_T = b \times h_0 \times (d - \frac{h_0}{2}) f_{bu}$$

$$M_t = 65 \times 4 \times (21.5 - 2) \times 14.2 = 71.994 KN. m$$

$$M_{tu} \leq M_t \quad \rightarrow \quad 11,60 \leq 71,994. \dots \dots condition \ verifier.$$

- En travée :

$$\mu_{ub} = \frac{M_{tu}}{b \times d^2 \times f_{bu}} = \frac{11,60 \times 10^{-3}}{0,65 \times 0,215^2 \times 14,2} = 0,027$$

$$\gamma = \frac{M_{t u}}{M_{t ser}} = 1.38$$

$$\mu_{lu} = (3440\gamma + 49f_{c28} - 3050) \times 10^{-4}$$

$$\mu_{ub} = 0.027 < \mu_{lu} = 0.292 \rightarrow A' = 0$$

$$Z_B = d(1 - 0.6\mu_{bu}) = 0.215(1-0.6\times0.027) = 0.21$$
m.

$$A_s = \frac{M_{tu}}{z_b \times f_{ed}} = \frac{0,01264}{0,212 \times 347,83} = 1,60cm^2.$$

On adopte $4HA8/ml = 2.01cm^2$

- En appuis:

$$\mu_{ub} = \frac{M_{au}}{b \times d^2 \times f_{bu}} = \frac{18,25 \times 10^{-3}}{0,12 \times 0,215^2 \times 14,2} = 0,23$$

$$\gamma = \frac{M_{au}}{M_{aser}} = 1.38$$

$$\mu_{lu} = (3440\gamma + 49f_{c28} - 3050) \times 10^{-4}$$

$$\mu_{ub} = 0.23 < \mu_{lu} = 0.29 \rightarrow A' = 0$$

$$Z_B = d(1 - 0.6\mu_{bu}) = 0.215(1-0.6\times0.23) = 0.185$$
m.

$$A_s = \frac{M_{au}}{z_b \times f_{ed}} = \frac{0,01825}{0,183 \times 347,83} = 2,867cm^2.$$

On adopte $8HA8/ml = 4.02cm^2$

3.4.4.2 Vérification :

✓ Espacement des armateurs transversale art (A.5.1.22 BAEL91R99) :

St = min (0.9 d, 40 cm) = 19.35 cm.

Donc St = 18 cm

✓ Vérification de la condition de non fragilité (Art 4.2.1 BAEL 91R99) :

$$A_{ST} \ge 0.23 \times \frac{F_{t28}}{fe} b. d$$

$$A_{t \, min} = 0.23 \times \frac{2.1}{400} \times 0.65 \times 0.215 = 1.25 \, cm^2$$

$$A_{t min} = 0.23 \times \frac{2.1}{400} \times 0.12 \times 0.215 = 3.12 \ cm^2$$

- Aux appuis : $A_{ua} = 2,26 > A_{min} = 1,25$ condition verifier
- En travées : : $A_{ut} = 3.39 > A_{min} = 3.12$ condition verifier

✓ Vérification de la contrainte tangentielle (Art A5.1 BAEL 91 R99) :

Vmax = 24,24KN

$$\overline{T}_u = MIN(0.1333 f_{c28}, 5MPa) = 3.33MPa.$$

$$T_u = \frac{V_{max}}{b \times d} = \frac{0.02424}{0.12 \times 0.215} = 0.939 MPa.$$

 $T_u = 0.939 \ MPa \le \overline{T}_u = 3.33 \ MPa \dots \dots condition verifier.$

✓ Vérification de l'adhérence aux appuis (des barres) (Art 6,1,3, BAEL 91R99) :

$$T_{se} \leq \overline{T}_{se} = \Psi s f_{t28} \rightarrow \Psi_s = 1.5 \ pour \ FeE 400$$

$$T_{se} = \frac{T_u}{0.9 \times d \times \Sigma Ui} = \frac{24240}{0.9 \times 215 \times 75,36} = 1,66MPa$$

$$\Sigma Ui = n\pi\emptyset = 3 \times 3,14 \times 8 = 75,36mm$$

$$T_{se}=1,66~MPa<\overline{T}_{se}=3,15~MPa....condition~verifier$$

✓ Contrainte de compression dans le béton :

> ELS:

$$k = \frac{M_{ser}}{I} \rightarrow I = \frac{by^{3}}{3} + 15(A_{s}(d - y)^{2} + A_{s}'(y - d')^{2})$$

$$Y = \frac{15(A_{s} + A_{s}'')}{b} \left[\sqrt{1 + \frac{b(dA_{s} + d'A_{s}'')}{7.5(A_{s} + A_{s}'')^{2}} - 1} \right]$$

$$\sigma_{bc} = k.y$$

$$\overline{\sigma}_{bc} = 0.6. f_{c28} = 15 MPa.$$

$$\overline{\sigma}_{bc} < \overline{\sigma}_{bc}$$

Tableau 3-5 : récapitule des résultats de contrainte de compression dans le béton (poutrelles)

Poutrelles	Mser (KN.m)	As (cm ²)	[(cm ⁴)	Y (cm)	(<i>Kg</i> / <i>cm</i> ³)	σ_{bc} (MPa)	$\overline{\sigma}_{bc}$ (MPa)	Observation
Travée	8,40	2.01	$1,06 \times 10^4$	4,02	7,92	3,1	15	Condition vérifier.
Appuis	13,21	4,02	$1,9 \times 10^4$	5,46	6,95	3,8	15	Condition vérifier.

> Schéma ferraillage des poutrelles :

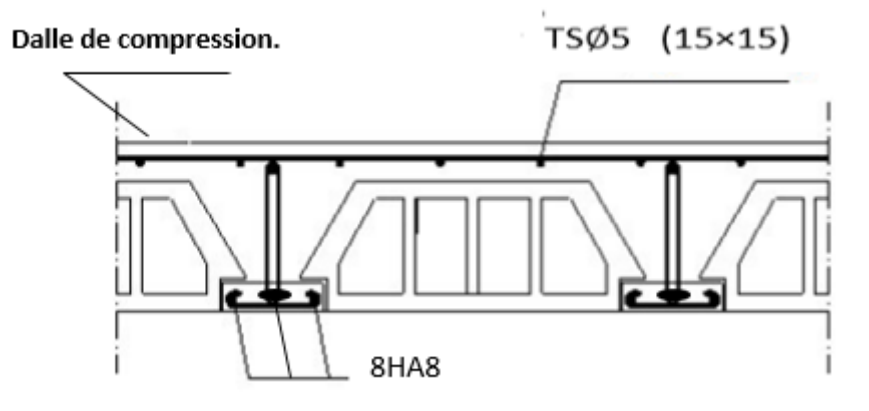


Figure 3-12 : schéma ferraillage des poutrelles

3.5 La dalle machine :

3.5.1 Définition :

La dalle machine est une dalle pleine joue un rôle crucial dans la gestion des charges et contribue à la sécurité et à la performance globale du système. Elle reprend un chargement important par rapport à celle de l'étage courant ou terrasse.

$$\alpha = \frac{Lx}{Ly} = \frac{165}{210} = 0.79 \quad \rightarrow \quad 0.4 < \alpha < 1 \quad donc \ la \ dalle \ travaille \ dans \ les \ deux \ sens \ .$$

3.5.2 Calcule des sollicitations :

ELU(v=0):

- Système de levage : p = 90 KN

$$Q_u = 1.35 \times 90 = 121.5 \text{ KN}$$

- Dalle en béton arme :

$$G = (25 \times 0.25 + 20 \times 0.05) = 7.25 \ KN/m^2$$

$$Q = 1 KN/m^2$$

Donc

$$Q_{u \ dalle \ plein} = (1,35 \times 7,25 + 1,5 \times 1) = 11,28 \text{ KN/m}$$

ELS
$$(v = 0,2)$$
:

- Système de levage : p = 90 KN

$$Q_s = 90 \, KN$$

- Dalle en béton arme :

$$G = (25 \times 0.25 + 20 \times 0.05) = 7.25 \ KN/m^2$$

$$Q = 1 KN/m^2$$

Donc

$$Q_{s \ dalle \ plein} = 7,25 + 1 = 8,25 \ \text{KN/m}$$

3.5.3 Evaluation des moments:

 M_{x2} et M_{y2} dus au poid propre de la dalle

ELU:

$$\rho = 0.79 \begin{cases} \mu_x = 0.0576 & M_{x2} = \mu_x \times Q_u \times lx^2 = 0.0576 \times 11.28 \times 1.65^2 = 1.77KN.m \\ \mu_y = 0.577 & M_{y2} = \mu_y \times M_{x2} = 0.577 \times 1.77 = 1.02KN.m \end{cases}$$

ELS:

$$\rho = 0.79 \begin{cases} \mu_x = 0.0642 & M_{x2} = \mu_x \times Q_u \times lx^2 = 0.0642 \times 8.25 \times 1.65^2 = 1.44 KN. m \\ \mu_y = 0.696 & M_{y2} = \mu_y \times M_{x2} = 0.696 \times 1.44 = 1.002 KN. m \end{cases}$$

 M_{x1} et M_{v1} dus au systeme de levage.

$$\alpha = \frac{L_x}{L_y} = \frac{165}{210} = 0.79$$

$$U_x = \frac{135}{165} = 0.81$$

$$U_y = \frac{135}{210} = 0.64$$

3.5.4 Calcule des moments :

• Moment isostatique :

Concernent les dalles rectangulaires librement appuyées sur leur contour nous distinguons deux cas :

$$1^{er} cas : 0 < \alpha < 0,4$$

La flexion longitudinale est négligeable.

$$M_{ox} = q \frac{lx^2}{8} \qquad M_{oy} = 0$$

$$2^{eme} cas : 0.4 < \alpha < 1$$

Les deux flexions interviennent, les moments développes au centre de la dalles les deux bandes de largeur d'unité valent :

- Dans le sens de la petite portée : $M_{ox} = u_x$. $q.Lx^2$
- Dans le sens de la grande portée : $M_{oy} = u_y$. M_{ox}
- Moment en appuis et en travée :

Si le panneau considère est continu au-delà des appuis :

- Moment en travée : $M_{tx} = 0.75 M_{ox}$, $M_{ty} = 0.75 M_{oy}$
- Moment en appuis : $M_{ax} = 0.5 M_{ox}$, $M_{ay} = 0.5 M_{oy}$

Si le panneau considère est un panneau de rive :

- Moment en travée : $M_{tx} = 0.85 M_{ox}$, $M_{ty} = 0.85 M_{oy}$
- Moment sur appuis : $M_{ax} = 0.3 M_{ox}$, $M_{ay} = 0.3 M_{oy}$

Tableau 3-6: calcul des moments

	EI	LU	ELS		
	Sens xx	Sens yy	Sens xx	Sens yy	
U	0,0576	0,577	0,0642	0,696	
M(KN.m)	13,3	7,34	9,99	5,682	
Mt (KN.m)	11,305	6,239	8,49	4,830	
Ma (KN.m)	3,99	2,202	2,997	1,7046	

3.5.5 Calcul les armatures :

$$b = 100 \text{ cm}$$

$$h = 25cm$$

d = 22,5cm

Pourcentage minimale:

$$A_{x min} \ge 8 \times h = 2cm^2$$

$$A_{y\,min} \ge 8 \times h \times \frac{3 - \alpha}{2} = 2,21 \, cm^2$$

Condition de non fragilité:

$$A_{min} = 0,23. b. d. \frac{f_{t28}}{fe} = 2,71 cm^2$$

Les résultats:

Tableau 3-7 : ferraillage à l'ELU.

	Sens xx		Sens yy		
	Sur appuis	En travée	Sur appuis	En travée	
Mu (KN.m)	3,99	11,305	2,202	6,239	
As (cm ²)	0,51	1,46	0,28	0,801	
$A_{s min} (cm^2)$	2,71	2,71	2,71	2,71	
Choix	5HA12 5H		5HA12	5HA12	
$A_{s adp}(cm^2)$	$A_{s adp}(cm^2)$ 5,65		5,65	5,65	
St (cm)	20	20	20	20	

3.5.6 Vérification:

Vérification au cisaillement :

Espacement des barres :(Art A8.2.42BAEL91R99)

Armatures $A_X//L_X$

$$S_t \le min(3h, 33cm) = min(45, 33) = 33cm \rightarrow S_t = 20cm \rightarrow condition verifier$$

Armatures $A_y//L_y$

$$S_t \le \min(4h, 45cm) = \min(60, 45) = 33cm \rightarrow S_t = 20 \ cm \rightarrow condition \ verifier$$

➤ Vérification de la contrainte tangentielle : (Art A 5.1 BAEL91R99)

Les efforts tranchants sont maximums au voisinage de la charge, on doit vérifier que :

$$\overline{\tau}_u = min(0.1f_{c28}, 4MPa~) = 2.5~MPa$$

$$\mu = v = \frac{q_u}{2x_0 + y_0} = \frac{90}{2 \times 135 \times 135} = 0.222KN$$

$$\tau_u = \frac{v_u}{h \times d} = \frac{222}{1000 \times 250} = 0,0009MPa$$

 $\tau_u = 0.0009MPa \le \overline{\tau}_u = 2.5MPa \dots condition verifier$

➤ Vérification au poinçonnement : (Art A 5.2.42BAEL91R99)

$$Q_u = 90KN \le 0.045 \times U_c \times H_t \times \frac{f_{cj}}{\gamma_b}$$

Avec:

 Q_u : la charge de calcul vis-à-vis de letat limite ultime (90 KN).

 h_t : l'épaisseur total de la dalle (25 cm).

 μ_c : le périmètre du contour au niveau du feuillet moyen, $\mu_c=2(u+v)=5$,4m

$$Q_u = 90 \ KN \le 0.045 \times 5400 \times 250 \times \frac{25}{1.5}$$

$$Q_u = 90KN \le 1,010 \times 10^3 KN$$

Les conditions sont vérifiées donc aucune armature transversale n est nécessaire.

> Vérification à L ELS :

Contrainte de compression dans le béton.

La fissuration est peu nuisible, on doit vérifier que :

$$\sigma_{bc} \le \overline{\sigma}_{bc} = 0.6 f_{c28} = 15 MPa$$

Contrainte maximale dans le béton comprime

$$\sigma_{bc} = k.y$$

$$k = \frac{M_{ser}}{I}$$
 $\rightarrow I = \frac{by^3}{3} + 15(A_s(d-y)^2 + A_s'(y-d')^2)$

$$Y = \frac{15(A_s + A_s'')}{b} \left[\sqrt{1 + \frac{b(dA_s + d'A_s'')}{7.5(A_s + A_s'')^2} - 1} \right]$$

Tableau 3-8 : récapitule des résultats de contrainte de compression dans le béton

		Maser	As	I	Y	K	σ_{BC}	Observation
Appuis	Sens x-x	2,997	5,65	3,09	5,45	9,6	5,2≤15	Cv
				$\times 10^4$				
	Sens y-y	1,70	5,65	3,09	5,45	5,5	2,9≤15	Cv
				$\times 10^4$				
Travée	Sens x-x	8,49	5,65	3,09	5,45	2,7	1,4≤15	Cv
				$ imes 10^4$				

	Sens y-y	4,830	5,65	3,09	5,45	1,5	0,81≤15	Cv
				$ imes 10^4$				

> Schéma de ferraillage de la dalle machine :

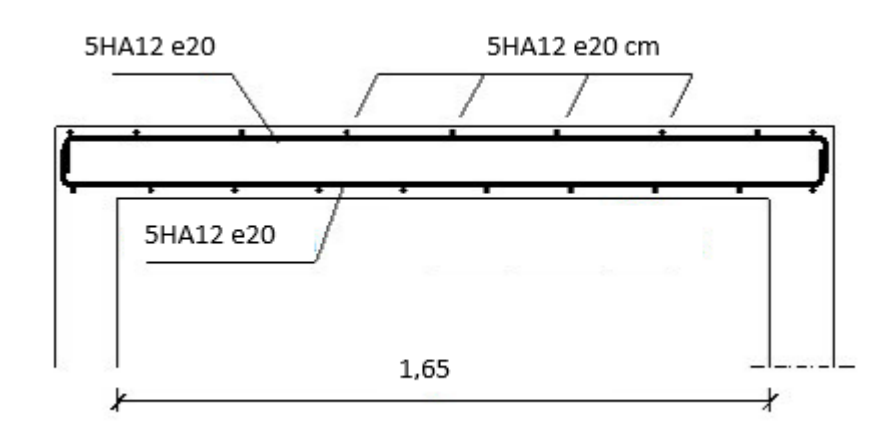


Figure 3-13 : ferraillage de la dalle machine.

3.6 Étude de l'escalier :

L'escalier est une construction architecturale constituée une suite régulière de marches, ou degré, permettant d'accéder à un étage de passer d'un niveau à un autre.

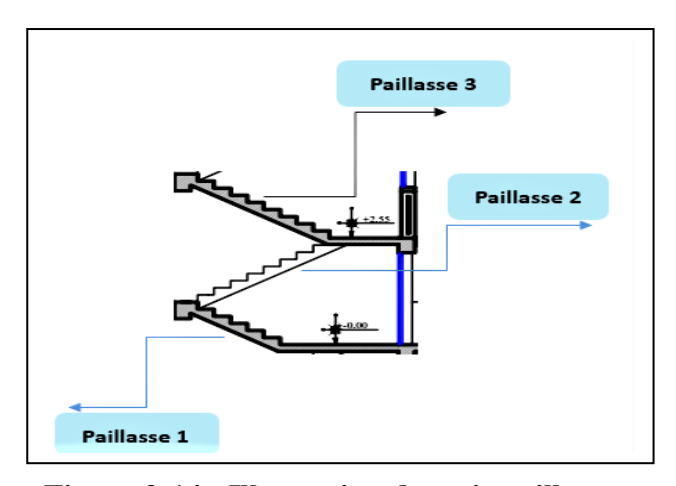


Figure 3-14: Illustration de trois paillasses.

✓ Combinaisons des charges :

A ELU:

$$P_u^{paller} = 1,35G + 1,5Q = 1,35 * 5.15 + 1,5 * 2.5 = 10.70 \text{ KN/ml.}$$

 $P_u^{paillasse} = 1.35G + 1.5Q = 1.35 * 8.89 + 1.5 * 2.5 = 15.75 \text{ KN/ml.}$

A ELS:

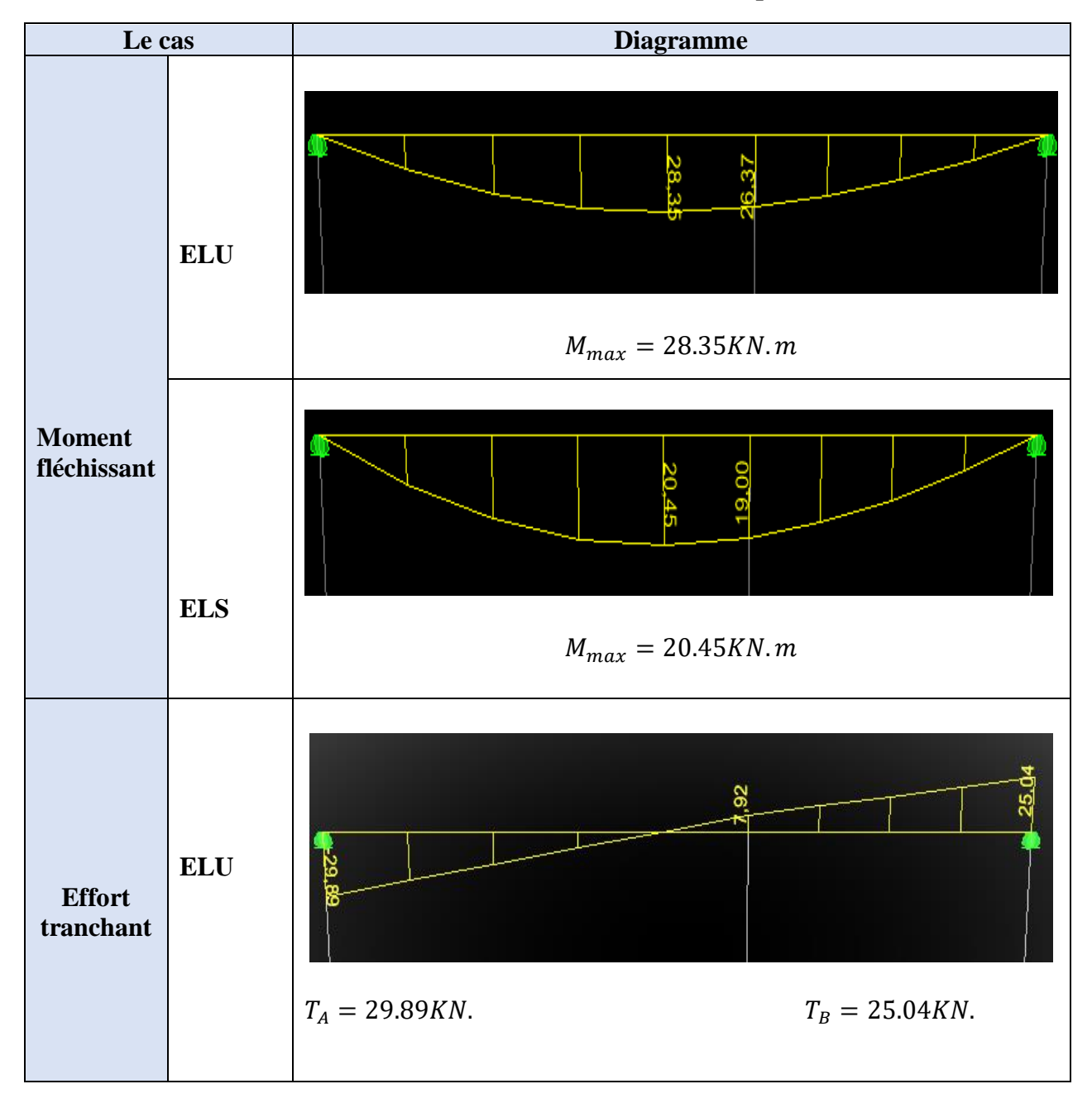
$$\begin{split} P_S^{palier} &= G + Q = 7.65 \text{ KN/ml.} \\ P_S^{paillasse} &= G + Q = 11.39 \text{ KN/ml.} \end{split}$$

3.6.1 Paillasse (2 et 3):

3.6.1.1 Calcul des moments et des efforts tranchants :

La poutre isostatique nous avant utilisés logiciel étapes pour calculer les moments et les efforts tranchants :

Tableau 3-9: moments et efforts tranchants (paillasse 2,3)



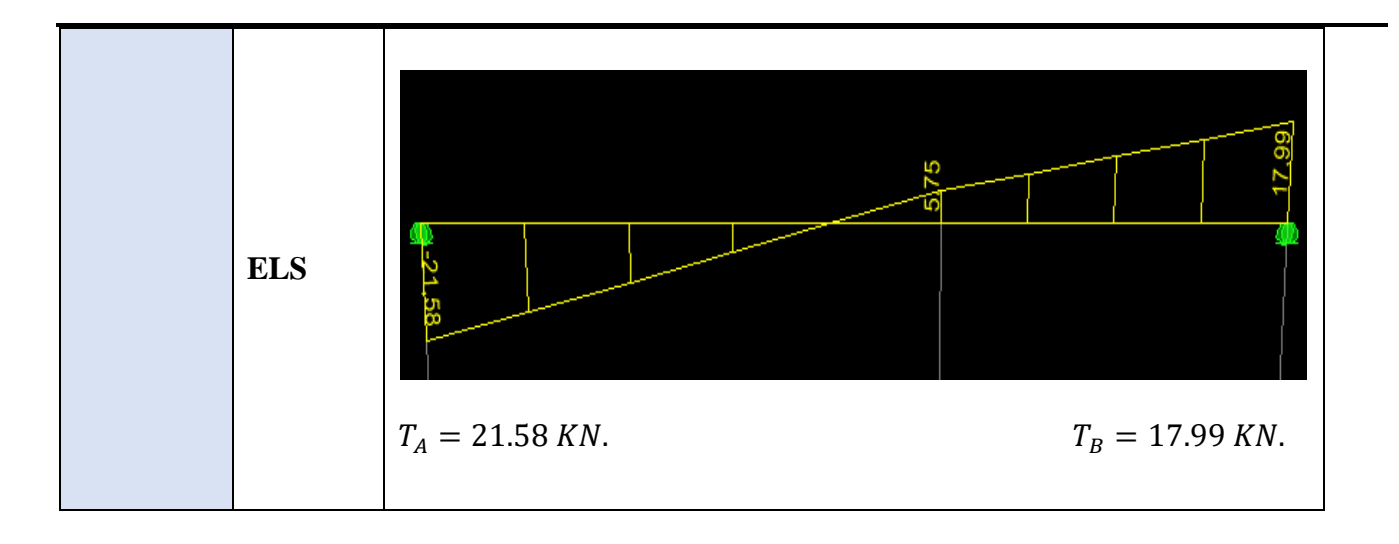


Tableau 3-10 : calcul des moments (paillasse 2 et 3)

Moments	ELU	ELS		
M_t (KN.m)	$0.8M_{etaps} = 0.8 * 28.35$	$0.8M_{etaps} = 0.8 * 20.45$		
-	= 22.68	= 16.36		
M_a (KN.m)	$0.4M_{etaps} = 0.4 * 28.35$	$0.4M_{etaps} = 0.4 * 20.45$		
•	= 11.34	= 8.18		

3.6.1.2 Ferraillage à ELU:

Le calcul se fera en flexion simple pour une bande de 1m de largeur.

✓ En travée :

$$M^t = 22.68 \, KN. \, m$$

$$M^a = 11.34 \, KN. m$$

e = 15 cm.

d = 15-2=13cm.

$$U_{bu} = \frac{M_{tu}}{bd^2 f_{bu}} = \frac{22680}{1 * 130^2 * 14.2} = 0.095$$

$$10^4 U_{tu} = 3440 \gamma + 49 f_{c28} - 3050$$

$$\gamma = \frac{Mt_u}{Mt_{sr}} = \frac{22.68}{16.36} = 1,39$$

$$U_{tu}=0.296$$

Donc:
$$U_{bu} = 0.095 < U_{tu} = 0.296 \dots A' = 0$$
.

$$Z_b = d(1 - 0.6U_{bu}) = 0.13(1 - 0.6 * 0.095) = 0.1226m = 12.26cm.$$

Chapitre III: Ferraillage des éléments secondaires

$$A_S = \frac{M_U}{Z_h f_{ed}} = \frac{0.02268}{0.1226 * 348} = 5,32cm^2.$$

On choisit : $5HA14 = 7.70cm^2$.

Armature de répartition :

$$A_r = \frac{A_s}{4} = \frac{7.70}{4} = 1,93$$
cm².

On adopte une section d'armature de 5HA10 = $3.93cm^2$. avec St = 20cm.

✓ En appuis :

$$M^a = 11.34 \, KN. m$$

$$U_{bu} = \frac{M_{au}}{bd^2 f_{bu}} = \frac{11340}{1 * 130^2 * 14.2} = 0.0472$$

$$10^4 U_{tu} = 3440 \gamma + 49 f_{c28} - 3050$$

$$\gamma = \frac{M_{au}}{M_{asr}} = 1.39$$

$$U_{tu} = 0.296$$

Donc:
$$U_{bu} = 0.0472 < U_{tu} = 0.296 \dots A' = 0$$

$$Z_b = d(1 - 0.6 * U_{bu} = 0.13(1 - 0.6 * 0.0472) = 0.1263 m = 12.63 cm.$$

$$A_s = \frac{M_u}{Z_h f_{ed}} = \frac{0.01134}{0.1263 * 348} = 2.58cm^2.$$

On choisit: $5HA14 = 7,70cm^2$.

Armature de répartition :

$$A_r = \frac{A_s}{A} = \frac{7.70}{A} = 1.925 cm^2.$$

On adopte: $5HA10=3.93cm^2$St = 20cm.

3.6.1.3 Vérification à l'ELU:

✓ Condition de non fragilité : (art A 4.2.1BAEL91R99).

$$A \le \frac{0.23bdf_{t28}}{f_e} = 0.23 * 1 * 0.13 * \frac{2.1}{400} = 1.57cm^2.$$

$$A < \begin{cases} A_t \\ A_s \end{cases}$$
 Condition vérifiée.

✓ Disposition des armatures : (art A8.2.4.2BAEL91R99).

Armatures longitudinales:

$$S_t \le (3h, 33cm) = 33cm.$$

Nous avant choisi St=20cm <33cmcondition vérifiée.

Armatures de répartition :

$$S_t \le (4h, 45cm) = 45cm.$$

Chapitre Ⅲ: Ferraillage des éléments secondaires

Nous avant choisi 20cm < 45cmcondition vérifiée.

✓ Vérification de l'effort tranchant : (art A5.1BAEL91R99).

$$T_{max} = 29.89 \text{ KN}.$$
 $\tau_u = \frac{T_u}{hd} = \frac{0.02989}{1 * 0.13} = 0.23 \text{ MPa}.$

Fissuration peu préjudiciable.

 $\overline{\tau}_u = \min(0.1333 f_{c28}; 5MPa) = 3.33MPa \ge \tau_u = 0.23MPa$ Condition vérifiée.

✓ Vérification de l'adhérence aux appuis : (art A6.1.3BAEL91R99).

$$\bigcup_s = 1.5 \ pour \ FeE400.$$

 $\overline{\tau}_{se} = 3.15 MPa.$

Il faut vérifier la condition : $\tau_{se} \leq \overline{\tau}_{se}$

$$\sum U_i = n\pi\emptyset = 5 * 3.14 * 14 = 219.8mm.$$

$$au_{se} = \frac{T_u}{0.9d * \Sigma U_i} = \frac{29890}{0.9 * 130 * 219.8} = 1.16 MPa.$$

 $\tau_{se} \leq \overline{\tau}_{se}$ Condition vérifiée.

3.6.1.4 Vérification à l'ELS:

✓ Contrainte de compression dans le béton :

d = 13cm, b = 1 m.

Tableau 3-11 : résultats de contrainte de compression dans le béton (paillasse 2 et 3)

Paillasse1et 3	Mser(KN.m)	$As(cm^2)$	$I(cm^4)$	Y(cm)	K(kg/cm ³	$\sigma_{bc}(\text{MPa})$	$\overline{\sigma}_{bc}(MPa)$
Appuis	8.81	7.70	1.14.10 ⁴	4.45	7.73	4.44 ≤	15 cv
Travée	16.36	7.70	1.14.104	4.45	14.35	6.38 ≤	15 cv

Fissuration peu préjudiciable

On doit vérifier la condition : $\sigma_{bc} \leq \overline{\sigma}_{bc}$

Contrainte maximale dans le béton comprimé $\sigma_{bc} = KY$

$$K = \frac{M_{ser}}{I} \qquad \begin{cases} I = \frac{by^3}{3} + 15[A_s(d-y)^2 + A_s'(y-d)^2] \\ Y = \frac{15(A_s + A_s'')}{b} \left[\sqrt{1 + \frac{b(dA_s + d'A_s'')}{7.5(A_s + A_s'')^2}} - 1 \right] \end{cases}$$

On doit vérifier la condition suivante :

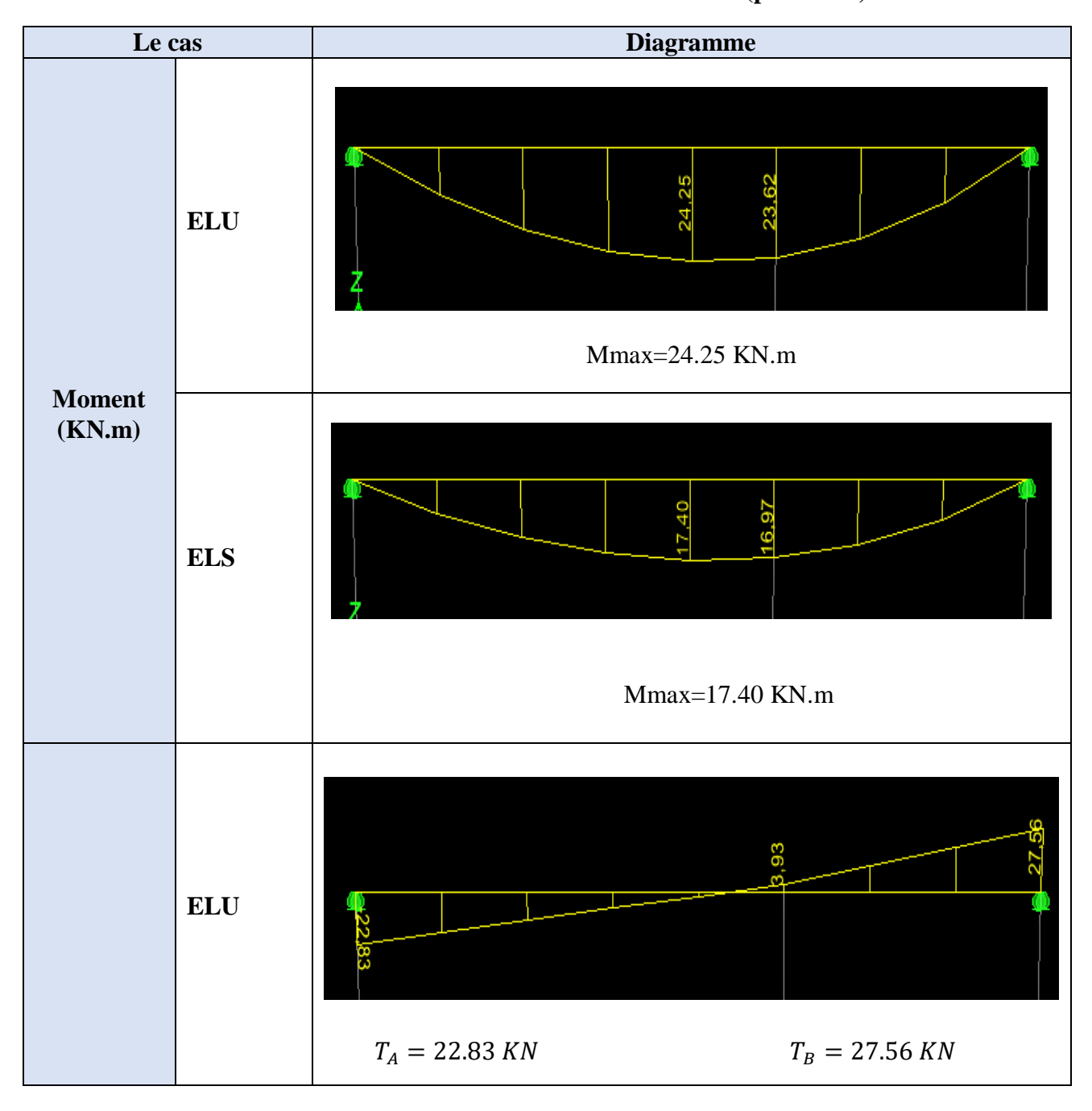
$$\sigma_{bc} < \overline{\sigma}_{bc}$$

$$\begin{cases} \sigma_{sa} = 15k(d-y) = 99.1 MPa \\ \sigma_{st} = 15k(d-y) = 184 \ MPa \end{cases} < \overline{\sigma}_s = 201.63 \ MPa \dots$$
 Condition vérifiée.

Chapitre Ⅲ: Ferraillage des éléments secondaires

3.6.2 Paillasse (1):

Tableau 3-12: moments et efforts tranchants (paillasse1)



Chapitre III: Ferraillage des éléments secondaires

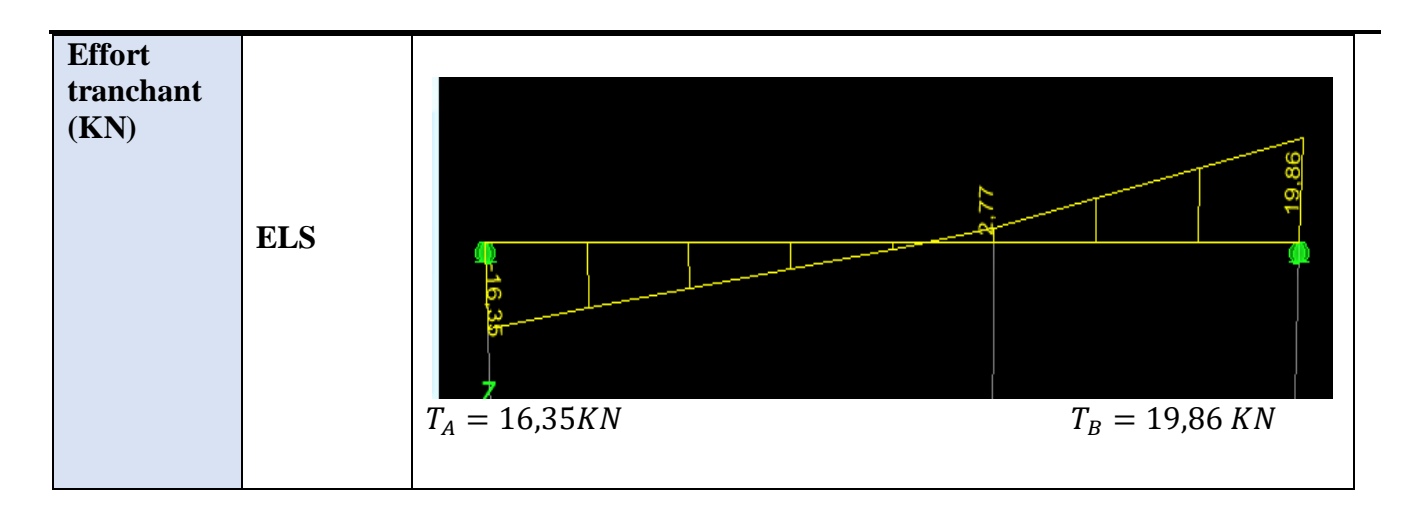


Tableau 3-13 : calcul des moments (paillasse 1)

	ELU	ELS
M_t (KN.m)	$0.8M_{etaps} = 0.8 * 24.25$ $= 19.40$	$0.8M_{etaps} = 0.8 * 17.40$ $= 13.92$
M _a (KN.m)	$0.4M_{etaps} = 0.4 * 24.25$ $= 9.70$	$0.4M_{etaps} = 0.4 * 17.40 = 6,96$

3.6.2.1 Ferraillage à l'ELU:

Le calcul se fera en flexion simple pour une bande de 1m de largeur.

✓ En travée :

$$M_t = 19.40 \ KN. m.$$

$$M_a = 9.70 \ KN. m.$$

e = 15 cm.

$$D = 15 - 2 = 13$$
 cm.

$$U_{bu} = \frac{M_{tu}}{bd^2 f_{bu}} = \frac{19400}{1 * 130^2 14.2} = 0.081$$

$$10^4 U_{tu} = 3440 \gamma + 49 f_{c28} - 3050$$

$$\gamma = \frac{M_{tu}}{M_{sr}} = \frac{19.40}{13.92} = 1.39$$

$$U_{tu}=0.296$$

Donc:
$$U_{bu} = 0.081 < U_{tu} = 0.296 \dots A' = 0.$$

$$Z_b = d(1 - 0.6U_{bu}) = 0.13(1 - 0.6 * 0.081) = 0.1237m = 12.37cm.$$

$$A_s = \frac{M_u}{Z_h f_{ed}} = \frac{0.0194}{0.1237 * 348} = 4.51 cm^2.$$

Chapitre Ⅲ: Ferraillage des éléments secondaires

On choisit : $5HA14 = 7.70cm^2$.

Armature de répartition :

$$A_r = \frac{A_s}{4} = \frac{7.70}{4} = 1.93cm^2.$$

On a adopté une section d'armature de $5HA10 = 3.93cm^2$ avec St = 20 cm.

✓ En appuis :

$$M_a = 9.70 \ KN. m.$$

$$U_{bu} = \frac{M_{au}}{bd^2f_{bu}} = \frac{9700}{1*130^2*14.2} = 0.0404.$$

$$10^4 U_{tu} = 3440\gamma + 49f_{c28} - 3050.$$

$$\gamma = \frac{M_{au}}{M_{asr}} = \frac{19.40}{13.92} = 1.39.$$

$$U_{tu} = 0.296.$$

Donc:
$$U_{bu} = 0.0404 < U_{tu} = 0.296 \dots A' = 0.$$

$$Z_b = d(1 - 0.6 * U_{bu} = 0.13(1 - 0.6 * 0.0404) = 0.1268m = 12.68cm.$$

$$A_S = \frac{M_{au}}{Z_b f_{ed}} = \frac{0.00970}{0.1268*348} = 2.2 cm^2.$$

On choisit : $5HA14 = 7.70cm^2$.

Armature de répartition :

$$A_r = \frac{A_s}{4} = \frac{7.70}{4} = 1.925 cm^2.$$

On choisit : $5HA10 = 3.93cm^2$ avec St = 20 cm.

3.6.2.2 Vérification à l'ELU:

✓ Condition de non fragilité (art A 4.2.1BAEL91R99).

$$A \le \frac{0.23bdf_{c28}}{f_e} = \frac{0.23 * 1 * 0.13 * 2.1}{400} = 1.57cm^2.$$

$$A < \begin{cases} A_t \\ A_s \end{cases}$$
condition vérifiée.

✓ Disposition des armatures (art A 8.2.4.2BAEL 91R99).

Armatures longitudinales:

$$S_t \le (3h, 33cm) = 33cm.$$

Nous avant choisi $S_t \leq 33cm$ Condition vérifiée.

Armatures de répartition :

$$S_t \le (4h, 45cm) = 45cm.$$

Chapitre Ⅲ: Ferraillage des éléments secondaires

Nous avant choisi $S_t = 20cm < 45cm$condition vérifiée.

✓ Vérification de l'effort tranchant (art A 5.1BAEL91R99).

 $T_{max} = 27.56KN.$

$$\tau_u = \frac{T_u}{bd} = \frac{0.02756}{1 * 0.13} = 0.212 \text{ MPa}.$$

Fissuration peu préjudiciable.

 $\overline{\tau}_u = \min(0.1333 f_{c28}, 5MPa) = 3.33MPa \ge \tau_u = 0.212MPa$condition vérifiée.

3.6.2.3 Vérification à l'ELS:

✓ Contrainte de compression dans le béton :

d=13cm, b=1m.

Tableau 3-14 : résultats de contrainte dans le béton (paillasse1)

Paillasse 2	Mser(KN.m)	As(cm ²)	$I(cm^4)$	Y(cm)	$K(kg/cm^3)$	$\sigma_{bc}(\mathrm{Mpa})$	$\overline{\sigma}_{bc}(MPa)$
Appuis	6.96	7.70	1.14.104	4.45	6.11	$2.72 \leq 1$	5cv
travée	13.92	7.70	1.14.104	4.45	12.21	5.43 \le 1	5cv

Fissuration peu préjudiciable.

On doit vérifier la condition : $\sigma_{bc} \leq \overline{\sigma}_{bc}$.

Contrainte maximale dans le béton comprimé $\sigma_{bc} = KY$.

$$K = \frac{M_{ser}}{I} \begin{cases} I = \frac{by^3}{3} + 15[A_s(d-y)^2 + A_s'(y-d)^2] \\ y = \frac{15(A_s + A_s'')}{b} \sqrt{1 + \frac{b(dA_s + d'A_s'')}{7.5(A_s + A_s'')^2}} - 1 \end{cases}$$

On doit vérifier la condition suivante :

 $\sigma_s \leq \overline{\sigma}_s$

$$\begin{cases} \sigma_{sa} = 15k(d-y) = 78.36MPa \\ \sigma_{st} = 15k(d-y) = 156.59MPa \end{cases} < \overline{\sigma}_s = 201.63 MPa$$

✓ Schéma de ferraillage :

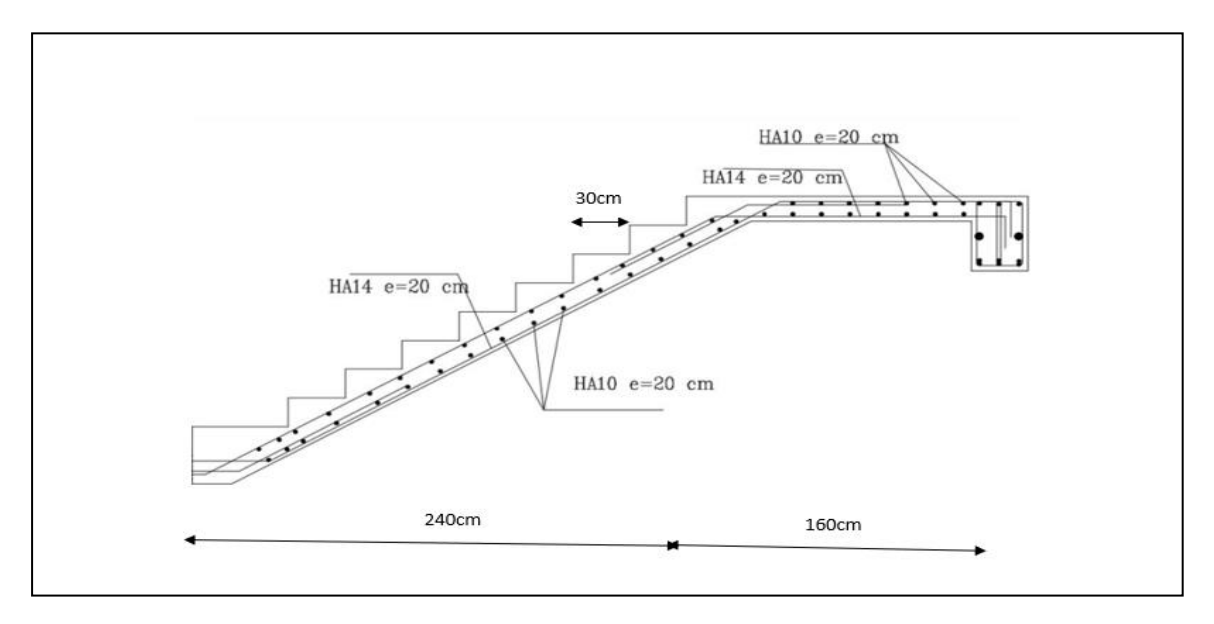


Figure 3-15 : Schéma ferraillage de l'escalier (paillasse2 et 3)

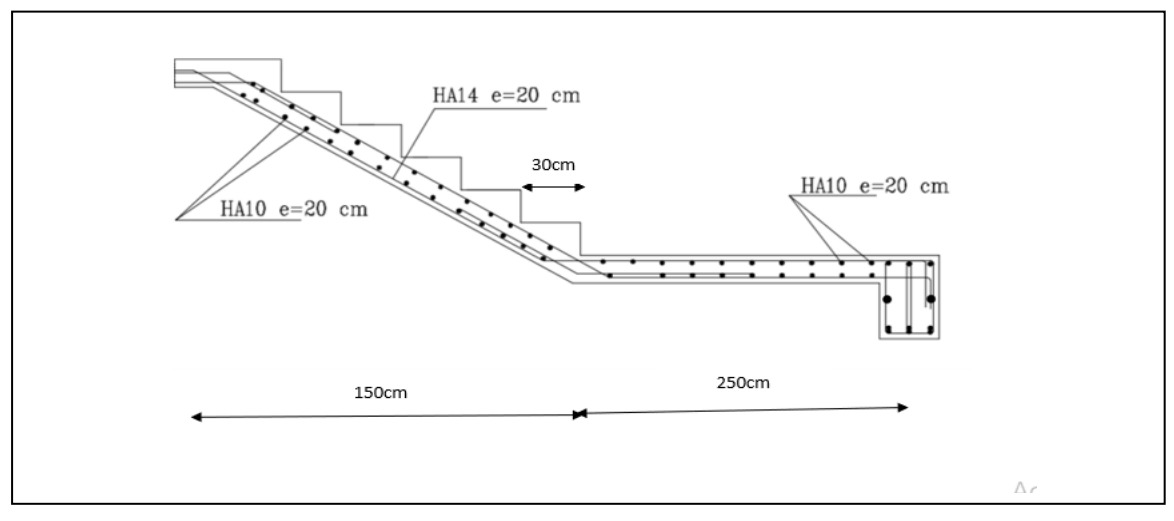


Figure 3-16 : Schéma ferraillage de l'escalier (paillasse1)

3.6.3 Étude de poutre palière :

3.6.3.1 Pré- dimensionnement :

Tableau 3-15 : prédimensionnement de la poutre palière

/	BAEL91R99	RPA99VERSION2003	
Hauteur (h)	L_{max} L_{max}	$b \ge 20$ cmcv	
	$\frac{L_{max}}{15} \le h \le \frac{L_{max}}{10}$	$h \ge 30 \text{cm} \dots \text{cv}$	
	Avec $Lmax = 500$ cm.	$h/b \le 4$	h = 40 cm
	500 500	$50/35 = 1.428 < 4 \dots cv$	
	$\frac{500}{15} \le h \le \frac{500}{10}$		
	$33.33 \le h \le 50$		
Largeur (b)	$0.3h \le b \le 0.7h$		b = 30 cm
	$15 \le b \le 35$		

Chapitre III: Ferraillage des éléments secondaires

3.6.3.2 Ferraillage de poutre palière :

La poutre de palière est placée à l'extrémité de palier, son rôle à prendre les charges suivantes :

Tableau 3-16 : calcul des charges supportées par la poutre palière.

Elément	Charges (KN/ml)
Poids propre de la poutre palier	$G = b*h*\rho = 0.3*0.4*25 = 3$
Paillasse	G = 8.89.
Poids de mur	G = 5*1 = 5
Palier	G = 5.15

$$G_T = 22.04 \, KN/ml$$

$$Q_T = 5 KN/ml$$
.

✓ Combinaison des charges :

Elu: $Q_u = 1.35G_T + 1.5Q_T = 1.35 * 22.04 + 1.5 * 5 = 37.25 KN/ml$.

Els:
$$Q_S = G_T + Q_T = 22.04 + 5 = 27.04 \, KN/ml$$
.

✓ Calcul à l'ELU:

- Calcul des moments :

Moment statique maximal:

$$M_{0u} = \frac{Q_u l^2}{8} = \frac{37.25 * 2,76^2}{8} = 35.47 \, KN/ml$$

$$M_{0s} = \frac{Q_s l^2}{8} = \frac{27.04 * 2.76^2}{8} = 25.75 KN/ml$$

En travée:

$$M_{tu} = 0.8 * M_{0u} = 0.8 * 35.47 = 28.37 KN/ml$$

En appui:

$$M_{au} = 0.4 M_{0u} = 0.4 * 36.36 = 14.18 KN/ml$$

- Ferraillage au niveau de la travée :

$$U_{bu} = \frac{M_{tu}}{bd^2 f_{bu}} = \frac{28.37 * 10^{-3}}{1 * 0.36^2 * 14.2} = 0.0154.$$

$$10^4 U_{tu} = 3440 \gamma + 49 f_{c28} - 3050.$$

$$\gamma = \frac{M_{0u}}{M_{0s}} = \frac{35.47}{25.75} = 1.37.$$

$$U_{tu} = 0.288.$$

$$U_{tu} > U_{bu}$$
 ...condition vérifiéeA'=0.

Chapitre Ⅲ: Ferraillage des éléments secondaires

$$\overline{Z_b} = d(1 - 0.6U_{bu}) = 0.36(1 - 0.6 * 0.0154) = 0.3566 \, m.$$

$$A_s = \frac{M_{tu}}{Z_h * f_{ed}} = \frac{0.02837}{0.3566 * 348} = 2.28cm^2.$$

On adopte : $3HA12 = 3.39 \ cm^2$.

St=20 cm.

- Ferraillage au niveau d'appui :

$$U_{bu} = \frac{M_{au}}{bd^2 f_{bu}} = \frac{0.01418}{1 * 0.36^2 * 14.2} = 0.0044.$$

$$U_{bu} = 0.0044 \le U_{tu} = 0.288.\dots$$
A'=0 condition vérifiée.

$$Z_b = d(1 - 0.6 * U_{bu}) = 0.48(1 - 0.6 * 0.0044) = 0.771m.$$

$$A_s = \frac{M_{au}}{Z_h f_{ed}} = \frac{0.01418}{0.771 * 348} = 0.53 cm^2.$$

On adopte: $3HA12 = 3.39 \ cm^2$. St=20cm.

✓ Vérification à l'ELU :

✓ Condition de non fragilité :(art A 4.2.1BAEL91R99).

$$A_{min} = 0.23bd\left(\frac{f_{t28}}{f_e}\right) = 2.02cm^2.$$

$$A_{min} \leq \begin{cases} A_t \\ A_a \end{cases}$$
condition vérifiée.

✓ Vérification de la disposition des armatures :(art A 8.2.4.2BAEL91R99).

Armatures longitudinales :

$$S_t \leq \min(3h\,,33cm) = 33cm.$$

Armatures de répartitions :

$$S_t \le (4h, 45cm) = 45cm.$$

$$S_t = 20cm < 45cm$$
.condition vérifiée.

✓ Vérification de l'effort tranchant :(art A 5.1BAEL91R99) .

$$T_u = \frac{q_u l}{2} = \frac{35.47 * 2.76}{2} = 48.95 MPa.$$

$$\tau_u = \frac{\tau_u}{hd} = \frac{0.04895}{1*0.36} = 0.13 MPa \le \overline{\tau}_u = 3.33 MPa$$
..... condition vérifiée.

✓ Vérification de la contrainte d'adhérence :(art A 6.1.3BAEL91).

$$\tau_{se} = \frac{T_u}{0.9*a^* \sum U_i} = \frac{48950}{0.9*360*113.04} = 1.33 MPa.$$

$$\sum U_i = n\pi\emptyset = 3 * 3.14 * 12 = 113.04 mm.$$

Chapitre Ⅲ: Ferraillage des éléments secondaires

 $\tau_{se} = 1.33MPa \le \overline{\tau}_{se} = 3.15MPa$ condition vérifiée.

Schéma de Ferraillage de la poutre palière :

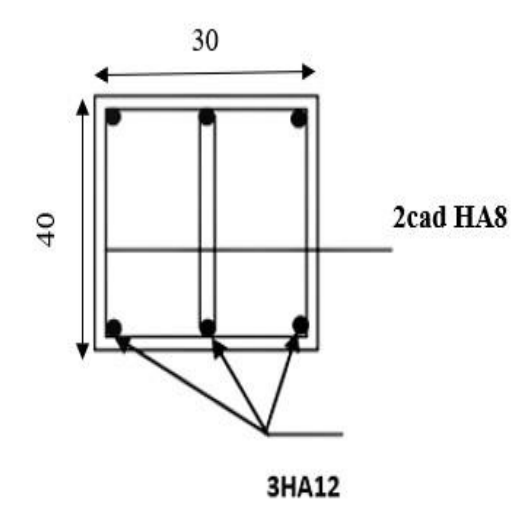
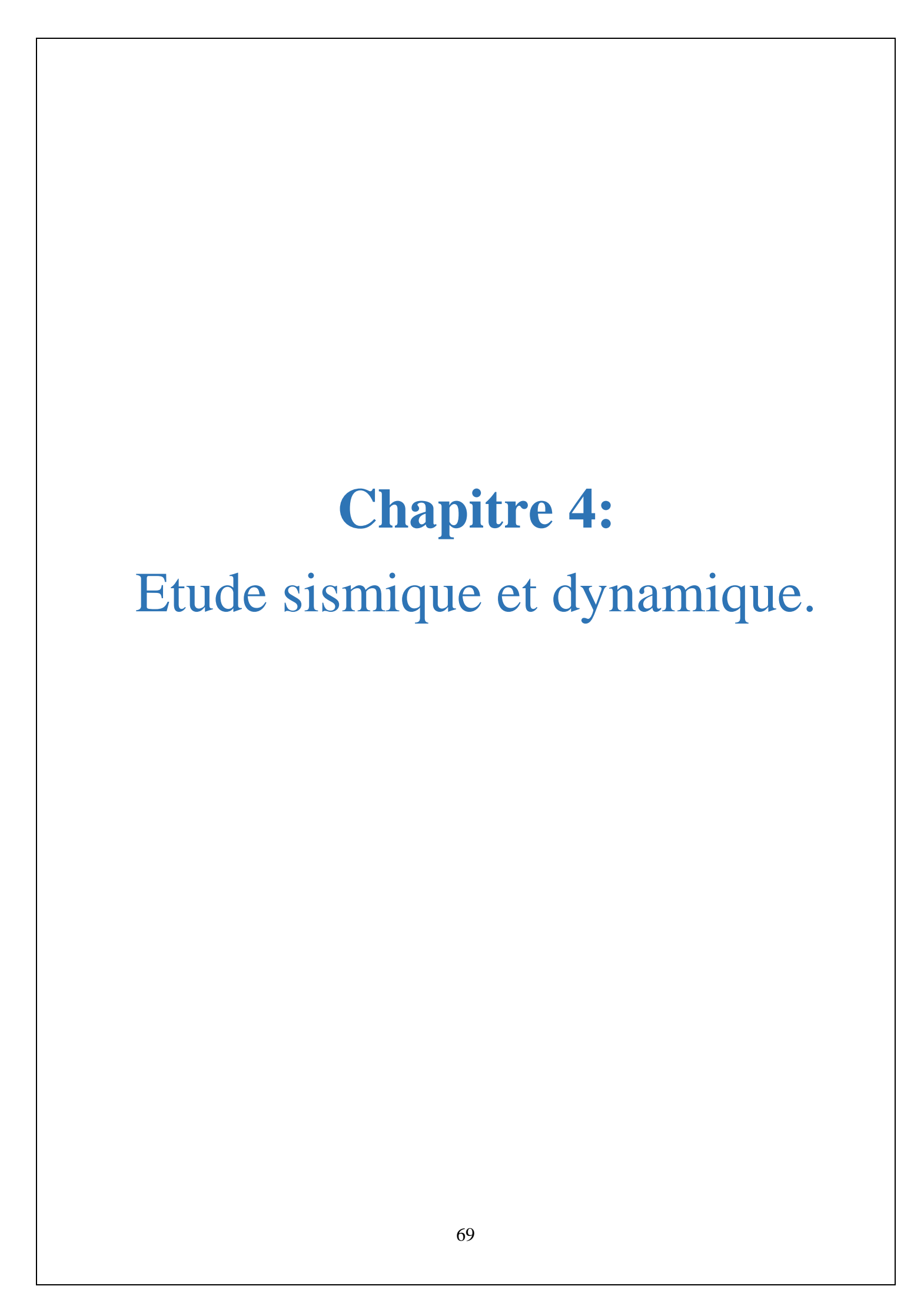


Figure 3-17 : Schéma de Ferraillage de la poutre palière :

3.7 Conclusion:

Dans ce chapitre, nous adoptons le renforcement des différents éléments secondaires de la structure selon les différents calculs et vérification que nous avons effectués.



4 Introduction:

Les tremblements de terre peuvent provoquer des dommages matériels et corporels importants.

Compte tenu de ce risque et de cette imprévisibilité, la seule mesure préventive est peut-être la construction sismique.

La meilleure façon d'aborder la conception sismique est d'élaborer critères de conception économiquement justifier et techniquement cohérents.

Par conséquent, les études dynamiques sont essentielles pour minimiser les dommages aux éléments structurels et prévenir l'effondrement de la structure.

4.1 Étude dynamique

4.1.1 Objectif de l'étude dynamique :

Le premier objectif d'une étude dynamique d'une structure est de déterminer ses propries propriétés dynamiques.

Cela permet de connaître le comportement de la structure par rapport à l'excitation sismique afin de calculer les forces et déplacements maximaux lors d'un séisme.

L'étude dynamique de structures réellement visibles est souvent très complexe et nécessite des calculs très fastidieux.

Pour cette raison, nous utilisons souvent la modélisation, qui permet de simplifier suffisamment le problème pour l'analyser.

4.1.2 La modélisation de la structure étudier :

Étant donné la difficulté et la complexité d'un calcul manuel des efforts internes (moments, efforts normaux) dans les éléments structuraux, les calculs sont faits en utilisant le logiciel ETABS.

La modélisation est la recherche de mécanismes simplifies et aussi proches que possible du comportement réel de la structure, prenant en compte le plus précisément possible les masses et les raideurs de tous les éléments de la structure.

Il y a 11 niveaux intégrés dans la base du modèle (entre-sol c'est le niveau commercial et 10 niveau résidentiels).

Le modèle comprend des colonnes, des poutres, des voiles, étages et d'autres éléments introduits comme des charges.

4.1.3 Description du logiciel ETABS :

Nom du logical: Extended 3D Analyses of Building Systems.

ETABS est un logiciel de calcul conçu exclusivement pour le calcul des bâtiments, le vous permet de modéliser facilement et rapidement tout type de bâtiment.

Fournit de nombreuses options d'analyse statique et dynamique.

Ce logiciel permet non seulement la prise en compte des propriétés non linéaires des matériaux, mais également le calcul et le dimensionnement des éléments de structure conformément applicables dans le monde entier.

Outre sa spécificité pour les calculs de bâtiments, ETABS offre certains avantages par rapport aux codes de calcul plus largement utilises.

En effet, ces différentes fonctions permettent une réduction automatique et rapide des charges, un calcul automatique du centre de gravité de masse et de raideur, et une prise en compte implicite d'éventuelles excentricités accidentelles, ce logiciel utilise une terminologie propre au domaine de la construction (planchers, plafonds, linteaux, etc.) ETABS permet également le transfert de données avec d'autres logiciels (AUTOCAD, SAP2000).

4.1.4 Les étapes de modélisation :

- Sélection de l'unité KN/m.
- Définir les matériaux et les sections transversales des éléments structurels.
- Modéliser divers éléments de construction. (Dalles, murs, poutres, colonnes).
- Ajouter des charges a la structure.
- Définir le spectre de réponse approprie (spectre RPA).
- Définir les cas de charge et les combinaisons de charges.
- Commencez à exécuter le problème et analysez les résultats.

4.1.5 Présentation de la vue en 3D :

La modélisation de notre structure à partir de logiciel ETABS, la vue en 3D suivante :

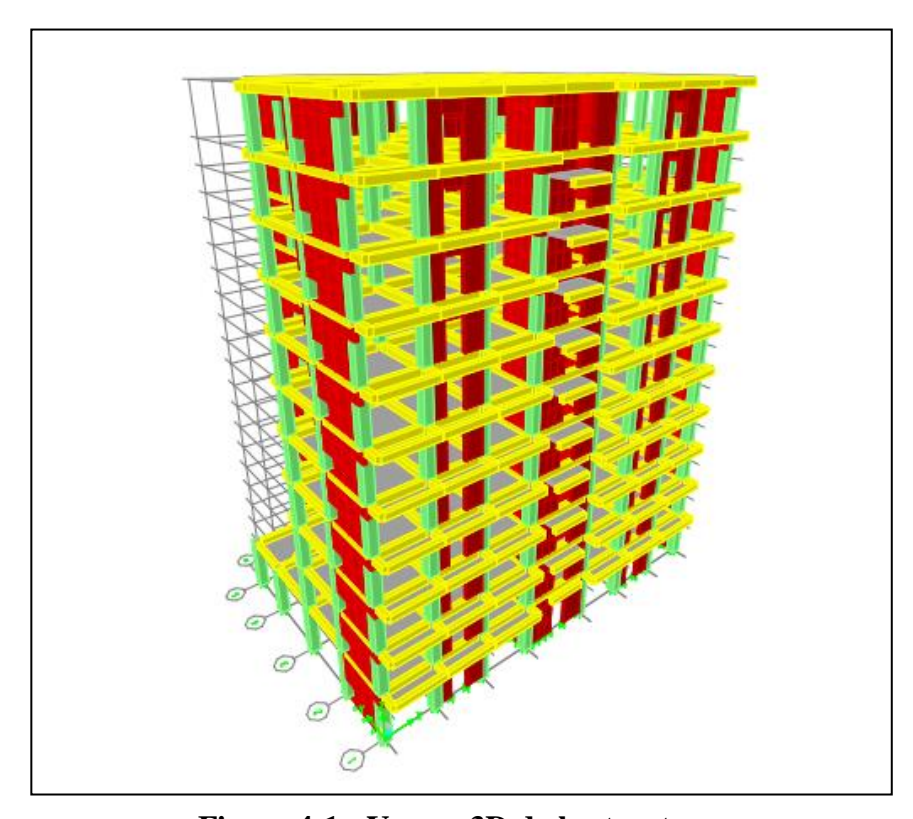


Figure 4-1 : Vue en 3D da la structure.

4.1.6 Présentation de la vue en plan :

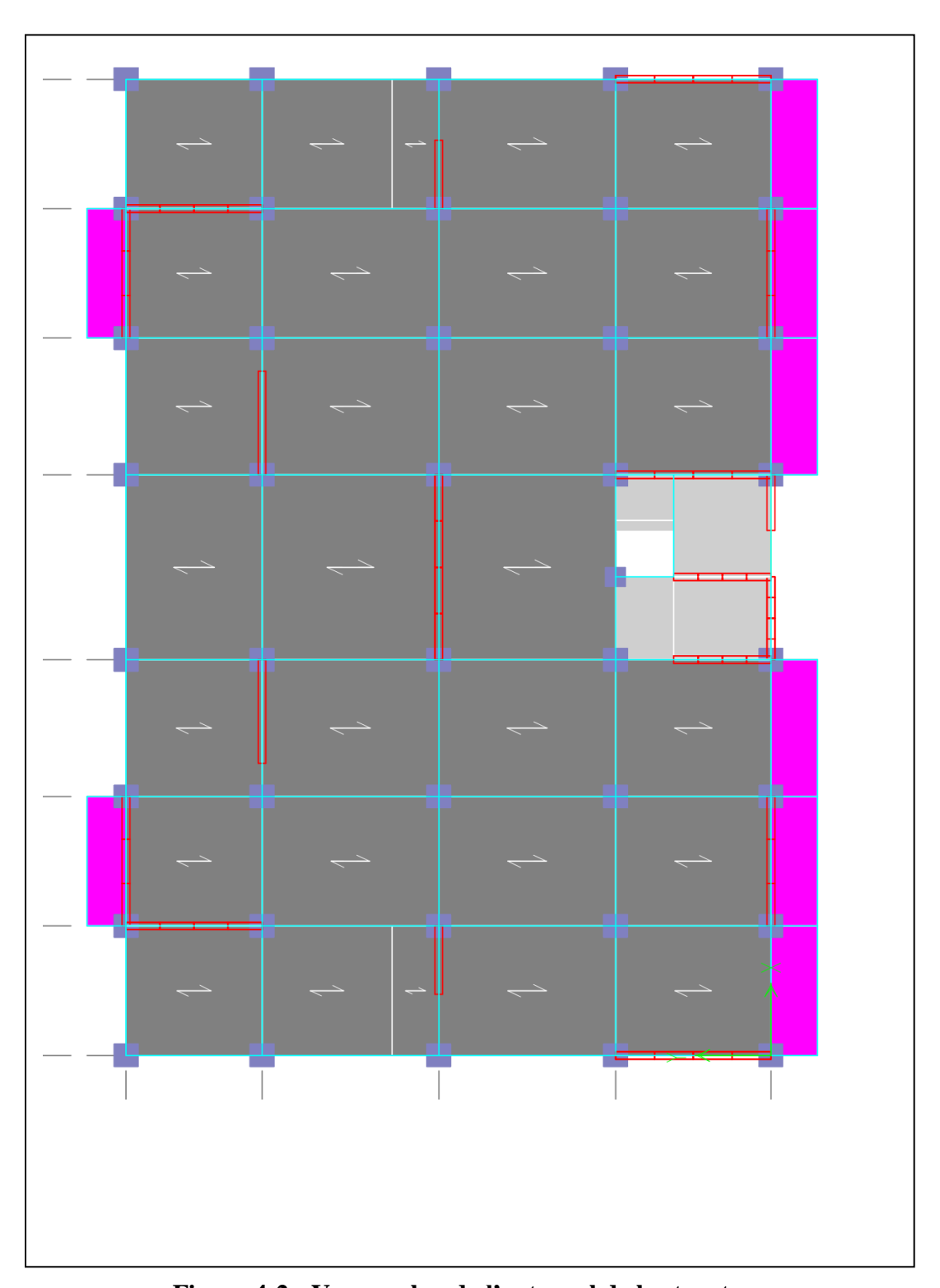


Figure 4-2 : Vue en plan de l'entre sol de la structure

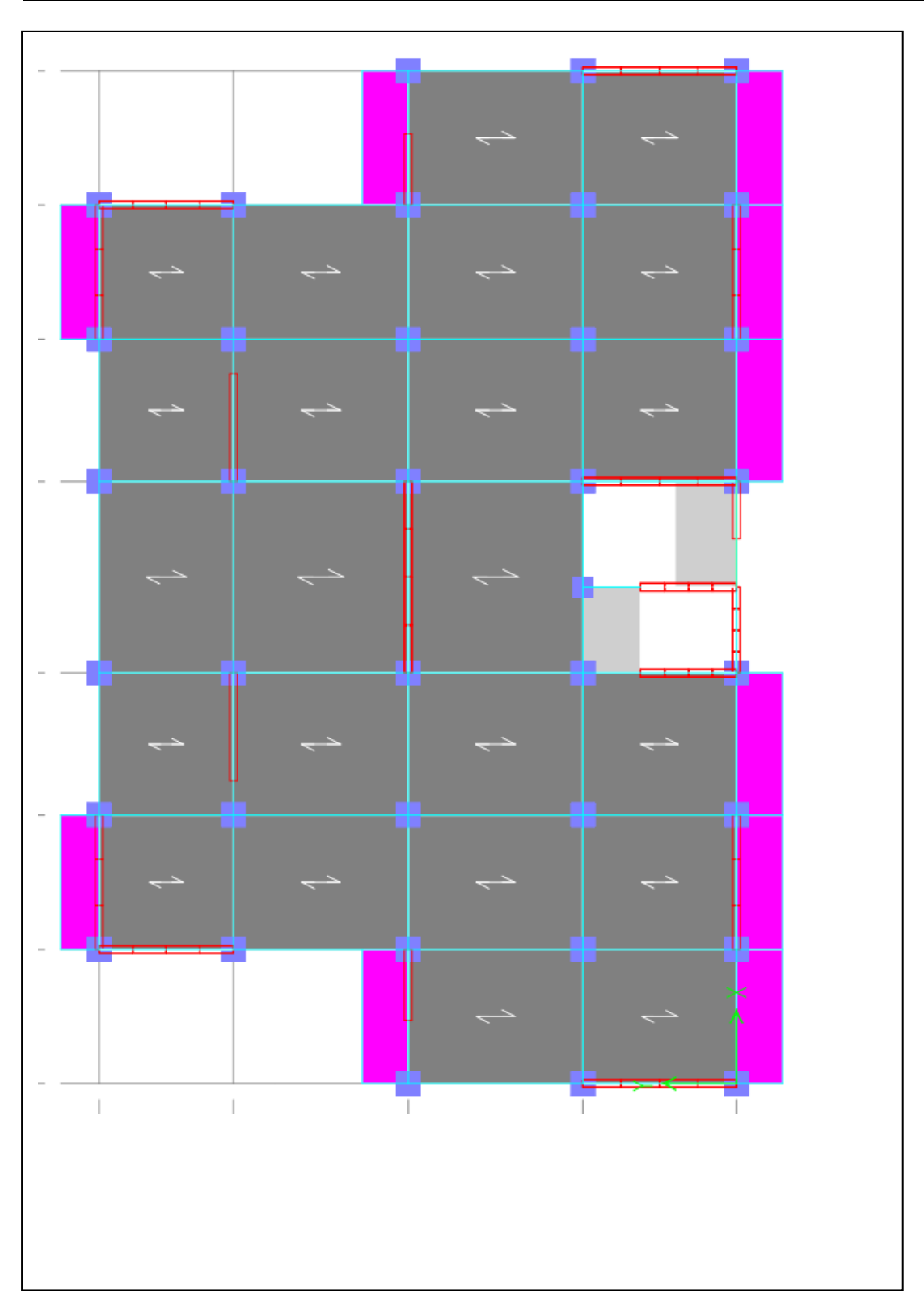


Figure 4-3 : Vue en plan de RDC et des 9 étages de la structure.

4.1.7 Choix de la disposition des voiles :

Le plan architectural a été pris en compte en prévoyant un nombre minimum de voiles dans chaque direction pour sélectionner l'emplacement initial des voiles dans le bâtiment.

L'image suivante montre l'emplacement du voile sélectionné.

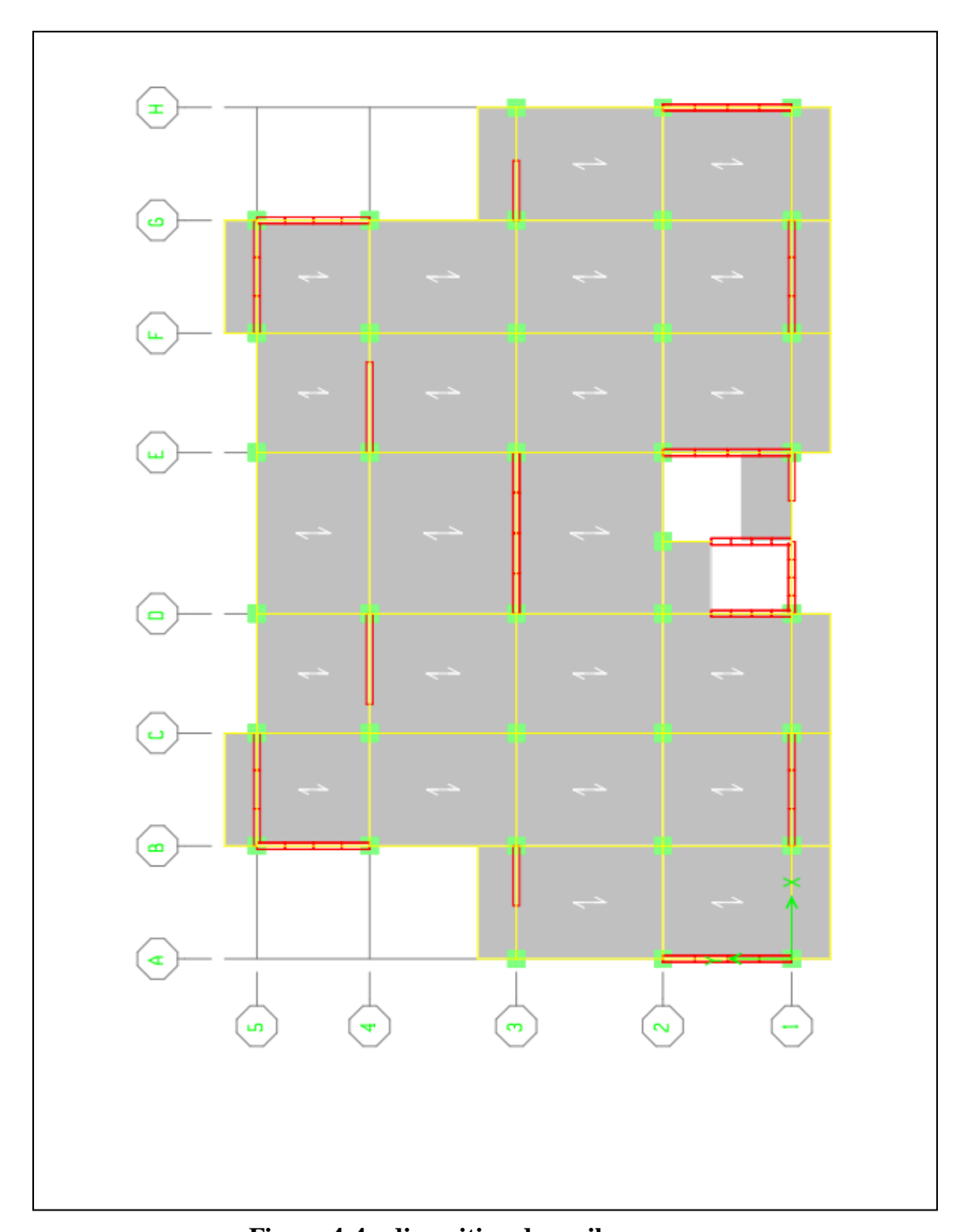


Figure 4-4: disposition des voiles x-x, y-y.

4.1.8 Caractéristique géométriques et massique de la structure :

- Centre de masse :

La détermination de centre de masse est basée sur le calcul des centres de masse de chaque élément de la structure

Les cordonnes du centre de masse sont données par :

$$X_G = \frac{\Sigma M_i X_i}{\Sigma M_i}$$
 et $Y_G = \frac{\Sigma M_i Y_i}{\Sigma M_i}$

Avec:

 M_i : la masse de le elemet (i). Y_{GI} , X_{GI} : cordonnees d'un element (i).

- Centre de rigidité (torsion) :

Le centre de torsion est le point par lequel passe la résultante des réactions des voiles, des poteaux, en générale deux cas se présentent :

- Si le centre de gravité (masse) et le centre de torsion sont identiques, les forces horizontales (séismes, vent, etc.) provoqueront uniquement une translation dans la structure.
- Si par contre le centre de masse est excentré par rapport au centre de torsion, la structure subi une translation et une rotation en même temps.

Dans le cas où l'on procède à une analyse tridimensionnelle, en plus de l'excentricité théorique calculée, une excentricité accidentelle égale à (±0,05 L) doit être appliquée au niveau du plancher considéré, suivant chaque direction. (L étant la dimension du plancher perpendiculaire à la direction de l'action sismique.)

• Caractéristiques massiques :

Tableau 4-1 : masse, centre de masse et centre de rigidité de chaque étage.

Plancher	La mas	se (kg)		e de masse Centre de (m) (n			L'excent	ricité (m)
	MasseX	MasseY	XCCM	YCCM	XCR	YCR	ex	ey
ENTRE	615.119	615.119	13,196	7,649	13,617	8,314	-0,421	-0,665
SOL								
RDC	541.4421	541.4421	13,209	7,229	13,804	8,278	-0,595	-1.049
ET1	533.3682	533.3682	13,209	7,221	13,907	8,15	-0,698	-0,929
ET2	526.3631	526.3631	13,209	7,214	13,966	7,954	-0,757	-0,74
ET3	518.9914	518.9914	13,209	7,207	14	7,725	-0.791	-0,518
ET4	512.6884	512.6884	13,210	7,2	14,018	7,488	-0,808	-0,288
ET5	506.0187	506.0187	13,210	7,193	14,027	7,256	-0,817	-0,063
ET6	500.4177	500.4177	13,210	7,186	14,031	7,041	-0,821	0.145
ET8	494.4501	494.4501	13,210	7,179	14,032	6,850	-0,822	0,329
ET9	485.7255	485.7255	13,198	7,211	14,032	6,693	-0,834	0,518
TERRASSE	496.9813	496.9813	13,150	6,951	14,032	6,591	-0,882	0,360

- L'excentricité accidentelle : RPA99 version 2003 (ART4.2.7)

$$e_{acc} = \max\{5\% LX, 5\% LY\}$$

Donc :
$$e_x = 0.05 \times 26.4 = 1.32m$$
, $e_y = 0.05 \times 16.6 = 0.83 m$

4.2 Étude sismique de bâtiment :

4.2.1 Choix de la méthode de calcul:

Peur être mené suivant trois méthodes :

- La méthode statique équivalente.
- La méthode d'analyse modale spectrale.
- La méthode d'analyse dynamique par accélérogramme.

4.2.2 La méthode statique équivalente :

$$V = \frac{A \times D \times Q}{R} \times W$$

Avec:

A : coefficient d'accélération de zone

D: facteur d'amplification dynamique moyen

Q : facteur de qualité

R : coefficient de comportement

W : poids total du bâtiment $w = W_{GI} + \beta W_O$

 β : Coefficient de pondération fonction de la nature et de la durée de la charge d'exploitation.

on
$$a : \beta = 0.2$$
.

La méthode statique équivalente peut être appliquée dans les conditions suivantes :

1-le bâtiment ou l'ilot étudie remplit les conditions de régularité de plan et de hauteur, et dans les zones I et II la hauteur ne dépasse pas 65m et dans la zone III -30m.

2-le bâtiment ou l'ilot considère présente, outre les conditions de hauteur ci-dessus, une configuration irrégulière par rapport aux condition supplémentaires suivantes :

Zone 1: tous les groupes.

Zone 2 : le groupe d'usage 3, le groupe d'usage 2 si la hauteur est inférieure ou égale à 7 niveaux ou 23m. le groupe d'usage 1B, si la hauteur est inférieure ou égale à 5 niveaux ou 17m. groupe d'usage 1A, si la hauteur est inférieure ou égale à 3 niveaux ou 10 m.

Zone 3 : groupes d'usage 3 et 2, si hauteur est inférieure ou égale à 5niveaux ou 17m. groupe d usage 1B, si la hauteur est inférieure ou égale à 3 niveaux ou 10 m. groupe d'usage 1A, si la hauteur est inférieure ou égale à 2 niveaux ou 8m.

4.2.3 La méthode d'analyse modale spectrale :

Le principe de cette méthode consiste à déterminer les valeurs maximales des modes propres des vibrations de la structure et de l'influence générée par l'activité sismique, ces dernières étant représentées dans le spectre calcule.

La forme modale dépend de la masse et de la rigidité structurelle.

L'action sismique est représentée par le spectre de calcul suivant :

$$\frac{S_a}{g} \begin{cases} 1,25 \left[1 + \frac{T}{T1} \left(2,5\eta, \frac{Q}{R} - 1 \right) \right] & \rightarrow 0 \le T \le T_1 \\ 2,5\eta(1,25A) \times \left[\frac{Q}{R} \right] & \rightarrow T_1 \le T \le T_2 \\ 2,5\eta(1,25A) \times \left[\frac{Q}{R} \right] \times \left[\frac{T_2}{T} \right]^{\frac{2}{3}} & \rightarrow T_2 \le T \le 3S \\ 2,5\eta(1,25A) \times \left[\frac{T_2}{3} \right]^{\frac{2}{3}} \times \left[\frac{3}{T} \right]^{\frac{5}{3}} & \rightarrow T > 3S \end{cases}$$

g : accélération de la pesanteur.

A : coefficient d'accélération de zone.

On a Zone 3, groupe d'usage 2 donc A =0,25 (**RPA99V2003TABLEAU4.1**)

η: facteur de correction d'amortissement:

$$\eta = \sqrt{\frac{7}{(2+\xi)}} \ge 0.7 \rightarrow \eta = 0.764 \ge 0.7$$

 ξ : (**RPA99V2003tableau4.2**) $\xi = 10\%$

 T_1, T_2 : periodes caracteristiques associees a la categorie de site .

(**RPA99V2003 Tableau4.7**) On a:
$$T_1 = 0.15 \text{ sec}$$
, $T_2 = 0.50 \text{ sec}$

R : coefficient de comportement de la structure

On suppose R= 5 on pend la vraie valeur après calcul.

D : Facteur d'amplification dynamique moyen.

$$D = \begin{cases} 2.5\eta & \rightarrow 0 \le T \le T_2 \\ 2.5\eta \left(\frac{T_2}{T}\right)^{\frac{2}{3}} & \rightarrow T_1 \le T \le 3s \\ 2.5\eta \left(\frac{T_2}{3}\right)^{\frac{2}{3}} \times \left(\frac{3}{T}\right)^{\frac{5}{3}} & \rightarrow T \ge 3s \end{cases}$$

Q : facteur de qualité.

$$Q = 1 + \sum p_q$$
 (Art 4.4 RPA2003).

 p_q Est la pénalité à retenir selon que le critère de qualité q est satisfait ou non

Les critères de qualité q à vérifier sont :

Tableau 4-2 : facteur de qualité.

Critère q	p_{qx}	p_{qy}
1.conditions minimales sur les files	0	0,05
contreventement.		
2.redondance en plan.	0	0
3.regularite en plan	0,05	0,05
4.regularite en élévation.	0,05	0,05
5.controle de la qualité des matériaux.	0,05	0,05
6.controle de la qualité de l'exécution.	0,1	0,1
$q_x = 1 + 0.25 = 1.25$ $q_y = 1 + 0.30 = 1.30$		

> Justification du système de contreventement :

Pour justifier un contreventement mixite, les voiles doivent rependre au plus de 20% des contraintes dues aux charges verticales.

Les charges horizontales sont reprises conjointement par les voiles et les portiques proportionnellement à leurs rigidités relatives ainsi que la sollicitation résultante de leur interaction a tous les niveaux.

Les portiques doivent absorber les forces de cisaillement dues aux charges verticales au moins 25% de l'effort tranchant d'étage.

- Charge horizontale :

Tableau 4-3: pourcentage de la sollicitation due aux charges horizontales.

Cas	Charges totale (KN)	Charge repris (KN)		Pourcentage%	
		voile	portique	voile	portique
Vx	5581.54	5301.70	279.84	100	5.014
Vy	1135.11	1135.11	0	100	0

- Charge verticale:

Tableau 4-4: pourcentage de la sollicitation due aux charges verticales.

Cas	Charges totale (KN)	Charge repris (KN)		Pourcentage%	
		Voile	portique	voile	portique
Vz	67388.50	49369.78	18018.72	73.26	26.74

Observation:

Les résultats montrent que les voiles absorbent la force verticale de plus de 20% (selon RPA99V2003)

Cela signifie que la fixation de la structure n'est garantie que par des voiles ou voiles et portiques.

Dans ce dernier cas, les voiles absorbent plus de 20 charges verticales.

En supposant que les charges horizontales soient absorbées uniquement par les voiles.

Le coefficient de comportement est égal à : R=3,5.

L'amortissement réduit $\zeta = 10\%$

> Spectre de réponse :

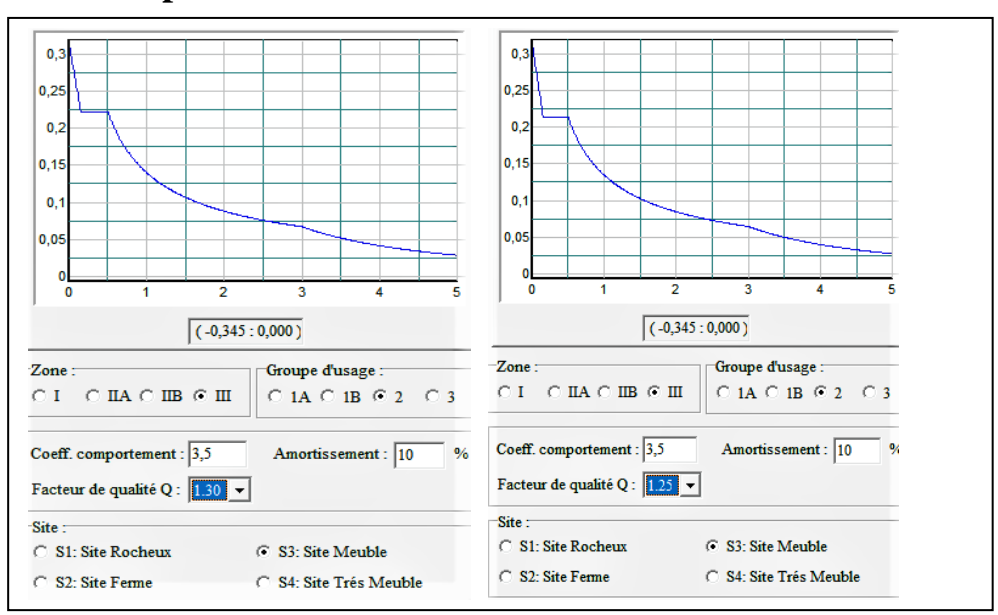


Figure 4-5 : présentation du spectre de réponse selon x et y.

> Nombre de modes à considérer : RPA99 version 2003 (art 4.3.4)

Pour une structure représentée par un modèle planaire dans deux directions orthogonales, le nombre de modes vibrationnels retenus dans chacune des deux directions d'excitation doit être :

- La somme des masses modales effectives pour les modes retenus soit égale à 90% au moins de la masse totale de la structure.
- Alternativement, tous les modes avec des masses modales effectives supérieures à 5% de la masse totale de la structure sont retenus pour déterminer la réponse globale de la structure.
- Le minimum de modes à retenir est de 03 dans chaque direction considérée.

Si les conditions ci-dessus ne sont pas remplies en raison d'effets significatifs des modes de torsion, le nombre minimum de modes k doit être :

$$K \ge 3\sqrt{N}$$
 et $T_K \le 0.2sec$ (article 4.14 RPA. 2003).

N : le nombre de niveaux au-dessus du sol

 T_k : la periode du mode K.

> Période, mode et facteurs de participation massique (RPA99version 2003 Art 4.3.4)

Tableau 4-5 : période, mode et facteurs de participation massique.

			Facteur de participation massique.				
Mode	Périodes (S)	UX%	UY%	RZ%	SumUX%	SumUY%	SumRZ%
1	0.944432	0.2609	64.8851	0.2852	0.2609	64.8851	0.2852
2	0.687871	66.605	0.1619	1.2439	66.8659	65.0469	1.5291
3	0.61788	1.6718	0.3443	64.8643	68.5377	65.3912	66.3935
4	0.204499	0.3589	19.8587	0.1563	68.8966	85.25	66.5497
5	0.175524	17.1548	0.5683	0.4625	86.0514	85.8183	67.0123
6	0.145423	0.9365	0.0942	19.4279	86.9879	85.9125	86.4402
7	0.087734	0.515	6.8248	0.1277	87.5029	92.7373	86.5679
8	0.081269	5.713	0.6845	0.2903	93.2158	93.4218	86.8582

> Présentation des 3 premiers modes de vibration :

 1^{er} mode: translation suivant Y: T=0.944 s.

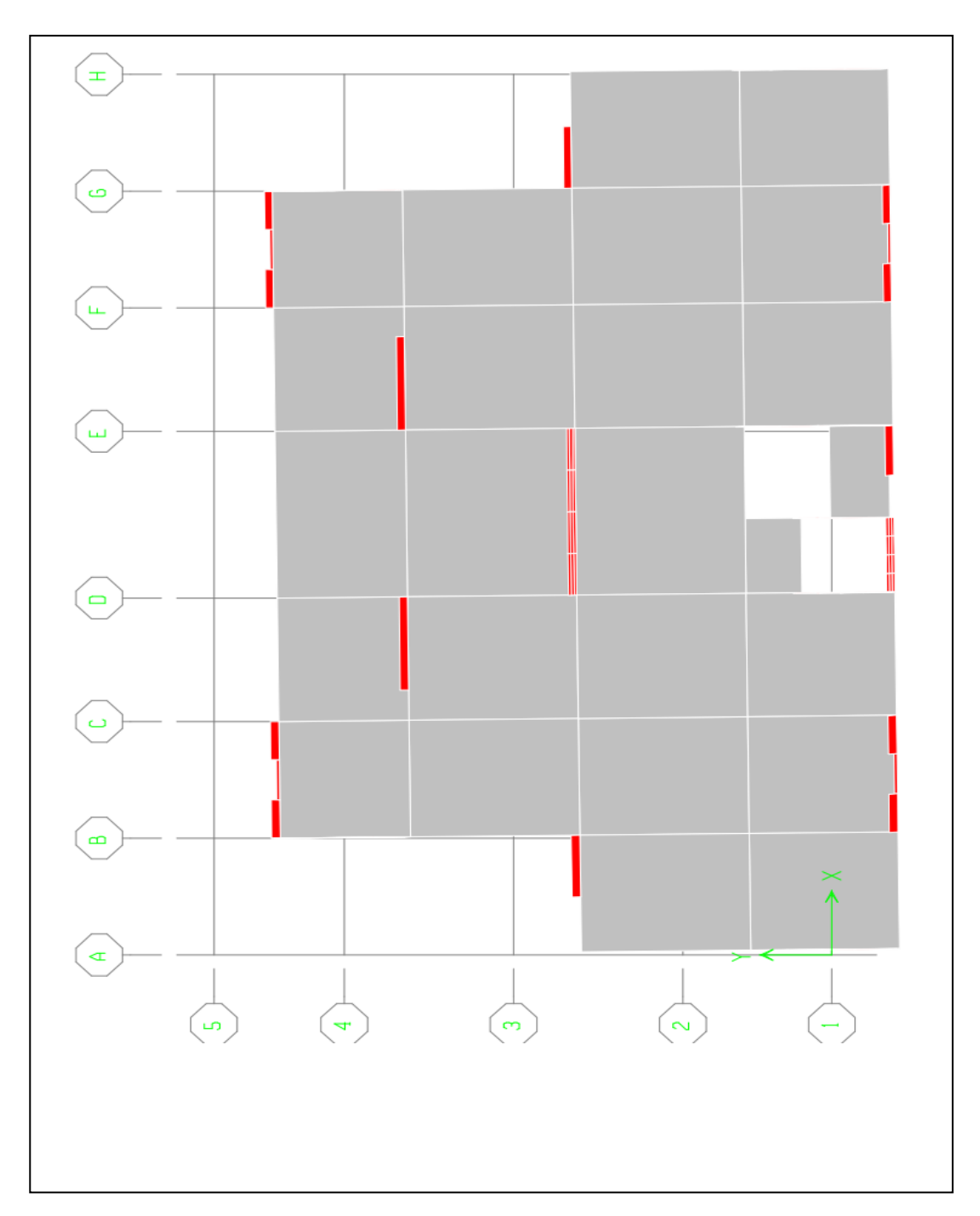


Figure 4-6 : 1^{er} mode de vibration .

 $2^{eme} mode$: Translation suivant X : T = 0.687 s.

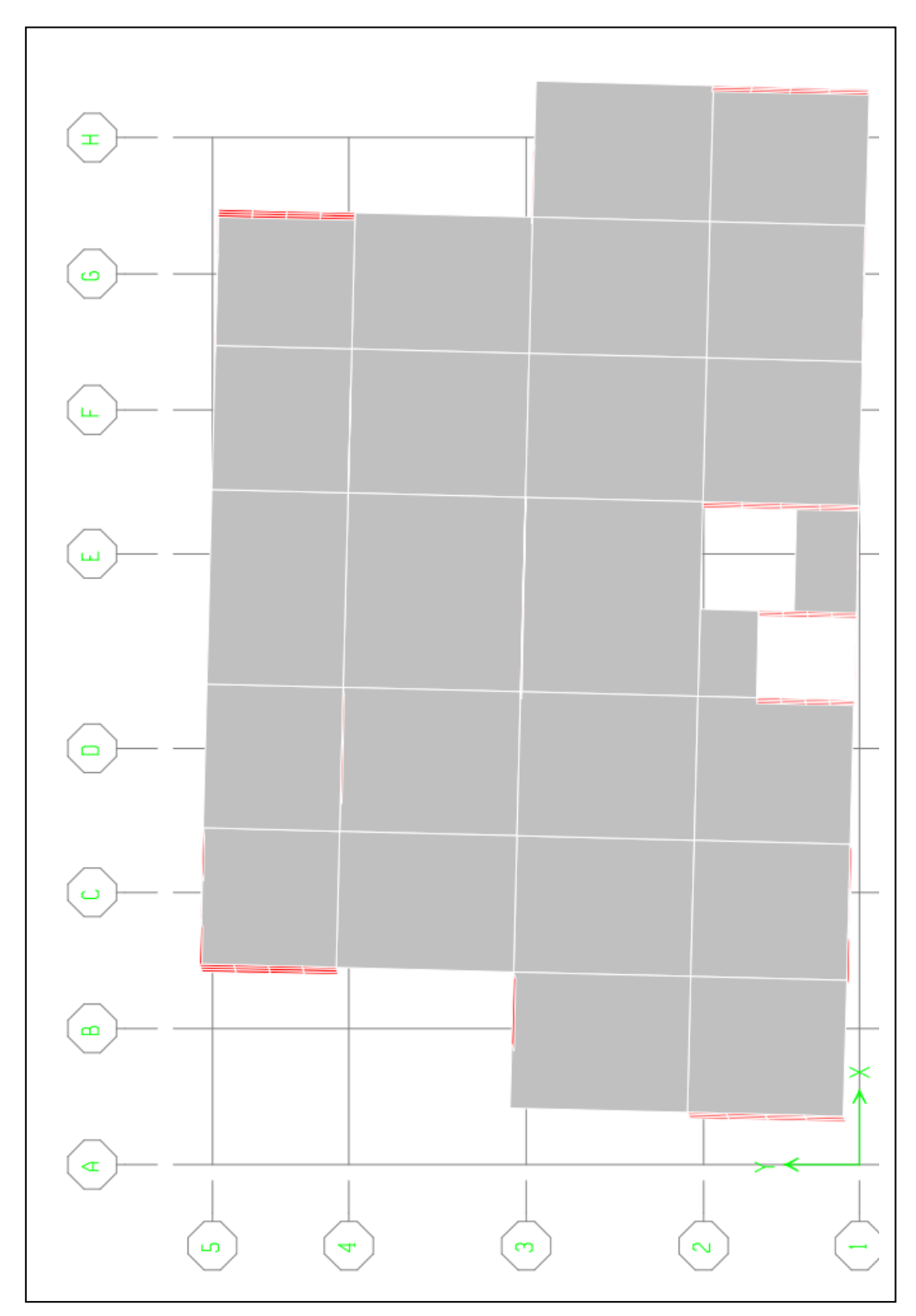


Figure 4-7 : 2^{eme} mode de vibration .

 $3^{eme} mode$: rotation suivant Z : T = 0.617 s.

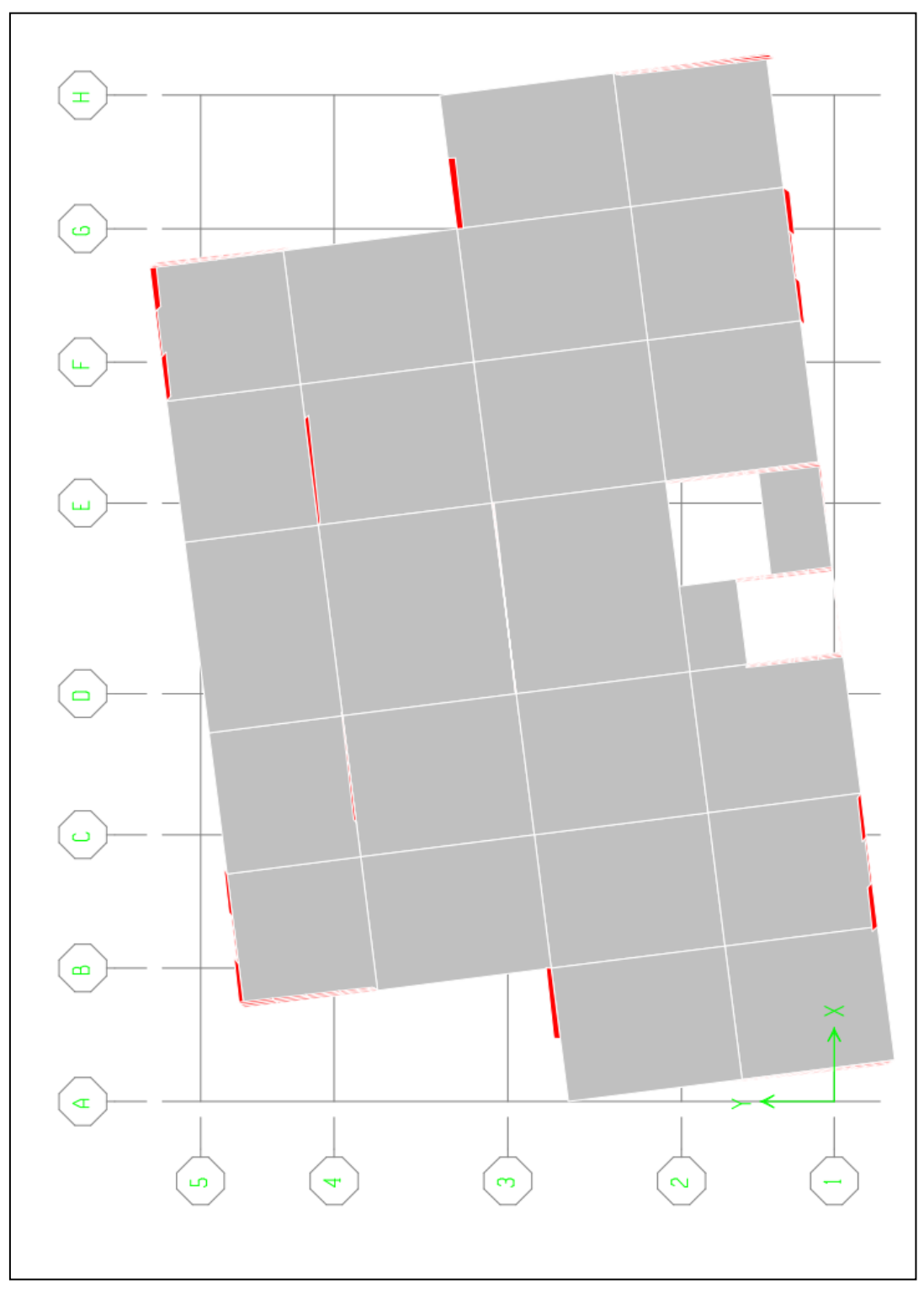


Figure 4-8 : 3^{eme} mode de vibration .

4.3 Les vérifications :

4.3.1 Vérification des sollicitations normales :

Le C.B.A à demander cet examen dans le but d'éviter ou de limiter le risque de rupture fragile sous pleine contrainte due aux tremblements de terre (une combinaison de huit tremblements de terre).

La force normale de compression calculée est limitée par les conditions suivantes :

$$V = \frac{N_d}{B_c \times f_{c28}} \le 0.3$$

Avec:

 N_d : L'effort normal maximale.

 B_c : L'air de la section brute.

 f_{ci} : La résistance caractéristique du béton.

Tableau 4-6: vérification de l'effort normal.

Niveau	Section (cm ²)	Nd (KN)	V	Condition	Observation
Entre sol	60X60	2794.29	0,31	>0.3	Nv
RDC	60X60	2548.08	0,28	< 0.3	Cv
ET1	60X60	2251.25	0,25	< 0.3	Cv
ET2	60X60	1912.45	0,21	< 0.3	Cv
ET3	55X55	1613.08	0,21	< 0.3	Cv
ET4	55X55	1328.23	0,17	< 0.3	Cv
ET5	55X55	1077.73	0,14	< 0.3	Cv
ET6	50X50	834.92	0,13	< 0.3	Cv
ET7	50X50	608.37	0,097	< 0.3	Cv
ET8	50X50	399.69	0,064	< 0.3	Cv
ET9	50X50	201.31	0,032	< 0.3	Cv

Conclusion:

En raison de considérations de sécurité et d'économie, et afin que la condition soit vérifiée, nous avons choisi de créer une nouvelle ligne de poteaux dans le but de réduire le poids repris par ces derniers, les nouvelles valeurs des efforts sont données dans ce tableau :

Tableau 4-7: vérification de l'effort normal.

Niveau	Section (cm^2)	Nd (KN)	V	Condition	Observation
Entre sol	60X60	2573.48	0,28	< 0.3	Cv
RDC	60X60	2432.04	0.27	< 0.3	Cv
ET1	60X60	2183.70	0.24	< 0.3	Cv
ET2	55X55	1908.85	0,25	< 0.3	Cv
ET3	55X55	1630.36	0,22	< 0.3	Cv
ET4	50X50	1347.81	0,22	< 0.3	Cv

ET5	50X50	1079.43	0,17	< 0.3	Cv
ET6	45X45	821.63	0,16	< 0.3	Cv
ET7	45X45	587.65	0,11	< 0.3	Cv
ET8	40X40	377.40	0, 94	< 0.3	Cv
ET9	40X40	190.15	0.048	< 0.3	Cv

4.3.2 Vérification de l'effort tranchant à la base :

> L'effort tranchant modal a la base de logiciel :

Tableau 4-8: l'effort tranchant modal à la base Vx, Vy.

Niveau	Cas	Vx (kN)	Cas	Vx	Cas	Vy (KN)	Cas	Vy
				Statique				Statique
ET9	EX	1495.58	EXST	926.45	EY	1414.69	EYST	803.87
ET8	EX	2651.13	EXST	1682.59	EY	2391.44	EYST	1459.95
ET7	EX	3596.80	EXST	2451.66	EY	3119.75	EYST	2127.29
ET6	EX	4399.86	EXST	3224.55	EY	3714.05	EYST	2802.26
ET5	EX	5092.24	EXST	4015.73	EY	4229.28	EYST	3484.42
ET4	EX	5690.37	EXST	4811.78	EY	4694.63	EYST	4175.15
ET3	EX	6201.97	EXST	5617.18	EY	5122.14	EYST	4873.98
ET2	EX	6630.95	EXST	6433.48	EY	5511.47	EYST	5582.28
ET1	EX	6977.38	EXST	7260.15	EY	5852.72	EYST	6299.57
RDC	EX	7238.44	EXST	8098.77	EY	6130.41	EYST	7027.24
Entre sol	EX	7422.94	EXST	9044.65	EY	6347.55	EYST	8404.57

La résultante des forces sismique à la base (Vt) obtenue par combinaison des valeurs modales ne doit pas être inferieure a 80% de la résultante des forces sismique déterminée par la méthode statique équivalente V.

Si Vdyn < 0,8 Vsta, il faudra augmenter tous les paramètres de la réponse (forces, déplacement) dans le rapport 0,8V/Vt.

> Méthode statique équivalente :

$$V_{mse} = \frac{A \times D \times \hat{Q}}{R} \times W_t$$

✓ A=0.25 zone 3, groupe d'usage 2.

$$\checkmark$$
 Qx = 1.25, Qy = 1.30

✓ R = 3.5

✓ T1=0.15s, T2=0.50 s

✓ Période fondamentale de bâtiment

Sens x-x:

Ct = 0.05(**RPA99 version 2003 tableau4.7**), D = Lx = 26.4 m, $h_n = 34.28$ m

$$T_x = min\left(Ct \times h_n^{\frac{3}{4}}, \frac{0.09 \times h_n}{\sqrt{D_X}}\right) = min(0.708, 0.600) = 0.600 \text{ s.}$$

Sens y-y:

Ct =
$$0.05$$
(**RPA99 version 2003 tableau4.7**), D = Ly = 16.6 m, $h_n = 34.28$ m

$$T_y = min\left(Ct \times h_n^{\frac{3}{4}}, \frac{0.09 \times h_n}{\sqrt{D_y}}\right) = min(0.708, 0.757) = 0.708 \text{ s.}$$

✓ Facteur d'amplification dynamique :

Sens x-x:

$$\eta = 0.764$$
 , $T_X = 0.600 s$ $\rightarrow D_X = 2.5 \eta \times (\frac{T_2}{T_r})^{\frac{2}{3}} = 1.69$

Sens y-y:

$$\eta = 0.764$$
 , $T_Y = 0.708$ $\rightarrow D_Y = 2.5 \eta \times (\frac{T_2}{T_V})^{\frac{2}{3}} = 1.41$

$$V_{x(mse)} = 9044.65 \, KN.$$

$$V_{\nu(mse)} = 7847.97 \, KN.$$

$$V_{x \, mse} = 0.8 \times 9044.65 = 7235.72 \, KN \le V_{x \, dyn} = 7422.94 \, KN \dots cv$$

$$V_{v mse} = 0.8 \times 7847.97 = 6278.37 KN \le V_{v dyn} = 6347.55 KN$$
ev

4.3.3 Vérification des déplacement inter étages :

Le déplacement horizontal à chaque niveau (K) de la structure est calculé comme suit :

$$\delta_k = R\delta_e k$$

Avec:

 $\delta_e k$: deplacement horizontal du aux forces sismiques.

R : coefficient de comportement.

Le déplacement relatif au niveau (k)par rapport au niveau (k-1) est égale a :

$$\Delta k = \delta_k - \delta_{k-1}$$

Le déplacement latéral relatif d'un plancher par rapport aux étages adjacents et calcule conformément au paragraphe 4.2.10, ne doit pas dépasser 1,5% de la hauteur du plancher a moins qu'il puisse être démontre qu'un déplacement relatif plus important est possible.

$$\Delta_k = (\delta_k - \delta_{k-1}) < \Delta_{k \ adm} = 1\%(h_i)$$

Avec:

 h_i : hauteur d'étage (i).

Les résultats sont donnés dans les deux tableaux suivants :

Sens x-x:

Tableau 4-9 : vérification des déplacements inter étages sens x-x.

Ī	Étage	Charge	UX	R	$\delta_{\scriptscriptstyle K}$	δ_{k-1}	Δ_k	1%	Observation.
			(cm)		$=R\delta_{ek}$		$=\delta_k-\delta_{k-1}$	hi	

ET9	EX	2.94	3.5	10.29	9.275	1.015	3.06	Cv
ET8	EX	2.65	3.5	9.275	8.19	1.085	3.06	Cv
ET7	EX	2.34	3.5	8.19	7.105	1.085	3.06	Cv
ET6	EX	2.03	3.5	7.105	5.95	1.155	3.06	Cv
ET5	EX	1.70	3.5	5.95	4.83	1.12	3.06	Cv
ET4	EX	1.38	3.5	4.83	3.745	1.085	3.06	Cv
ET3	EX	1.07	3.5	3.745	2.695	1.05	3.06	Cv
ET2	EX	0.77	3.5	2.695	1.785	0.91	3.06	Cv
ET1	EX	0.51	3.5	1.785	0.98	0.805	3.06	Cv
RDC	EX	0.28	3.5	0.98	0.35	0.63	3.06	Cv
Entre	EX	0.10	3.5	0.35	0	0.35	3.68	Cv
sol								

Sens y-y:

Tableau 4-10 : vérification des déplacements inter étages sens y-y.

Étage	Charge	Uy	R	δ_K	δ_{k-1}	Δ_k	1% hi	Observation.
		(cm)		$=R\delta_{ek}$		$=\delta_k$		
						$-\delta_{k-1}$		
ET9	EY	4.73	3.5	16.555	14.63	1.925	3.06	Cv
ET8	EY	4.18	3.5	14.63	12.67	1.96	3.06	Cv
ET7	EY	3.62	3.5	12.67	10.745	1.925	3.06	Cv
ET6	EY	3.07	3.5	10.745	8.855	1.89	3.06	Cv
ET5	EY	2.53	3.5	8.855	7	1.855	3.06	Cv
ET4	EY	2	3.5	7	5.285	1.715	3.06	Cv
ET3	EY	1.51	3.5	5.285	3.71	1.575	3.06	Cv
ET2	EY	1.06	3.5	3.71	2.345	1.365	3.06	Cv
ET1	EY	0.67	3.5	2.345	1.225	1.12	3.06	Cv
RDC	EY	0.35	3.5	1.225	0.455	0.77	3.06	Cv
ENTRE	EY	0.13	3.5	0.455	0	0.455	3.68	Cv
SOL								

> Justification vis-à-vis de l'effet $p - \Delta$: RPA (art5-9)

Les effets du 2^{eme} ou (effet $\rho - \Delta$) peuvent être négliges dans le cas des bâtiments ou la condition suivants est satisfaite à tous les niveaux.

$$\theta_k = \frac{p_k \times \Delta_k}{v_k \times h_k} \le 0.1$$

Avec

 p_k :Le poids total de la structure et de charges d'exploitation associes au-dessus du niveau k.

 V_K : Effort tranchant d'étage au niveau (k)

 Δ_k :Deplacement relatif du niveau (k) par rapport au niveau (k-1).

 h_k :Hauteur de l'étage (k).

- ✓ Si : θ_k < 0,1 →les effets de 2 eme ordre sont négliges.
- ✓ Si: $0.1 < \theta_k < 0.2$ →il faut augmenter les effets de l'action sismique calcules par un facteur égal a $1/(1 \theta_k)$.
- ✓ Si : $\theta_k > 0.2$ →la structure potentiellement instable.

Sens x-x:

Tableau 4-11 : vérification de l'effet p- Δ sens x-x

story	Pk (KN)	$\Delta_k(m)$	$V_{\chi}(KN)$	$H_K(m)$	θ_k	Condition	Observation
ET9	4973.57	0.01015	1495,58	3.06	0,0110	\leq 0,1	Cv
ET8	5011.14	0.01085	2651,13	3.06	0,0067	\leq 0,1	Cv
ET7	5096.78	0.01085	3596,80	3.06	0,0050	\leq 0,1	Cv
ET6	5155.35	0.01155	4399,86	3.06	0,0044	\leq 0,1	Cv
ET5	5210.28	0.0112	5092,24	3.06	0,0037	\leq 0,1	Cv
ET4	5275.72	0.01085	5690,37	3.06	0,0033	\leq 0,1	Cv
ET3	5337.52	0.0105	6201,97	3.06	0,00295	\leq 0,1	Cv
ET2	5409.82	0.0091	6630,95	3.06	0,00243	\leq 0,1	Cv
ET1	5478.59	0.00805	6977,38	3.06	0,00206	\leq 0,1	Cv
RDC	5557.75	0.0063	7238,44	3.06	0,00158	\leq 0,1	Cv
Entre	6268.49	0.0035	7422,94	3,68	0,00083	$\leq 0,1$	Cv
sol							

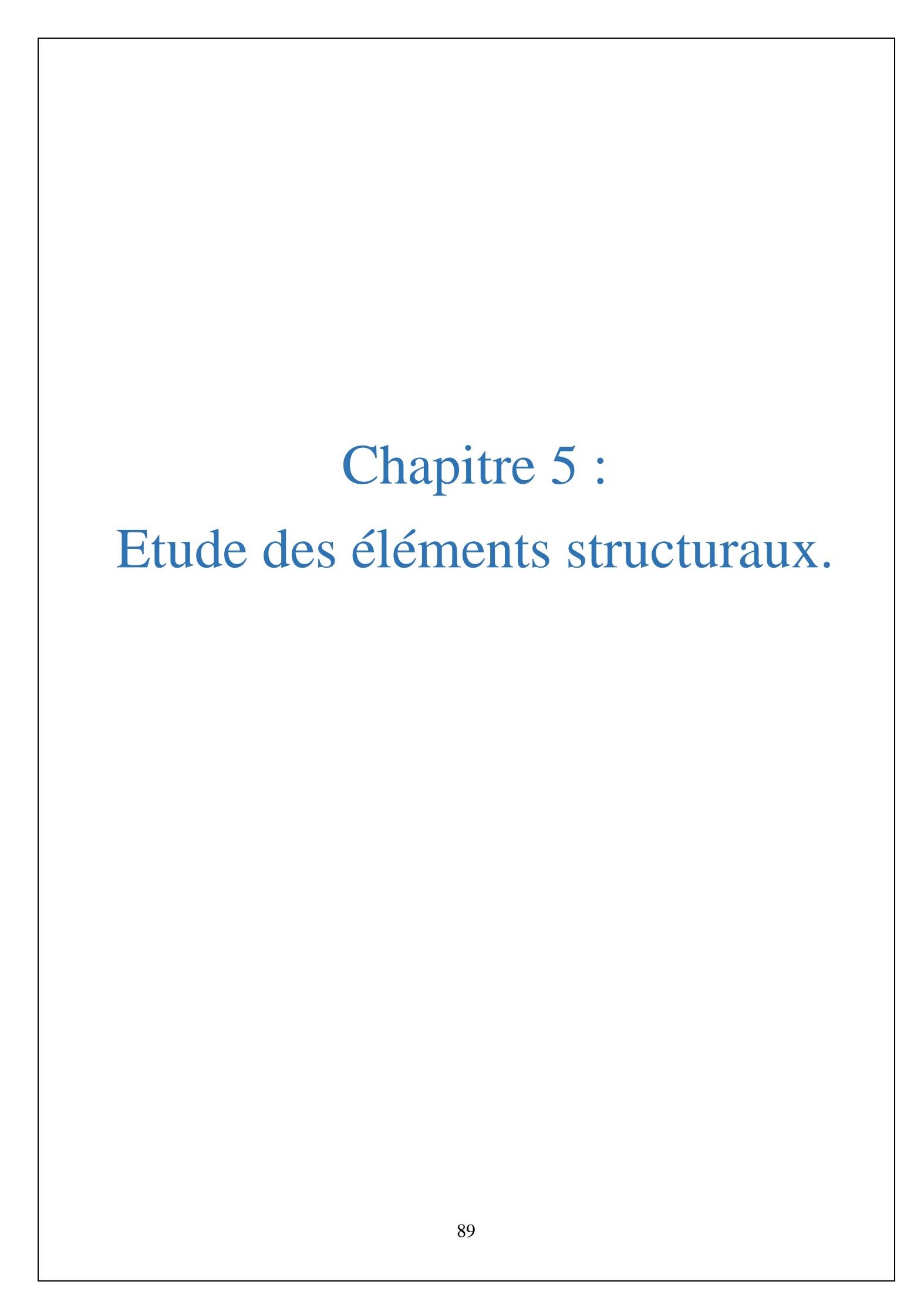
Sens y-y:

Tableau 4-12 : vérification de l'effet p-∆ sens y-y

Étage	Pk (KN)	$\Delta_k(m)$	$V_{y}(KN)$	$H_K(m)$	θ_k	Condition	Observation
ET9	4973,57	0,01925	1414,69	3,06	0,0221	≤ 0,1	Cv
ET8	5011,14	0,0196	2391,44	3,06	0,0134	≤ 0,1	Cv
ET7	5096,78	0,01925	3119,75	3,06	0,0102	$\leq 0,1$	Cv
ET6	5155,35	0,0189	3714,05	3,06	0,0085	$\leq 0,1$	Cv
ET5	5210,28	0,01855	4229,28	3,06	0,0075	$\leq 0,1$	Cv
ET4	5275,72	0,01715	4694,63	3,06	0,0063	≤ 0,1	Cv
ET3	5337,52	0,01575	5122,14	3,06	0,0053	$\leq 0,1$	Cv
ET2	5409,82	0,01365	5511,47	3,06	0,0043	$\leq 0,1$	Cv
ET1	5478,59	0,0112	5852,72	3,06	0,0034	$\leq 0,1$	Cv
RDC	5557,75	0,0077	6130,41	3,06	0,0023	$\leq 0,1$	Cv
Entre	6268,49	0,00455	6347,55	3,68	0,0012	$\leq 0,1$	Cv
sol							

Conclusion:

Toutes les conditions du RPA99/V2003 ont été vérifiées, avec des dimensions de poteaux réduites par souci d'économie.



Chapitre V: Etude des éléments structuraux.

5 Introduction:

Dans ce chapitre, nous utiliserons les résultats obtenus grâce au logiciel pour déterminer les sections de ferraillage nécessaires pour chaque élément de la structure.

Les calculs de la section sont basés sur les règles de calcul pour le béton arme, à savoir CBA93 (règles de conception et de calcul des structures en béton arme), BAEL91 (béton arme aux états limites) et RPA99/V2003(séisme en Algérie).

Le règlement CBA93 vise spécifiquement la conception et le calcul des structures en béton arme et est destiné en priorité aux bâtiments ordinaires.

Ils définissent les principes et les méthodes modernes de conception et de vérification des structures en béton arme.

Dans notre structure globale, nous avons trois types d'éléments structuraux :

1.voiles : les voiles sont soumises aux forces normales, aux forces de cisaillement et aux moments de flexion. Les voiles seront calculées en flexion composée dans un plan.

2. poteaux (appui) : les forces normales, les forces latérales et les moments fléchissant agissent. Les poteaux seront donc calculés en flexion composée dans les deux plans.

3.poutre : les moments de flexion et les forces latérales agissent. Elles seront calculées en flexion simple dans le plan vertical.

- Les combinaisons d'action :

Une combinaison d'action est une grandeur formée des actions considérées simultanément et représente les étapes nécessaires à la détermination de la charge d'un élément résistif.

- Les actions :

Les actions sont des forces et des couples qui agissent directement sur une structure ou qui résultent d'une déformation forcée (retrait, fluage, variations de température)

G: action permanent

Q: action d'exploitation

E: action accidentelle.

- Les sollicitations :

Il s'agit des efforts normaux ou tranchants et des moments de flexion ou de torsion qui sont développes dans la section en combinant des mouvements calcules selon RDM ou en utilisant des méthodes courantes.

En fonction du type de sollicitations, on distingue les différentes combinaisons suivantes :

Selon BAEL 91 et CBA 93 : situation durable

$$ELU \rightarrow 1.35G + 1.5Q$$

$$ELS \rightarrow G + O$$

Chapitre V: Etude des éléments structuraux.

SelonRPA99: situation accidentelle

 $G \pm Q \pm E \rightarrow RPA99 \ ver2003 \ (art5.2)$

 $0.8 \pm GE \rightarrow RPA99 \ ver2003(art5.2)$

- Les caractéristiques mécaniques :

Les armatures seront calculées à l'état limite ultime sous l'effet des sollicitations les plus défavorables et dans la situation suivante

Tableau 5-1 : coefficient de sécurité et caractéristiques mécaniques.

Situation		béton		Acier			
	γ_b	F_{c28}	σ_{bc}	γ_s	Fe	$\sigma_{\!\scriptscriptstyle S}$	
Durable	1,5	25	14,2	1,15	400	348	
Accidentelle	1.15	25	21,74	1	400	400	

5.1 Ferraillage des voiles :

5.1.1 Introduction:

Les voiles et murs sont des éléments a deux grandes dimensions. Ils sont en général verticaux et charges dans leur plan.

Le voile est donc soumis à un effort normal N et un effort tranchant Constante sur toute la hauteur ainsi qu'à un moment de flexion maximal dans la section d'encastrement.

Les armatures verticales extrêmes sont soumises à d'importantes forces de traction et de compression, générant des couples capables d'équilibrer les moments appliques.

A la base de la voile, des cadres sont places à des hauteurs critiques autour de ces renforts pour organiser la ductilité de ces zones.

En fin, les armatures horizontales ont le rôle d'assurer la résistance aux efforts de cisaillement (effort tranchant).

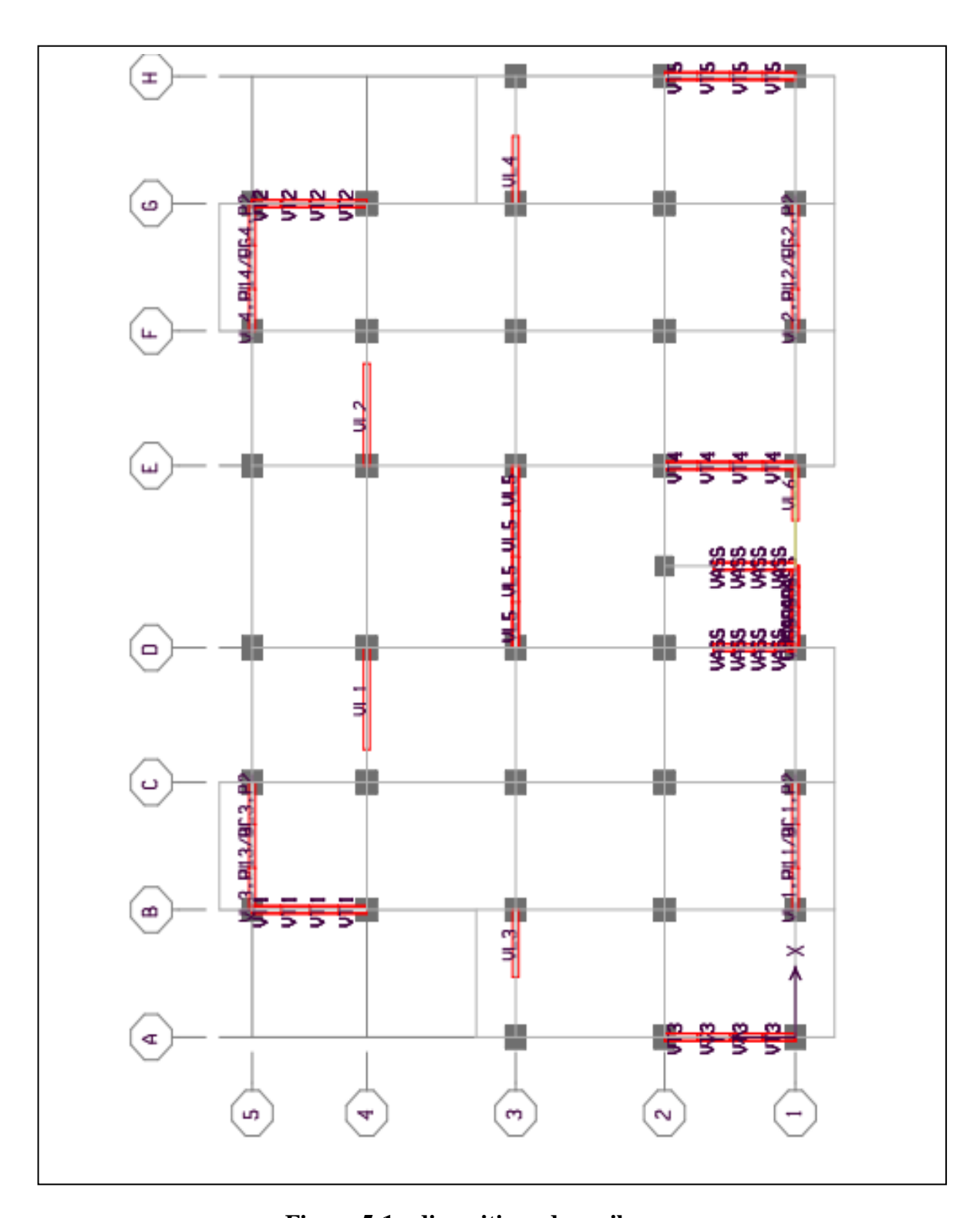


Figure 5-1 : dispositions des voiles x-x,y-y

5.1.2 Détermination des armatures :

5.1.2.1 Armatures verticales: (RPA99 version 2003 Art 7.7.4.1)

Les armatures verticales sont destinées à absorber les effets de flexion et sont disposés en deux couches parallèles aux efforts de la voile.

Ces armateurs doivent répondre aux exigences suivantes :

- Armature verticale doit absorber la totalité de l'effort de traction.
- La proportion minimale de l'armature vertical à l'intérieur de la zone de tension est 0,2%.
- Les barres verticales au niveau final doivent être fixées avec des crochets c'est en haut
- Aux deux extrémités du voile, la distance entre les barres doit être réduite de la moitié de la largeur du voile (L/10), cette distance ne doit pas dépasser 15 cm.

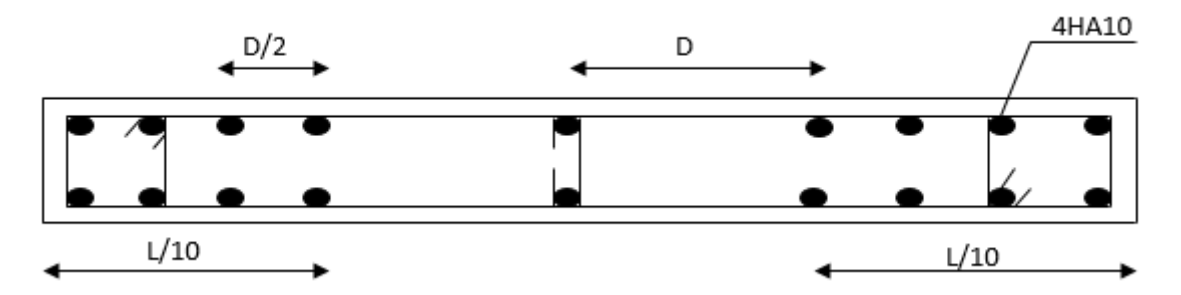


Figure 5-2: dispositions des armatures verticales dans les voiles.

5.1.2.2 Armatures horizontales: (RPA99 version 2003 art 7.7.4.2 et 7.7.4.3).

Ils sont destinés à absorber les efforts tranchants et sont disposés en deux couches vers l'extérieur de l'armateur vertical pour éviter le flambage, avec un angle de 135^0 et une longueur $(10 \times \emptyset l)$

Le pourcentage minimum d'armature verticales et horizontales des voiles est comme suit :

- Globalement dans la section du voile 0,15%
- En zone courante 0,10%

L'espacement des barres horizontales et verticales doit être inférieur à la plus petite des deux valeurs suivantes :

- $S \le 1.5$ a avec a : épaisseur du voile
- S < 30cm

5.1.3 Étapes de calcul :

Détermination des contraintes :

La méthode consiste à utiliser la formule suivante (formule RDM) pour déterminer le diagramme de contrainte sous la contrainte favorisant la traction.

Chapitre V: Etude des éléments structuraux.

$$\begin{cases}
\sigma_1 = \frac{N}{A} + \frac{MV}{I} \\
\sigma_2 = \frac{N}{A} + \frac{MV}{I}
\end{cases}$$

Avec:

N: Effort normal applique

M : Moment fléchissant applique

A: section transversale du voile

V : bras de levier $\left(V = \frac{L_{voile}}{2}\right)$

I: Inertie de voile

> Calcul de Lt, Lc:

$$\begin{cases} L_t = \frac{\sigma_1 \times L}{\sigma_1 + \sigma_2} \\ L_C = L - L_T \end{cases}$$

 L_T : Longueur de la zone tendue

 L_C : Longueur de la zone comprimée

> Calcul de force :

$$N_t = \frac{\sigma_2 \times L_t}{2} \times b$$

> Armatures verticales :

$$A_v = \frac{Nt}{fe} + A_{vj}$$

Avec:

$$A_{vj} = 1.1 \frac{v}{fe}$$
 , $V:Effort\ tranchant$

> Armatures minimales :

D'après BAEL 91:

$$A_{min} = B \frac{F_{t28}}{fe}$$

Tel que : $A_{min} = \max \left(0.2\%b \times L_t, B\frac{F_{t28}}{fe}\right)$

RPA 99 version 2003 art 7.7.4.1:

Amin = 0.2%b × Lt

Avec:

B : épaisseur de voile

Lt : longueur de la section tendue

La longueur minimale : d'après RPA 99 version 2003 art 7.7.4.3

Zone courante : St = (L - 2St)

Zone debout : St = L/10

5.1.4 Vérification :

✓ D'après RPA99 version 2003 art 7.7.2 :

La contrainte de cisaillement est : $T_b = \frac{1.4 \times v_{u \ cal}}{b0 \times d}$

La contrainte limite est : $\overline{T}b = 0.2f_{c28}$

Pour Condition vérifier : $T_b \leq \overline{T}_b$

Avec:

 Vu_{cal} : Effort tranchant à la base du voile

 b_0 : épaisseur du voile

d: hauteur utile

h: hauteur total de la section

✓ D'après BAEL91 :

$$au_u = rac{Vcal}{b_0 imes d}$$
 au : contrainte de cisaillement

$$\overline{\sigma}_u = min\left(0.2 \, \frac{fc28}{\gamma b} \right), 5 \, MPa$$

Pour condition vérifier : $T_u \leq \overline{\sigma}_u$

✓ A ELS:

On considère : Nser = G+Q

$$\sigma_b = \frac{Nser}{B + 15A} \le 0.6 fc28 = 15 MPa$$

Avec:

Nser: effort normal applique

B: section du béton

A: section d'armateurs adoptes

5.1.5 Exemple de calcul:

L=5 m, N=4728.87 KN, M=17911.702 KN.m, V=1590.81 KN

> Determination I, S, V:

h = b = 0.6 m (Poteau).
L= 5.60 m
Li= L/2 = 2.8 m.

$$I = \left(e * \frac{l^3}{12}\right) = 2.92m^4$$
.
V = Li = 2.8 m.
S = e*l = 1.12m².

> determiner les contraintes :

$$\begin{split} \sigma_1 &= \frac{N}{A} + \frac{MV}{I} = \frac{4728.87}{1.12} + \frac{17911.702x2.8}{2.92} = 21397.81 \frac{KN}{m^2} \big/ (\sigma_{traction}) \\ \sigma_2 &= \frac{N}{A} - \frac{MV}{I} = \frac{4728.87}{1.12} - \frac{17911.702x2.8}{2.92} = -12953.39 \frac{KN}{m^2} \big/ (\sigma_{compression}) \end{split}$$

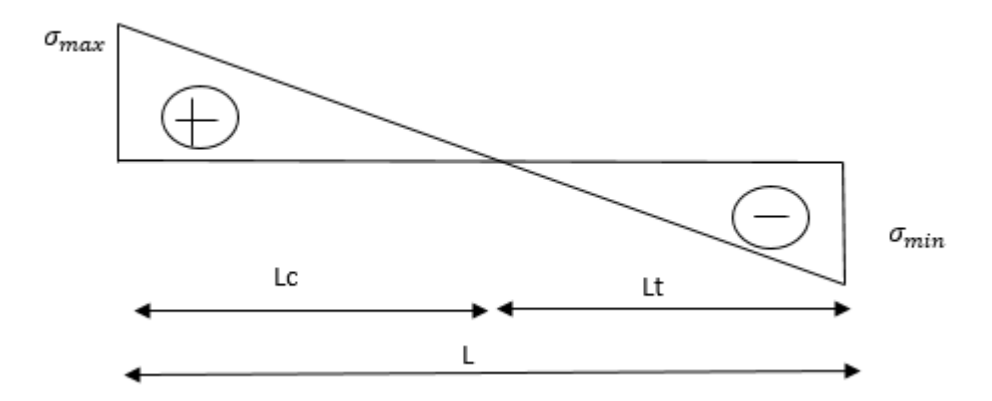


Figure 5-3 :schéma des contraintes dans les voiles.

> Calcul Lt ,Lc:

$$\begin{cases} L_t = \frac{\sigma_2 \times L}{\sigma_1 + \sigma_2} = \frac{12953.39 * 5.6}{21397.81 + 12953.39} = 2.11 \ m \\ L_C = L - L_c = 5.6 - 2.11 = 3.49 \ m \end{cases}$$

Calcul les forces:

$$N_t = \frac{\sigma_2 \times L_t}{2} \times b = \frac{12953.39 * 2.11}{2} * 0.2 = 2733.16KN$$

> Armatures verticals:

$$A_V = \frac{Nt}{fe} + 1.1 \frac{v}{fe} = \frac{2733.16}{400000} + 1.1 \frac{1590.81}{400000} = 112.07 \text{cm}^2$$

Extrémités des voiles : soit 4HA20+16HA16 ep=15 cm on a adopté $A = 34.12cm^2$

Ame de voile : L = 5 m soit 24HA14+24HA14 ep = 20 cm on a adopté $A = 73.89cm^2$

> Section minimale d'armature verticale :

Zone tendue:

 $A_{min} = 0.2\% B_{tendue}$

$$B_{tendue} = L_t * e = 2.11 * 0.2 = 0.422m^2$$

$$A_{min} = 8.44cm^2$$

La section totale du béton :

$$A_{min} = 0.15\%B_{total}$$

$$B_{total} = e * l = 1.12m^2$$

$$A_{min} = 16.8cm^2$$

D'après BAEL91:

$$A_{min} = B \times \frac{F_{t28}}{fe} = 0.2 * 5.6 \frac{2.1}{400} = 5.88 cm^2$$

➤ Longueur minimale : RPA99v2003 artA7-7-4-3

La zone d'about : 560/10 = 56 cm, donc St=15cm

La zone courante : 450cm, donc St= 20cm

> Armatures horizontales :

Armatures horizontales résistants à l'effort tranchant : BAEL91

$$\frac{A_T}{b_0.S_t} \ge \frac{\tau_u}{0.8f_e}$$

La contrainte de cisaillement est : RPA99v2003 Art7.7.2

$$\tau_u = \frac{v}{b_0 d}$$

d: hauteur utile (0.9h).

h: hauteur total de la section brute.

v : effort tranchant à la base du voile.

 b_0 : épaisseur du voile.

Donc
$$\tau_u = 1.4 \frac{1590.81}{0.2*0.9*5.6} * 10^{-3} = 2.21 MPa \text{ soit st} = 15 \text{ cm}.$$

$$A_T \ge \frac{\tau_u b_0 S_t}{0.8 f_e} \quad \rightarrow A_T = \frac{2.21*0.2*0.15}{0.8*400} \quad \rightarrow A_T = 2.07 cm^2$$

RPAv2003:

$$A_{Hmin} = 0.15\% B_{total} = 16.80 cm^2$$

On adopte $22\text{HA}10/\text{ml} = 17.28cm^2$ st = 20 cm.

Les deux nappes armatures doivent etre reliées entre elles avec 4HA8 épingles en mètre carré.

- Vérification:

ELU:

D'après RPA99 version 2003 :

$$\overline{T}u = 0.2f_{c28} = 5 MPa$$

$$\overline{T}_u = 2.21 \le \overline{\overline{T}}_u = 5$$
 Condition vérifier

D'après le BAEL 91:

$$\overline{\tau_b} = \min(\frac{0.2f_{c28}}{\gamma_b}, 5 MPa) = 3.33 MPa.$$

$$\tau_u = 2.21 \ MPa \le \overline{\tau_b} = 3.33 \ MPa$$
 Condition vérifiée.

ELS:

Nser = 4810.05 KN

$$\sigma_b = \frac{Nser}{B + 15A} = \frac{4810.05 \ 10^{-3}}{1.12 + 15 * 0.0112} = 3.73 MPa$$

$$0.6 fc28 = 15 MPa$$

$$\sigma_b = 3.73~MPa \le 0.6~fc28 = 15~MPa$$
. Condition vérifiée

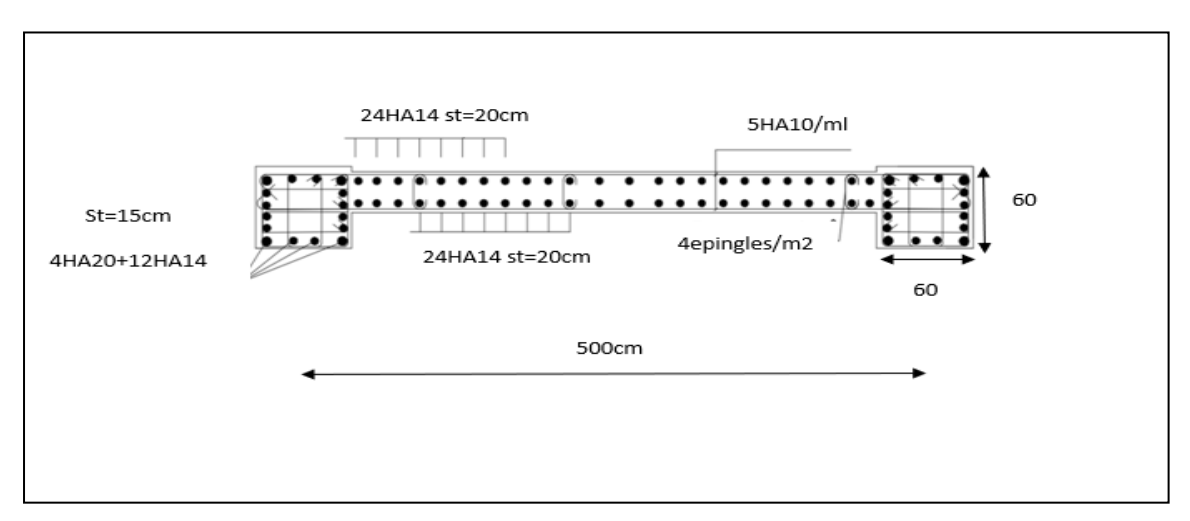


Figure 5-4 : Schéma ferraillage de voile (VL5)

- Calcul de ferraillage :

 \checkmark Sens X:

Tableau 5-2: ferraillage des voiles sens x-x

voile	L(m)	N(KN)	M(KN.m)	V(KN)	Ns(KN)
VL1	2.80	4029.19	4218.398	648.74	2326.60
VL2	2.80	3197.51	4139.171	615.01	1769.84
VL3	1.85	3064.19	1637.553	313.15	1547.33
VL4	1.85	2285.97	1578.146	296.08	1310.71
VL6	1.5	1105.43	1041.683	570.37	753.95
VL1.P1	1.15	4644.15	780.961	409.63	1734.83
VL1.P2	1.15	4748.14	952.355	395.94	1919.19
VL2.P1	1.15	4092.77	807.237	410.80	1728.65
VL2.P2	1.15	5298.15	926.652	395.15	1915.66
VL3.P1	1.15	2565.22	861.788	391.63	1077.98

VL3.P2	1.15	5623.59	796.65	377.46	1110.21
VL4.P1	1.15	5133.87	707.356	383.72	1103.29
VL4.P2	1.15	3017.44	645.617	376.28	1337.23

\checkmark Sens Y:

Tableau 5-3 :ferraillage des voile sens y-y.

voile	L(m)	N(KN)	M(KN.m)	V(KN)	Ns(KN)
VT1	3.5	6770.18	6691.446	1269.76	1885.56
VT2	3.5	6126.03	5855.65	1103.35	1873.73
VT3	4	2092.71	6318.897	1322.41	1054.79
VT4	4	4777.35	4682.097	998.03	2664.03
VT5	4	2213.09	5459.091	1091.84	1597.79

✓ Voiles ascenseur :

Tableau 5-4 : ferraillage de voile d'ascenseur.

voile	L(m)	N(KN)	M(KN.m)	V(KN)	Ns(KN)
VASS	2.5	6031.16	5374.117	1578.733	4039.35

On effectue le calcul du ferraillage des voiles de même longueur en considérant le cas le plus défavorable.

Ferraillage des trumeaux :VL1 VL2 VL3 VL4 VL6

Tableau 5-5: ferraillage des trumeaux VL1/2/3/4/5/6

Voile		VL1, VL2	VL3, VL4	VL6
L	(m)	2.80	1.85	1.5
e (m)		0.2	0.2	0.2
	KN)	4029.19	3064.19	1105.43
M(K	(N.m)	4218.398	1637.553	1041.683
S(c	cm^2)	0.56	0.37	0.3
	(m)	1.4	0.925	0.75
I(1	m^4)	0.36	0.11	0.056
$\sigma_1(1)$	MPa)	23.59	22.05	17.63
$\sigma_2(1)$	MPa)	9.21	5.48	10.26
Lt	(m)	0.78	0.37	0.55
Lc	(m)	2.02	1.43	0.95
Nt((KN)	718.38	202.76	564.3
As(cm ²)	35.79	13.68	29.79
Amin BA	$AEL(cm^2)$	2.94	1.942	1.575
Amin R	PA(cm ²)	3.12	1.48	2.2
Aadop	$t^{t\acute{e}}(cm^2)$	39.96	39.96	39.96
Choix des barres	Zone d'about	12HA16/nappe	12HA16/nappe	12HA16/nappe
	Zone courante	14HA12/nappe	14HA12/nappe	14HA12/nappe
St(cm)	Zone d'about	10	10	10
	Zone courante	20	20	20
Ah min E	BAEL(cm ²)	1.69	1.24	2.76
Ah min F	$RPA(cm^2)$	8.4	5.55	4.5
Ah adoj	pte(cm ²)	5HA20 =15.71	5HA20 =15.71	5HA20 =15.71
St((cm)	15	15	15
A trans	$sv(cm^2)$		4 épingles de HA8/ml	
V(KN)		648.74	313.15	570.37
Ns((KN)	2326.60	1547.33	553.95
		Vérification d	les contraintes	
$\tau_u <$	5 МРа	1.80	1.32	2.95
$\sigma_b < 1$	15 <i>MPa</i>	3.61	3.63	1.60
Obser	rvation	cv	cv	cv

Ferraillage des trumeaux : VT1 VT2 VT3 VT4 VT5 VL1.2.3.4/P1.P2

Tableau 5-6 : ferraillage des trumeauxVT1.P1/P2-VT2/3/4/5

	Voile	VT1, VT2	VT3 , VT4 , VT5	VL1.P1/P2 VL2.P1/P2 VL3.P1/P2 VL4.P1/P2
	L(m)	3.5	4	1.15
	e(m)	0.2	0.2	0.2
	N(KN)	6770.18	6092.71	4748.14
	M(KN.m)	6691.44	6318.87	952.355
	$S(cm^2)$	0.7	0.8	0.23
	V(m)	1.75	2	0.575
	$I(m^4)$	0.71	1.06	0.025
	$\sigma_1(MPa)$	26.16	19.53	42.54
	$\sigma_2(MPa)$	6.82	4.31	12.60
	Lt(m)	0.72	0.72	0.26
	Lc(m)	2.78	3.28	0.89
	Nt(KN)	491.04	310.32	327.6
	As(cm ²)	47.19	44.12	19.07
Amin BAEL(cm ²)		3.675	4.2	4.2
Amin RPA(cm ²)		2.88	2.88	1.04
Α ^c	$adopté(cm^2)$	65.60	65.60	35.44
Choix	Zone d'about	7HA20/nappe	7HA20/nappe	6HA16/nappe
des barres	Zone courante	4HA12+2HA20/nappe	4HA12+2HA20/nappe	5HA12/nappe
St	Zone d'about	10	10	10
(cm)	Zone courante	20	20	20
Ah m	in BAEL(cm ²)	2.64	2.41	
Ah n	$\min RPA(cm^2)$	10.5	12	12
Ah	adopte(cm ²)	5HA2 =15.71	5HA20=15.71	5HA20 =15.71
	St(cm)	15	15	15
A	transv(cm ²)		4 épingles de HA8/ml	
	V(KN)	1269.76	1322.41	395.94
	Ns(KN)	1885.56	1054.79	1919.19
		Vérification d	les contraintes	
τ	u < 5 MPa	2.82	2.57	0.24
	, < 15 <i>MPa</i>	2.34	1.14	7.25
C	Observation	cv	cv	cv

Tableau 5-7 : Ferraillage voile ascenseur

V	oile	Voile ascenseur
L(m)		2.5
e(m)		0.2
N((KN)	6031.16
M(k	KN.m)	5374.117
S(c	cm^2)	0.5
V	(m)	1.25
I(c	(m^4)	0.26
σ_1	MPa)	37.89
σ_2	MPa)	13.77
Lt	t(m)	0.67
Lo	c(m)	1.83
Nto	(KN)	922.59
As((cm^2)	66.47
Amin BA	AEL(cm ²)	2.625
Amin R	$PA(cm^2)$	2.68
A^{adop}	^{té} (cm ²⁾	67.61
Choix	Zone	8HA14/nappe
des barres	d'about Zone	10HA12/poppo
varies	courante	19HA12/nappe
St(cm)	Zone	10
	d'about	20
	Zone courante	20
Ah min B		4.6
	$RPA(cm^2)$	7.5
	pte(cm ²)	15.71 (5HA20)
Sto	(cm)	15
A t	ransv	4 épingles/ml
V((KN)	1578.733
Ns(KN)		4039.35
	Vé	rification des contraintes
$\tau_u <$	5 МРа	3.91
$\sigma_b < 1$	15 <i>MPa</i>	7.02
	rvation	cv

5.2 Ferraillage des linteaux :

5.2.1 Introduction:

Un linteau est un élément considéré comme une poutre courte à faible rigidité, bi-encastré dans les trimétaux. Les charges horizontales et verticales imposent moments (M) et efforts tranchants (V) sur le linteau. Le linteau peut donc calculée en flexion simple. La méthode de ferraillage ci-dessus est proposée dans la version RPA2003.

5.2.2 Exemple de calcul:

Nous proposons le calcul détaillé en prenons le linteau du voile VL1/BC.RDC.

5.2.3 Caractéristiques géométriques du linteau :

Tableau 5-8 : caractéristique géométrique du linteau.

Niveau	Caractéristiques géométriques					
	$b_0(\text{cm})$ h (cm) d (cm) d' (cm)					
+3.06	20	120	3	3		

5.2.4 Sollicitations dans le linteau :

Tableau 5-9: sollicitation dans le linteau.

niveau	Linteau	cas	V (KN)	M (KN.m)
+3.06	VL1/BC	ELA	466.56	281.617

5.2.5 Contraintes limites de cisaillement dans le linteau (VL1/BC) RDC:

On doit vérifier:

$$\tau_b \leq \overline{\tau_b} = 0.2 f_{c28}$$

$$\tau_b = \frac{\overline{V}}{b_0 d} = \frac{1.4 * 466.56 * 10^{-3}}{0.2 * 1.2 * 0.9} = 3.02 \text{ MPa}$$

$$\tau_b = 3.02 \, MPa \, \leq \overline{\tau_b} = 0.2 f_{c28} = 5 \, MPa$$
 Condition vérifiée.

5.2.6 Ferraillage de linteau :

Suivant RPA99 V2003:

On a
$$\tau_b \ge 0.06 f_{c28}$$

Les efforts (M et V) sont repris suivant des bielles diagonales (de compression et de traction) suivant l'axe moyen des armatures diagonales A_d à disposer obligatoirment.

$$A_d = \frac{V}{2f_e sin\alpha}$$

Avec :
$$tg\alpha = \frac{h-2d'}{l} = \frac{120-2*3}{115} = 0.99 \ d'où \alpha = 44.71^{\circ}$$

$$A_d = \frac{0.46656}{2 * 400 * sin44.71} = 8.29cm^2$$

 \triangleright Calcul des armatures longitudinales $(A_l, A_{L'})$

$$(A_l, A_{L'}) = 0.0015bh = 0.0015 * 20 * 120 = 3.6 cm^2$$

 \triangleright Calcul des armatures transversales (A_t)

$$\tau_b = 3.02MPa \ge 0.025 f_{c28} = 0.625MPa$$

$$A_t = 0.0025 \ b * St = 1 \ cm^2$$

$$S_t \le \frac{h}{4} = \frac{120}{4} = 30$$
 cm soit St =20 cm.

Calcul des armatures de peu (A_c) :

$$A_c \ge 0.0020 * b * h = 0.0020 * 20 * 120 = 4.8 cm^2$$

 \triangleright Calcul des armatures diagonales (A_d)

$$\tau_b = 3.02 MPa \ge 0.06 f_{c28} = 1.5 MPa \rightarrow A_{dmin} = 0.0015 b * h = 3.6 \ cm^2$$
 $A_d = 8.29 \ cm^2 \ge A_{dmin}$

> Longueur de recouvrement

$$L_c = \frac{h}{4} + 50\emptyset \rightarrow L_c = 130cm$$

On peut conclure:

Tableau 5-10: ferraillage du linteau

Armatures	Section calculée (cm²)	Section adoptée (cm²)	Choix
$(A_l, A_{L'})$	3.6	8.55	2H20+2HA12
(A_t)	1	1.57	2HA10
(A_c)	2.4/par nappe	6.79	6HA12
(A_d)	8.29	12.57	4HA20

5.2.7 Caractéristiques géométriques des linteaux (VL2/FG), (VL3/BC), (VL4/FG) RDC :

Tableau 5-11 : caractéristique géométrique du linteau.

	Niveau	Caractéristiques géométriques			
		b_0 (cm)	h (cm)	d (cm)	d' (cm)
VL2/FG	+3.06	20	120	3	3
VL3/BC	+3.06	20	120	3	3
VL4/FG	+3.06	20	120	3	3

5.2.8 Sollicitations dans les linteaux (VL2/FG), (VL3/BC), (VL4/FG) RDC : Tableau 5-12 : sollicitation dans les linteaux.

Niveau	Linteau	Cas	V (KN)	M (KN.m)
+3.06	VL2/FG	ELA	464.77	280.919
+3.06	VL3/BC	ELA	506.26	299.095

+3.06	VL4/FG	ELA	504.41	298.713	

5.2.9 Contraintes limites de cisaillement dans les linteaux (VL2/FG), (VL3/BC), (VL4/FG) RDC :

 \checkmark VL2/FG:

$$\tau_b = \frac{\overline{V}}{b_0 d} = \frac{1.4 * 464.77 * 10^{-3}}{0.2 * 1.2 * 0.9} = 3.01 MPa$$

 $\tau_b = 3.01 MPa \le \overline{\tau_b} = 0.2 f_{c28} = 5 MPa$ Condition vérifiée.

✓ VL3/BC:

$$\tau_b = \frac{\overline{V}}{b_0 d} = \frac{1.4 * 506.26 * 10^{-3}}{0.2 * 1.2 * 0.9} = 3.28 MPa$$

 $\tau_b = 3.28 MPa \le \overline{\tau_b} = 0.2 f_{c28} = 5 MPa$ Condition vérifiée.

✓ VL4/FG:

$$\tau_b = \frac{\overline{V}}{b_0 d} = \frac{1.4 * 504.41 * 10^{-3}}{0.2 * 1.2 * 0.9} = 3.26 MPa$$

 $\tau_b = 3.26 \le \overline{\tau_b} = 0.2 f_{c28} = 5 \, MPa \,$ Condition vérifiée.

5.2.10. Ferraillage des linteaux (VL2/FG), (VL3/BC), (VL4/FG) RDC:

Tableau 5-13 : ferraillage des linteaux.

Linteaux	Armatures	Section calculée (cm²)	Section adoptée (cm²)	Choix
VL2/FG	$(A_l, A_{L'})$	3.6	8.55	2HA20+2HA12
	(A_t)	1	1.57	2HA10
	(A_c)	2.4/par nappe	6.79	6HA12
	(A_d)	8.26	10.05	4HA16
VL3/BC	$(A_l, A_{L'})$	3.6	5.34	2HA14+2HA12
	(A_t)	1	1.57	2HA10
	(A_c)	2.4/par nappe	6.79	6HA12
	(A_d)	8.99	10.05	4HA16
VL4/FG	$(A_l, A_{L'})$	3.6	5.34	2HA14+2HA12
	(A_t)	1	1.57	2HA10
	(A_c)	2.4/par nappe	6.79	6HA12
	(A_d)	8.96	10.05	4HA16

2HA20+2HA12 Cadres HA10; St-20cm AD=4HA30 2HA20+2HA12

5.2.11 Schéma ferraillage de linteau (VL1/BC) RDC:

Figure 5-5 : Schéma ferraillage de linteau (VL1/BC)RDC

5.3 Ferraillage des poteaux :

5.3.1 Introduction:

Le poteau est un élément destine à absorber et transférer des charges dans une structure soumise à des efforts verticaux et des moments de flexion.

Par conséquent, le renforcement est réalisé par flexion composée selon la pire combinaison de contraintes.

5.3.2 Armatures longitudinales:

Étant donné que la structure comporte trois sections différentes de poteaux, les zones qui concernent les poteaux seront délimitées comme suit :

Zone 1 : entre sol - ET1 : pour les poteaux de section $(60 \times 60)cm^2$

Zone 2 : ET2 – ET3 : pour les poteaux de section $(55 \times 55)cm^2$

Zone 3 : ET4 – ET5 : pour les poteaux de section $(50 \times 50)cm^2$

Zone 4 : ET6 – ET7 : pour les poteaux de section (45×45) cm²

Zone 5 : ET8 – ET9 : pour les poteaux de section $(40 \times 40) cm^2$

D'après RPA99version 2003 :

- Les armateurs longitudinaux doivent être à haute adhérence, droites et sans crochet.
- Leur pourcentage minimal est 0,9% en zone 3.
- Leur pourcentage maximal est 4% en zone courante et 6% en zone de recouvrement
- Le diamètre minimum est 12 mm

- La longueur minimale des recouvrements est 50φ en zone 3.
- La distance entre les barres verticales St dans une face du poteau ne doit pas dépasser 20cm en zone 3.

Recommandation du BAEL91 :

$$\begin{cases} Amin = max \left(4 \ cm^2/ml \ , \frac{2B}{1000} \right) \\ Amax = \frac{5B}{100} \end{cases}$$

B : section du béton = $b \times h$

(b = h côtes du poteau)

$$A \ge \frac{0.23 \times f_{c28}}{fe} b_0 \times d \frac{e - 0.45d}{e - 0.185d}$$

> Ferraillage minimum d'après le CBA93 :

$$A_{cnf} \geq \frac{0,\!23.\,b_0.\,d.\,f_{t28}}{fe}$$

Les résultats sont résumés dans le tableau suivant :

Tableau 5-14 : ferraillage maximal et minimale des poteaux.

			BAEL	BAEL91			RPA99/2003		
Niveau	Zone	Section	Amin	Amax	Acnf	Amin	Amax	Amax	
		Cm	cm^2	cm^2	cm^2	cm ²	Zone	Zone de	
							courante	Recouvrement	
							cm^2		
ES/RDC/ET1	1	60x60	7.2	180	3.91	28.25	144	216	
ET2/ET3	2	55x55	6.05	151.25	3.28	24.20	121	181.5	
ET4/ET5	3	50x50	5	125	2.71	20.01	100	150	
ET6/ET7	4	45x45	4.05	101.25	2.20	15.43	81	121.5	
ET8/terrasse	5	40x40	4	80	1.73	11.25	64	96	

• Calcule le ferraillage de poteau :

Tableau 5-15: ferraillage longitudinal des poteaux.

Zone	N KN	M KN.m	Section cm ²	A CNF cm ²	A RPA Cm ²	Ac cm ²
1	Nmax = 2573.48	Mcor= 66.02		3.91	28.25	0.10
	Nmin= 192.51	Mcor= 63.86	60x60			0.43
	Ncor= 2136.96	Mmax= 75.46				
2	Nmax=1829.15	Mcor= 59.98				

Chapitre V: Etude des éléments structuraux.

	Nmin= 131.39	Mcor= 39.55	55x55	3.28	24.20	0.26
	Ncor= 915.27	Mmax= 81.71				
3	Nmax= 1115.81	Mcor= 23.71				
	Nmin= 111.27	Mcor=22.17	50x50	2.71	20.01	0
	Ncor= 526.35	Mmax= 98.05				
4	Nmax= 721.64	Mcor= 12.48				
	Nmin= 103.8	Mcor= 16.91	45x45	2.20	15.43	3.25
	Ncor= 348.63	Mmax= 122.13				
5	Nmax= 267.40	Mcor= 27.63				
	Nmin= 79.37	Mcor= 9.80	40x40	1.73	11.25	4.12
	Ncor= 226.80	Mmax= 145.76				

• Choix des armatures des poteaux :

$$A_{adopt} = \max(A_{cnf}, A_{min}, A_{scal})$$

Tableau 5-16: choix des armatures longitudinal des poteaux.

zon e	section (cm ²)	$A_{cnf}(cm^2)$	$A_{min}(cm^2)$	$As_{cal}(cm^2)$	Choix des armatures	$A_{adopt}(cm^2)$
1	60x60	3.91	28.25	0.43	8HA16+4HA20	28.65
2	55x55	3.28	24.20	0.26	8HA14+4HA20	24.88
3	50x50	2.71	20.01	0	8HA14+4HA20	24.88
4	45x45	2.20	15.43	3.23	4HA14+4HA20	18.53
5	40x40	1.73	11.25	4.12	2HA14+4HA20	15.65

5.3.3 Armatures transversales:

Recommandation du RPA:

Selon le RPA les armatures transversales des poteaux sont calculées à l'aide de la formule suivante

$$\frac{At}{t} = \frac{\rho a. Vu}{h. fe}$$

Vu : est l'effort tranchant de calcul

h1: hauteur totale de la section brute

fe : contrainte limite élastique de l'acier d'armature transversale

 ρ_a : est un coefficient correcteur qui tient compte du mode fragile de la rupture par effort tranchant, il est pris égale

$$\rho_a \begin{cases} 2.5 \to \lambda g \ge 5 \\ 3.75 \to \lambda g < 5 \end{cases}$$

λg: l'élancement géométrique du poteau

$$\lambda g = \frac{Lf}{g}$$
 , $\lambda g = \frac{Lf}{h}$

Lf:la longueur de flambement des poteaux.

A,b : dimensions de la section droite du poteau.

$$L_f = 0.7 \times h_0$$

St : espacement des armatures transversales

$$ZONE \ 3 \begin{cases} St \leq 10cm \quad \rightarrow zone \ nodale. \\ St \leq min \left(\frac{b}{2}, \frac{h}{2}, 10 \emptyset 1\right) \quad \rightarrow zone \ courante \ . \end{cases}$$

Ø1 :Diametre minimal des armatures longitudinales

Tableau 5-17: coefficient correcteur.

Zone	Section (cm ²)	Lf	$\lambda g(\%)$	$ ho_a$
		(m)		
1	60x60	2.576	4.29	3.75
2	55x55	2.142	3.89	3.75
3	50x50	2.142	4.28	3.75
4	45x45	2.142	4.76	3.75
5	40x40	2.142	5.36	2.5

Espacement des armatures transversales :

Zone nodale:

St = 10cmen zone III.

Zone courante:

 $St = min (b1/2, h1/2, 10\emptyset)$ en zone III.

Ø : diamètre minimal des armatures longitudinales du poteau.

La quantité d'armature transversales minimales :

$$\begin{cases} 0,3\% \to si\lambda_g \geq 5 \\ 0,8\% \to si\lambda_g \leq 3 \\ interpolation\ entre\ les\ valeurs\ limites\ précédentes \ \to si\ 3 < \lambda_g < 5 \end{cases}$$

 $\lambda_{g:}$ est l'élancement géométrique du poteau.

$$\lambda_g = \frac{l_f}{a} ou \frac{l_f}{b}$$

a, b : dimensions de la section droite du poteau.

 l_f : Longueur de flambement du poteau.

Tableau 5-18 : les résultats du ferraillage transversal.

Zone 1	Section	ρ_a	Vu	Zone	St	At cal	Choix	As
			(KN)		(cm)	(cm^2)		adopte
								(cm^2)
1	60x60	3.75	28.15	N	10	0.041	4HA8	2.01
				C	15	0.065		
2	55x55	3.75	25.94	N	10	0.044	4HA8	2.01
				С	15	0.066		
3	50x50	3.75	20.79	N	10	0.039	4HA8	2.01
				С	15	0.058		
4	45x45	3.75	17.85	N	10	0.037	4HA8	2.01
				С	15	0.055	1	
5	40x40	2.5	21.96	N	10	0.034	4HA8	2.01
				C	15	0.051		

5.3.4 Vérification:

5.3.4.1 Sollicitations tangentes des poteaux : (RPA99 version 2003 art 7.4.3.2)

La contrainte de cisaillement de calcul dans le béton τ_{bu} sous combinaison sismique doit être inferieure ou égale a la valeur limite suivante :

Pour fissuration peu préjudiciable

$$\begin{aligned} \tau_u &= \frac{Vu}{bd} < \overline{\tau}_{bu} = \rho_d, Fc28 \\ avec: \rho d \begin{cases} 0.075 \rightarrow si \ \lambda_g \geq 5 \\ 0.04 \rightarrow si \ \lambda_g < 5 \end{cases} \end{aligned}$$

Les résultats sont résumés dans le tableau suivant :

Tableau 5-19: sollicitation tangente dans les poteaux.

Poteaux	Lf	$\lambda_g\%$	$ ho_d$	Vu	$ au_u$	$ au_{bu}$	Observation
60x60	2.576	4.29	0.04	28.15	0.087	1	Cv
55x55	2.142	3.89	0.04	25.94	0.095	1	Cv
50x50	2.142	4.28	0.04	20.79	0.092	1	Cv
45x45	2.142	4.76	0.04	17.85	0.098	1	Cv
40x40	2.142	5.36	0.075	21.96	0.15	1.875	Cv

✓ Ferraillage des poteaux :

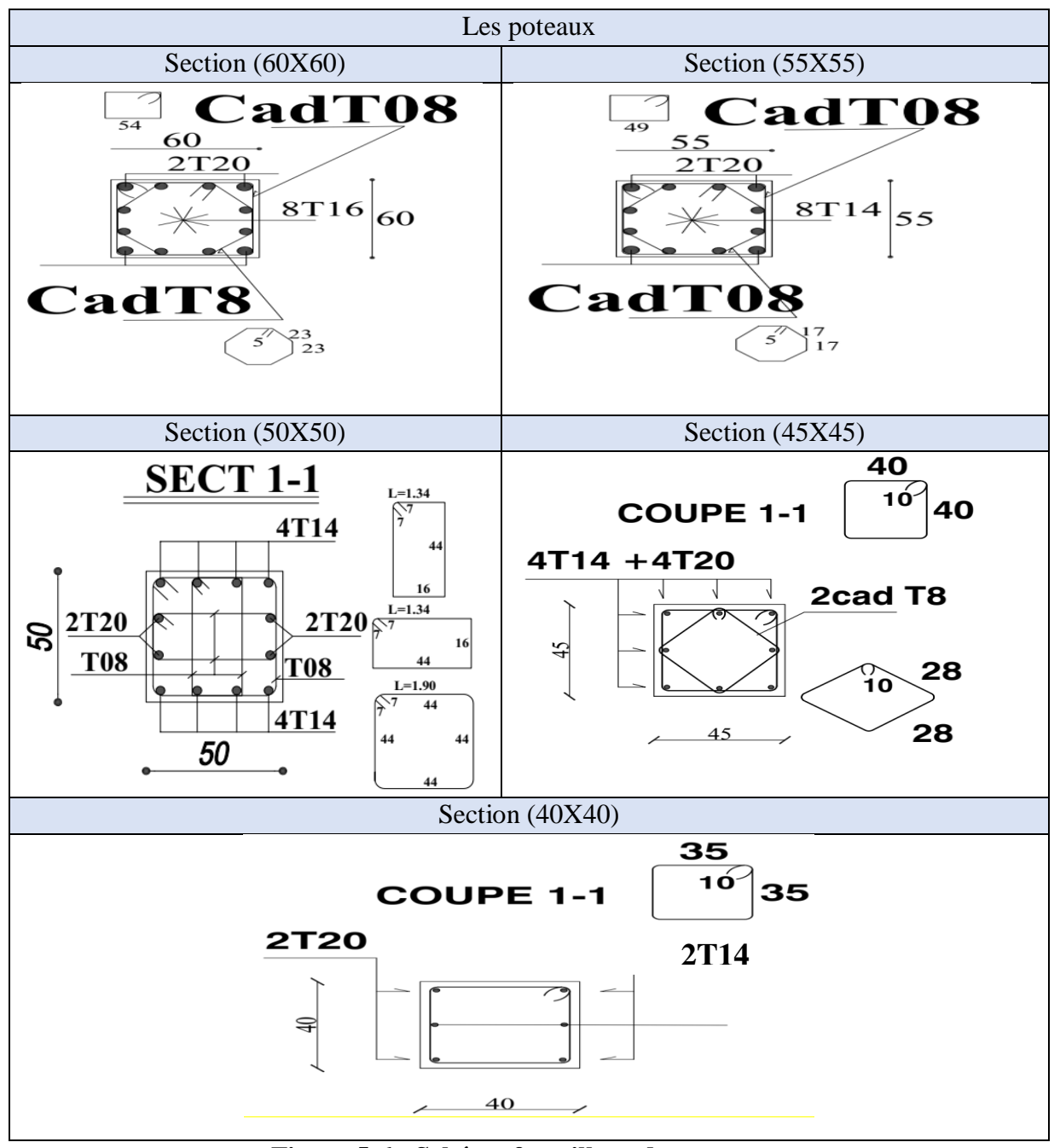


Figure 5-6 : Schéma ferraillage des poteaux

5.4 Ferraillage des poutres :

5.4.1 Introduction:

Une poutre est un élément structurel horizontal capable de transférer charges à ses supports et est soumise à des moments de flexion et a des forces de cisaillement.

Le ferraillage des poutres est calculé en respectant le pourcentage minimal impose par le RPA99 version 2003 en zone 3

{poutre principale
$$\rightarrow b \times h = 30x45$$

poutre secondaire $\rightarrow b \times h = 30x40$

deux sittuation $\begin{cases} situation\ durable: 1,35G+1,5Q \\ situation\ accidentelle: G+Q\pm E/0,8\pm Q \end{cases}$

Recommandation du RPA99/version 2003 en zone 3 art 7.5.2

5.4.2 Armatures longitudinales: RPA 99 version 2003 art 7.5.2.1

- Le pourcentage total minimum des aciers longitudinaux sur toute la longueur de la poutre est de 0,5 % en toute la section Amin = 0,5 % b. h
- Le pourcentage total maximum des aciers longitudinaux est de :

 $\{4\% \rightarrow Amax = 4\% \ b.h$ en zone courante $\{6\% \rightarrow Amax = 6\% \ b.h$ en zone de recouvrement

- La longueur minimale de recouvrement est de 50Φ en zone 3
- L'ancrage des armatures longitudinales supérieures et inferieures dans les poteaux de rive et d'angle doit être effectue avec des crochets a 90%

Tableau 5-20 : Caractéristiques des poutres.

	h	b	С	D	Fc28	Fe	Fissuration
Poutre principale	45	30	2.5	40.5	25	400	Peu préjudiciable
Poutre secondaire	40	30	2.5	36	25	400	Peu préjudiciable

> Ferraillage longitudinale :

Les poutres travaillent à la flexion simple, les moments maximaux en travées et en appuis sont obtenus par le logiciel de calcul **ETABS**.

Tableau 5-21: Choix des armatures longitudinales des poutres.

Poutres	Section	M (KN.m)		A_s (cm^2)	A_{min} (cm^2)	$A_{max}ZC$ cm^2	$A_{max}ZR$ cm^2	Choix des armatures	A_{adopt}
PP	0.3x0.45	$M_{trav\'ee}$	46.93	3.28				3T16+3T12	9.42
		M_{appui}	109.24	8.03	6.75	54	81	3T16+3T12	9.42
PP liée	0.3x0.45	$M_{trav\'ee}$	98.37	7.16				6T20	18.85
aux voiles		M_{appui}	263.28	18.09				6T20	18.85
PS	0.3x0.4	$M_{trav\'ee}$	53.50	4.31				4T14+2T12	8.42
		M_{appui}	70.59	5.79	6	48	72	4T14+2T12	8.42
PS liée	0.3x0.4	$M_{trav\'ee}$	53.21	4.29				4T20+2T14	15.65
aux voiles		M_{appui}	215.87	15.23				4T20+2T14	15.65

5.4.3 Armatures transversales: RPA99 version2003art7.5.2.2

- La quantité d'armatures transversales minimales est donnes par

$$A_t = 0.003S_t.b$$

- L'espacement maximum entre les armatures transversales comme suit

$$\begin{cases} St \leq min\left(\frac{h}{4}, 12\emptyset\right) & dans \ la \ zone \ nodale \\ St \leq \frac{h}{2} & en \ dehors \ de \ la \ zone \ nodale \end{cases}$$

- La valeur du diamètre θ des armatures longitudinales à prendre est le plus petit diamètre, et dans le cas de section en travée et les armatures comprimées c'est le plus petit des aciers comprimes.
- Les premières armatures transversales doivent être disposées à 5cm au plus du nu de l'appui ou de l'encastrement

Recommandation du BAEL 91:

• Armatures longitudinales :

$$A_{tmin}=0,\!23b.\,d.\frac{FC28}{Fe}$$

• Armatures transversales :

La section minimale At doit vérifier

$$A_t \ge \frac{1}{fe} \, 0, 4. \, b. \, St$$

$$S_t \le \frac{At}{b} \times \frac{0.9fe}{\gamma_s(\tau_u - 0.3.k.ft)}$$

Avec:

B: largeur de poutre

St: l'espacement des cours d'armatures transversales.

Contrainte de cisaillement :

$$\tau_u = \frac{Vu}{b.\,d}$$

Avec

Vu: effort tranchant

B: largeur de la poutre

D: hauteur utile = 0.9 h

h: hauteur totale de la section brute

Diamètre des armatures d'âme : BAEL Art7.4.2.3

$$\emptyset_t \leq min\left(\frac{h}{35}, \frac{b_0}{10}, \emptyset_{t \, min}\right)$$

- Poutres principales :

$$\emptyset_t \le min(1.29, 3, 8)$$

Soit : $\emptyset_t = 8 mm$. Poutres secondaires :

 $\emptyset_t \leq \min(1.14, 3, 8)$

Soit : $\emptyset_t = 8 mm$.

Espacement maximale:

$$S_{T max} \leq \min(0.9d, 40 \ cm, 15 \ \emptyset_{min})$$

$$S_{t max} \le min (40.5cm, 40cm, 15 * 1.2)$$

On adopte St= 15 cm.

Les résultats dans ce tableau :

Tableau 5-22 : Armatures transversales des poutres.

Poutre	Vu	$ au_u$	St	At	Choix des	A adopté
					armatures	
Pp	92.58	0.76	15	0.98	4HA8	2.01
Pp	169.11	1.39	15	1.23	4HA8	2.01
liée aux voiles						
Ps	43.20	0.4	15	0.56	4HA8	2.01
Ps	81.48	0.75	15	0.96	4HA8	2.01
Liée aux voiles						

Espacement maximale: (poutre principale):

- Zone nodale

Longueur de zone nodale L'=2 h = 2x45 = 90 cm.

$$S_t \leq min\left(\frac{h}{4}, 12\emptyset, 30~cm~\right) = 11.25$$

St = 10 cm.

- Zone courante

$$S_t \le \frac{h}{2} = 22.5$$

St = 15 cm.

Espacement maximale : (poutre secondaire)

- Zone nodale

Longueur de zone nodale L'=2 h = 80 cm.

$$S_t \leq min\left(\frac{h}{4}, 12\emptyset, 30\ cm\ \right) = 10\ cm$$

$$St = 10 cm$$
.

- Zone courante

$$S_t \le \frac{h}{2} = 20 \ cm.$$

$$St = 15 \text{ cm}.$$

Conclusion:

- Poutres principales :

Zone nodale St= 10 cm.

Zone courante St= 15 cm.

- Poutres secondaires :

Zone nodale St = 10 cm.

Zone courante St= 15 cm.

5.4.4 Vérification:

✓ Contrainte de cisaillement du béton :

$$\tau_u = \frac{Vu}{b.\,d} \leq \overline{\tau}_u = min\left(\frac{0.2Ft28}{\gamma_b}, 5MPa\right) = \ 3.33MPa.$$

Les résultats sont résumés dans ce tableau suivant

Tableau 5-23: Longueur minimal de recouvrement.

Poutre	Section	Vu	$\overline{ au}_u$	$ au_u$	Observation
Pp	30x45	92.58	3.33	0.76	Cv
Pp	30x45	169.11	3.33	1.39	Cv
Liée aux voiles					
Ps	30x40	43.20	3.33	0.4	Cv
Ps	30x40	81.48	3.33	0.75	Cv
Liée aux voiles					

✓ La condition de non fragilité :

$$A_s \ge A_{s min} = 0.23 \ bd \ Ft28/fe$$

- Poutre principale :

$$A_{s min} = 1.47 cm^2$$

- Poutre secondaire :

$$A_{s \ min} = 1.3$$

Donc $A_s \ge A_{smin}$ Condition vérifiée.

✓ Contrainte de compression dans le béton :

$$\sigma_b < \sigma_{bc} = 0.6 F_{c28}$$

$$k = \frac{Mser}{I}$$

$$Y = \frac{15(A_s + A_s'')}{b} \left[\sqrt{1 + \frac{b(dA_s + d'A_s'')}{7.5(A_s + A_s'')^2} - 1} \right]$$

$$I = \frac{by^3}{3} + 15[A_s(d - y)^2 + A_s'(y - d')^2].$$

Tableau 5-24 : récapitule des résultats de contraintes de compression dans le béton.

Poutre	Position	Mser (KN.m)	As (cm ²)	$I(cm^4)$.	Y(cm)	K(kg/cm ³)	$\sigma_{bc}(\text{MPa})$	Observation
PP	MTravée	19.21	9.42	15.64x10 ⁴	14.28	1.22	15	Cv
	MAppui	32.02	9.42	15.64x10 ⁴	14.28	2.05	15	Cv
PP Liée aux	Mtrave	50.59	18.85	25.87x10 ⁴	19.63	1.95	15	Cv
voiles	Mappui	63.37	18.85	$25.87x10^4$	19.63	2.45	15	Cv
PS	MTravée	28.34	8.42	9.53x10 ⁴	11.70	2.97	15	Cv
	Mappui	39.12	8.42	$9.53x10^4$	11.70	4.10	15	Cv
PS liée aux	MTravée	31.18	15.65	17.63x10 ⁴	16.41	1.76	15	Cv
voiles	Mappui	54.48	15.65	17.6310 ⁴	16.41	3.09	15	Cv

✓ Ferraillage des poutres :

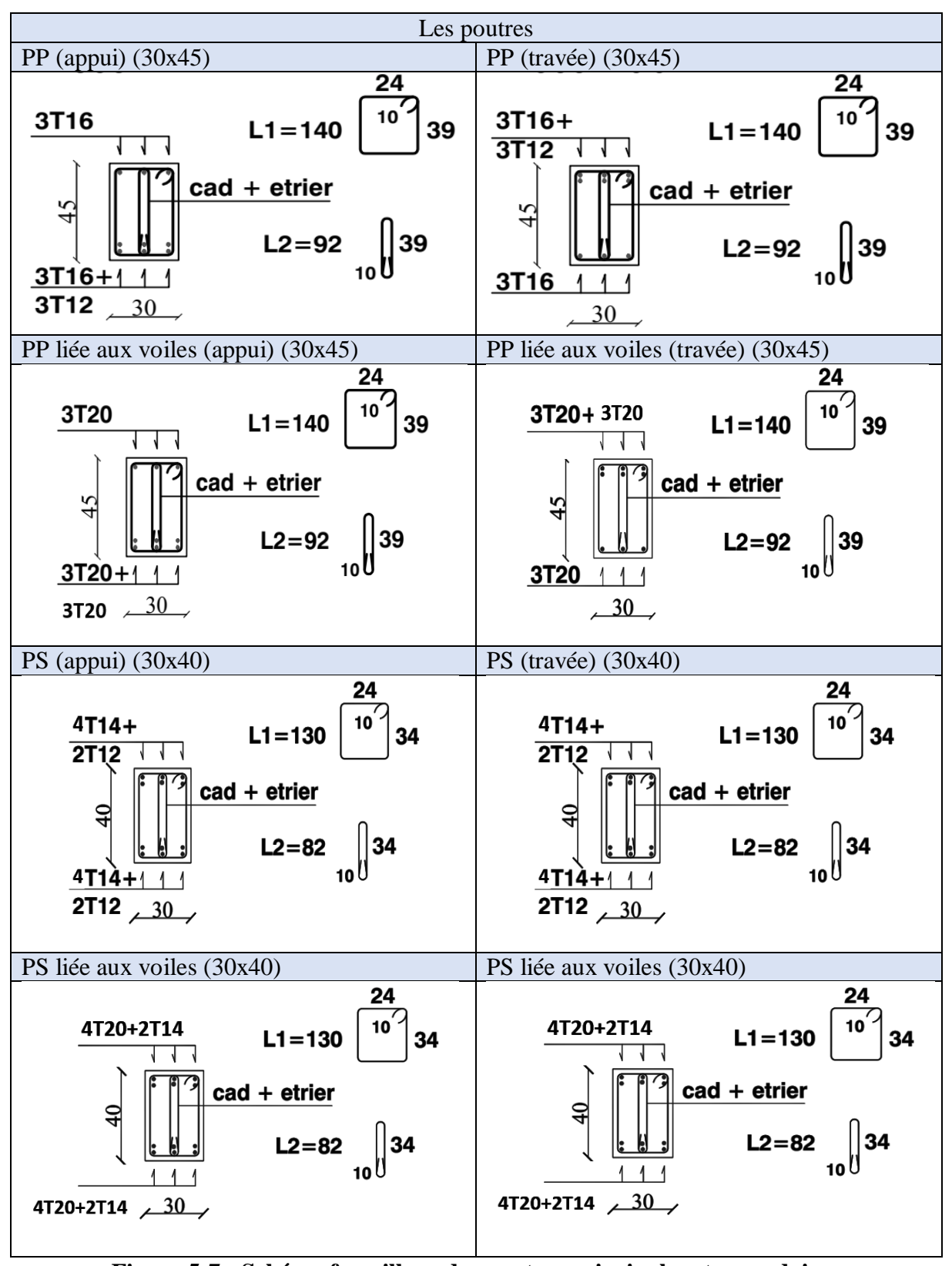
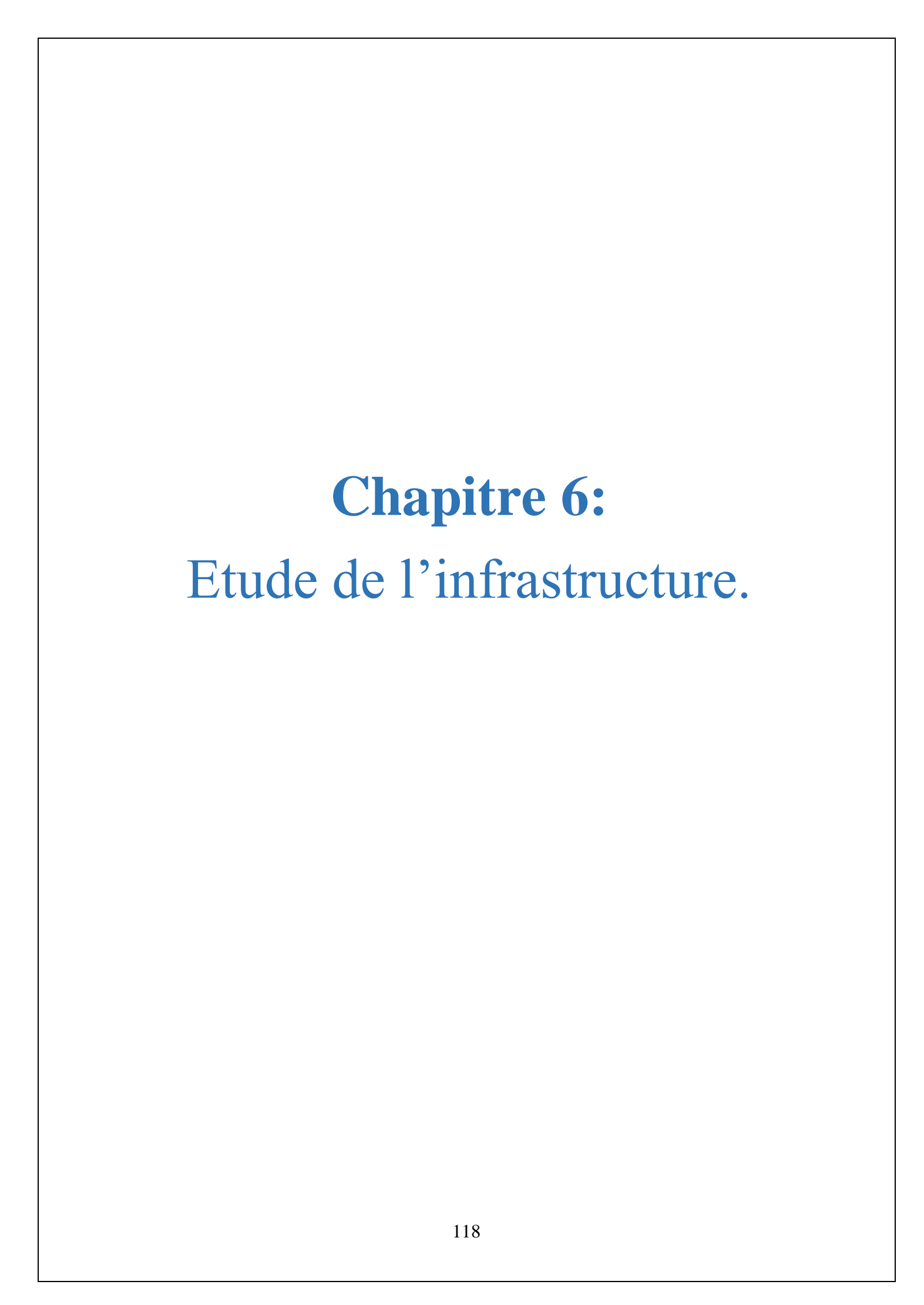


Figure 5-7 : Schéma ferraillage des poutres principales et secondaires



6 Introduction:

Les fondations d'une structure sont constituées des parties de la structure qui sont en contact avec le sol et transfèrent les charges de la superstructure. Elles représentent donc une partie essentielle du travail, et leur bonne conception et exécution conduisent à de bonnes performances globales.

Les éléments de fondation transfèrent les charges directement au sol (la fondation est posée au sol ou sur un radier) ou par d'autres arrangements (par exemple, les fondations sur pieux).

6.1 Étude de sol :

Le choix de fondation dépend principalement d'une étude détaillée du sol, qui renseigne sur la capacité portante du sol.

Le terrain choisi pour notre projet est situé à Thenia dans la wilaya de Boumerdès.

- Le site construction d'un bâtiment à usage d'habitation R+9 a Thenia ne pose aucun problème technique particulier lie au sol qui empêcherait la construction de l'ouvrage projet.
- Sur le plan résistance et d'après la classification du RPA version 2003, le sol du site peut être classe comme un site meuble
- L'analyse chimique réaliser sur le sol du site a montré que celui-ci est non agressif, par conséquent, le sol n'est pas agressif vis-à-vis du béton de son infrastructure.

6.2 Type de fondation :

Les fondations superficielles :

Elle est généralement définie comme la profondeur d'immersion dans le sol D, n'excédant pas quatre fois la largeur du semelle B (la dimension minimale).

Pour remplir cette condition, la relation suivante doit être respectées : $\frac{D}{B} < 4$

Habituellement utilise lorsqu' il Ya une couche de sol a faible profondeur pouvant supporter une structure (sol de bonne qualité.)

Les principaux types de fondation superficielles que l'on rencontre dans la pratique sont :

- 1) Les semelles continues sous murs.
- 2) Les semelles continues sous poteaux.
- 3) Les semelles isolées.
- 4) Les radiers.

Les fondation semi profondes :

Les fondations semi profondes sont utilisées lorsque des fondations peu profondes ne sont pas possibles et que des fondations profondes ne sont pas nécessaires.

Ces fondations protègent également contre les cycles de gel et de dégel du sol.

> Les fondations profondes :

Dans certains cas, la surface du sol contient une couche compressible a faible capacité portante, tandis que la couche sous-jacente est solide.

Deux méthodes courantes sont utilisées pour baser les structures sur cette couche solide (substrat) : puits (pour les fondations peu profondes) et les pieux. Pour rapports : $\frac{D}{B} > 10$

6.3 Choix type de fondations :

Le choix type de fondation dépend de plusieurs paramètres :

- Type de construction.
- Caractéristique du sol.
- Charge apportée par structure.
- Solution économique et facilitée de réalisation.
- Stabilité totale du bâtiment.

Deux cas peuvent présenter en fondation superficielles :

- Semelle filante.
- Radier général.
- > Semelle filante :

La surface des semelles doit être inférieure à 50% de la surface totale du bâtiment

$$(S_s/S_h < 50\%)$$

La surface de la semelle est donnée par : $\sigma_{sol} > \frac{N_s}{S} = \frac{G+Q}{B\times L}$

Avec:

 σ_{sol} : Contrainte admissible du sol.

$$\sigma_{adm} = 1.6 \ bars = 0.16 \ MPa$$

Profondeur d'ancrage de 4m

L'effort normal supporte par la semelle filante est la somme des efforts normaux a la base des poteaux qui se trouve dans la même ligne.

On doit vérifier que :

$$\sigma_{sol} > \frac{Ns}{s}$$

Tel que:

 $N = \Sigma Ni$ de chaque fil de poteaux et voiles .

$$S = B \times L \rightarrow \begin{cases} B : \text{largeur de la semelle.} \\ L : \text{longeur de la fil consideree.} \end{cases}$$

On a:

$$S_{batiment} = 26.4 \times 16.60 = 438.24m^2$$

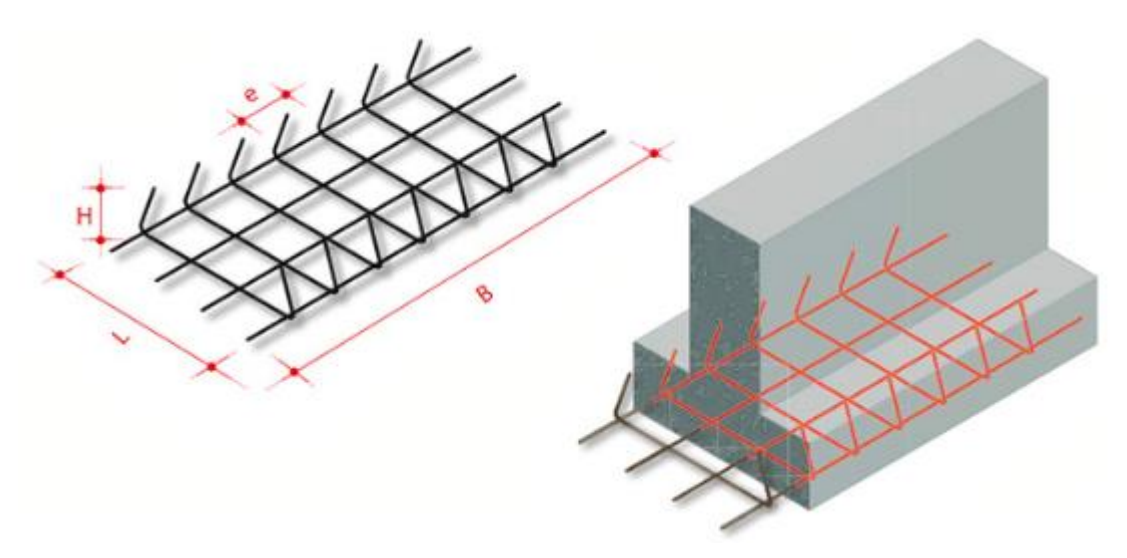


Figure 6-1: semelle filante.

Conclusion:

La surface totale des semelles occupe plus de 50% de la surface d'emprise de l'ouvrage, choisissez donc un radier général.

Ce type de fondation présente plusieurs avantages :

- L'augmentation de surface de la semelle minimes.
- La pression exercée par la structure.
- La réduction des tassements différentiels.
- La facilite d'exécution.

6.4 Etude de radier :

6.4.1 Introduction:

Un radier est une dalle solide qui constitue la totalité des fondations d'un bâtiment.

Il s'étend sur toute la surface de l'ouvrage. Cette méthode de fondation est utilisée dans deux cas :

- Lorsque la capacité portante du sol est faible.
- Lorsque le sous-sol d'un bâtiment est inondable.

Dans notre cas, on optera un radier général et l'effort normal supporter par le radier est la somme des efforts normaux de tous les poteaux.

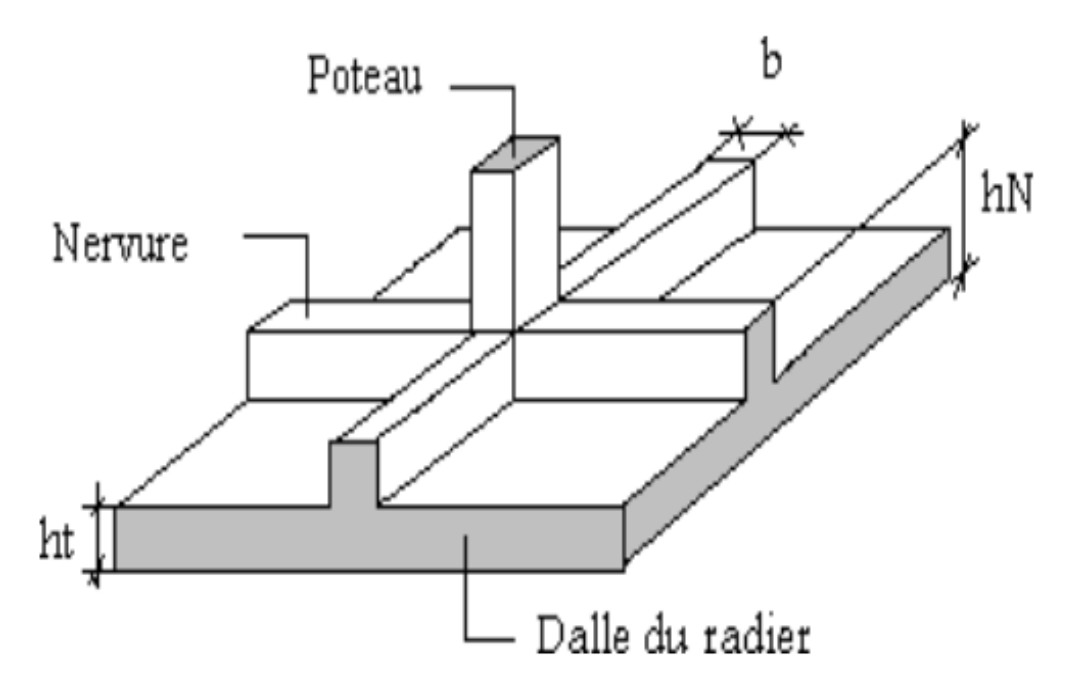


Figure 6-2: disposition des nervures par rapport au radier et aux poteaux.

6.4.2 Surface nécessaire :

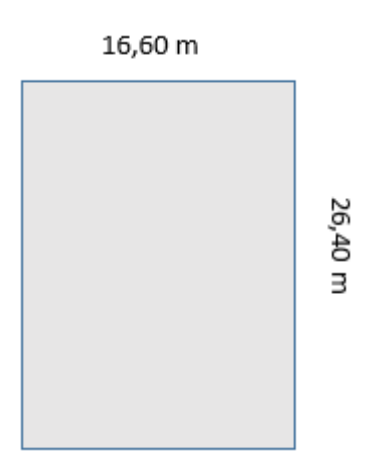


Figure 6-3: Dimension de l'ouvrage.

6.4.3 Prédimensionnement du radier :

• Condition forfaitaire:

L'épaisseur du radier doit satisfaire la condition suivante :

$$\frac{L_{max}}{8} \le h_r \le \frac{L_{max}}{5}$$

 L_{max} : distance maximale entre deux voiles successifs est égale à 4,1 m

D'où:

$$\frac{500}{8} \le h_r \le \frac{500}{5} \rightarrow 62.5 \ cm \le h_r \le 100 \ cm \rightarrow on \ adopte : h_r = 89 \ cm$$

• Condition de rigidité :

$$L_e = \frac{2L_{max}}{n} \ge \sqrt[4]{\frac{4.E.I}{k.b}}$$

 L_{max} : Plus grande distance en deux points d'appuis.

 L_e : longueur elastique.

E: module d'élasticité du béton. E = 32164,2 MPA

b : largeur du radier (bande de 1 mètre.)

k : coefficient de raideur du sol rapporter à l'unité de la surface.

Pour un sol moyen k = 40 MN/m

$$h_r \ge \sqrt[3]{\frac{48.k.Lmax^4}{E.\pi^4}} = \sqrt[3]{\frac{48 \times 40000 \times 5^4}{32164,19 \times \pi^4}} = 0,73m$$

• Condition de non poinçonnement :

Sous l'action des forces localisées, il y a lieu de vérifier la résistance de radier au poinçonnement par l'effort tranchant.

Cette vérification s'effectue comme suit :

$$N_u = 0.045. \, \mu_c. \, h. \frac{f_{c28}}{\gamma_h}$$

 N_u :La charge de calcul vis-à-vis de

 μ_c : Perimetre de la surface d'impact projete sur le plan moyen du radier.

$$N_u \le 0.045 \times 2(a' + b' + 2h_r) \times h_r \times \frac{f_{c28}}{\gamma_b}$$

$$h_r = 0.89 \text{m}$$

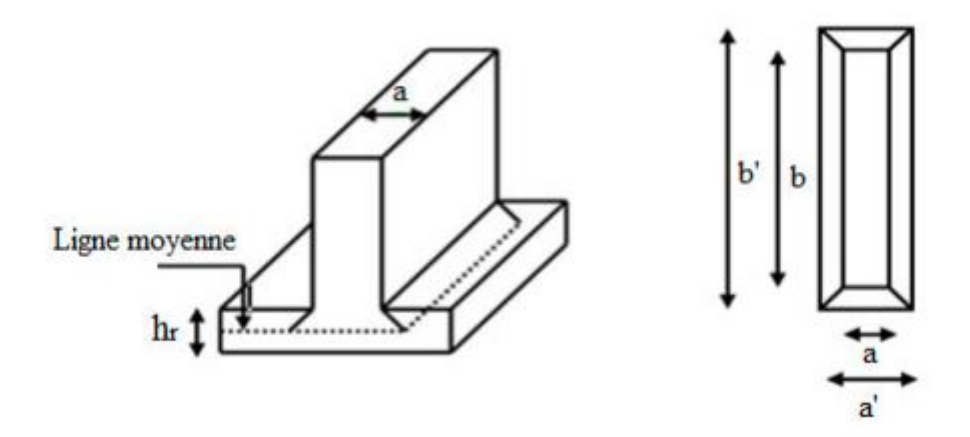


Figure 6-4 : schéma de radier nervure.

• Condition de non cisaillement :

D'après le règlement (CBA 93 Art A-5-1) On doit vérifier que :

$$\tau_{u} = \frac{Vu}{bd} \leq \overline{\tau}_{u} = 0.2 \times \frac{f_{c28}}{\gamma_{b}} = 3.33 \, MPa$$

$$V_{U} = q_{u} \times \frac{Lmax}{2} = \frac{N_{u}.b}{S_{bat}} \times \frac{L_{max}}{2} = 982.02 KN$$

$$\tau_{u} \leq \overline{\tau}_{u} \quad \rightarrow \quad \frac{Vu}{bd} \leq 3.33 \quad \rightarrow \quad \frac{v_{u}}{0.9.h.b} \leq 3.33$$

$$h \geq \frac{vu}{3.33.0,60.0,9} = \frac{982.02}{3.33 \times 0.60 \times 0.9} = 0.595 m$$

On adopte : $h_r = 0.89m$

• Condition de coffrage :

• Pour les nervures :

$$h_p \geq \frac{L_{max}}{10} \ \rightarrow \ h_p \geq \frac{500}{10} \ \rightarrow h_p \geq 50 \ cm$$

• Pour les dalles :

$$h_t \ge \frac{L_{max}}{20} \rightarrow h_t \ge \frac{500}{20} \rightarrow h_t \ge 25cm$$

D'après les conditions précédentes, nous optons pour un radier nervure de dimensions :

$$h_t = 30cm$$

$$h_p = 50cm$$

La surface minimale du radier :

La surface d'emprise du bâtiment est égale à: $S_{bat}=438,\!24~cm^2$

Nu =89587,3 KN

Nser = 65454,78KN

6.4.4 Détermination de la surface nécessaire du radier :

A l'ELU:

$$S_{RAD} \ge \frac{Nu}{1,33 \times \sigma_{SOI}} \rightarrow S_{RAD} \ge \frac{89587,3}{1,33 \times 160} = 420,99m^2$$

A l'ELS:

$$S_{RAD} \ge \frac{Nu}{\sigma_{Sol}} \rightarrow S_{RAD} \ge \frac{65454,78}{160} = 409,09m^2$$

 $S_{bat} = 438,24cm^2$

 $\geq S_{RAD} \quad$ donc la surface du radier est égale à la surface de la structure .

6.4.5 Calcul de débordement :

$$D \ge max\left(\frac{h}{2}, 30 \ cm\right) = 40 cm$$

On prend : D = 50 cm.

6.4.6 Les vérifications :

Vérification sous l'effet de la pression hydrostatique :

La vérification du radier sous l'effet de la pression hydrostatique est nécessaire afin de s'assurer du non soulèvement du bâtiment sous l'effet de cette dernière. Elle se fait en vérifiant que :

$$w \ge F_s \times \gamma \times z \times s$$

Avec:

W: poids total du bâtiment a la base du radier.

W = W raider + W bâtiment

W rad = W dalle + W ner

W dalle = $438,24 \times 0,3 \times 25 = 3286,8$ KN

W ner = 1816,375KN

W rad = 3286.8 + 1816.375 = 5103.175KN

Et on a:

 F_s : Coefficient de sécurité vis à vis du soulèvement, Fs=1,5

 γ :Poid volumique de l'eau. (10KN/ m^3)

Z : profondeur de l'infrastructure. (h= 3,68m)

S: surface du radier. $S = 438,24m^2$

$$F_s. \gamma. Z. S = 1.5 \times 10 \times 3.68 \times 482.24 = 26619.65 KN$$

> Caractéristique géométrique du radier :

- Centre de gravité du radier :

$$XG = 13,2 \text{ m}$$

$$YG = 8,3 \text{ m}$$

- Centre de masse de la structure :

$$XG = 12,05m$$

$$YG = 7.37 \text{ m}$$

- L'excentricité:

$$eX = |XR - XS| = 1.15m$$

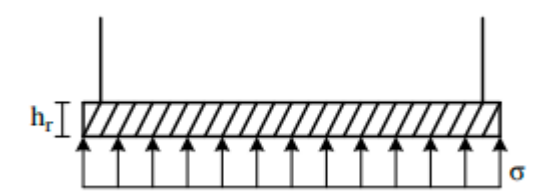
$$eY = |YR - YS| = 0.93m$$

> Vérification des contraintes :

Les contraintes sous le radier devront toujours être inférieures ou égales à la contrainte admissible du sol.

Etant donné que les résultantes des charges verticales est centrée sur le radier, le diagramme de réaction du sol est uniforme :

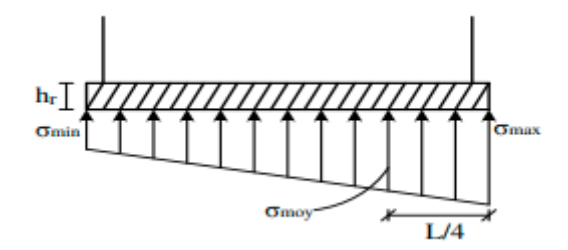
$$\sigma = \frac{N}{S}$$



Vis-à-vis des charges horizontales le diagramme devient trapézoïdal ou triangulaire.

$$\sigma_{max} = \frac{N}{S} + \frac{M.V}{I}$$

$$\sigma_{min} = \frac{N}{S} - \frac{M.V}{I}$$



Le radier est sollicité par les efforts suivants :

N : effort normal de calcul.

M : moment d'excentricité dû aux charges verticales. M = N.C

Les vérifications seront faites avec une contrainte moyenne prise conventionnellement égale a $\sigma\left(\frac{L}{4}\right)$

$$\sigma_{moy} = \frac{3\sigma_{max} + \sigma_{min}}{4} < \sigma_{adm}.$$

On doit vérifier que :

ELU: $\sigma_{mov} \leq 1.33 \times \sigma_{adm}$

ELS : $\sigma_{mov} \leq \sigma_{adm}$

$$I_x = \Sigma i_0 + \Sigma (A_i. d_i^2)$$
, $\Sigma i_0 = \Sigma \left(\frac{bh^3}{12}\right)$

$$I_y = \Sigma i_0 + \Sigma (A_i.d_i^2)$$
, $\Sigma i_0 = \Sigma \left(\frac{bh^3}{12}\right)$

 d_i :La distance entre centre de masse et centre de rigidité.

Les résultats sont affichés dans le tableau suivant :

Tableau 6-1: vérification des contraintes ELU, ELS.

	El	LS	EI	LU
	Longitudinal	Transversal	Longitudinal	Transversal
N (KN)	45454,78	45454,78	59587,3	59587,3
M (KN.m)	38546,03	25876,19	43309,35	20290,98
V(m)	6,9	9,25	6,9	9,25
$I(m^4)$	30543,57	12076,14	30543,57	12076,14
$\sigma_{max}(KN/m^2)$	112,429	123,541	145,753	151,511
$\sigma_{min}(KN/m^2)$	103,721	83,9007	126,185	120,427
$\sigma_{moy}(KN/m^2)$	112,429	113,630	140,861	143,740
$\sigma_{adm}(KN/m^2)$	160	160	160	160
La condition	cv	Cv	cv	cv

Vérification de la stabilité :

La stabilité du radier consiste à la vérification des contraintes du sol sous le radier qui est sollicité par un effort normal N dû aux charges verticales et a un moment de nerveusement M dû sollicitation horizontales.

$$M = M_0 + V_0 \times h$$

Avec:

 M_0 : Moment a la base de l'ouvrage.

 v_0 : Effort tranchant à la base.

h : profondeur de l'infrastructure.

A cet effet, le radier doit être vérifier :

- Aux contraintes de traction (soulèvement) avec la combinaison $0.8G \pm E$.

- Aux contraintes de compression maximales avec la combinaison G + Q + E.

Les résultats sont affichés dans le tableau suivant :

Tableau 6-2: vérification des contraintes G + Q + E; 0, $8G \pm E$

	0,86	5 <u>+</u> E	G + C	Q + E
	Longitudinal	Transversal	Longitudinal	Transversal
N (KN)	66712,66	66712,66	59089,34	59089,34
M (KN.m)	27439,51	20047,32	18514,94	16791,27
V(m)	6,90	9,25	6,9	9,25
$I(m^4)$	30543,57	12076,14	30543,57	12076,14
$\sigma_{max}(KN/m^2)$	158,427	167,584	139,015	147,694
$\sigma_{min}(KN/m^2)$	146,029	136,872	130,650	121,971
$\sigma_{moy}(KN/m^2)$	155,327	159,906	136,923	141,263
$\sigma_{adm}(bar)$	1,6	1,6	1,6	1,6
La condition	cv	Cv	cv	cv

Vérification de stabilité au renversement : RPA 99 version 2003 art.10.15

Le radier reste stable si:

$$e = \frac{M}{N} < \frac{L}{4}$$

Avec:

e : l'excentricité de la résultante des charges verticales.

M: moment du au séisme.

N : charge verticale permanente.

Les résultats obtenus sont regroupés dans le tableau suivant :

Tableau 6-3 ·	vérification	de la stabilité au r	eversement du radier.
I AINICAU USA .	. VCI IIII AIIIIII	ue la siadille au l	eversement un rauter.

	0,8 <i>G</i>	$E \pm E$	G+Q+E		
	longitudinal	transversal	longitudinal	transversal	
N (KN)	66712,66	66712,66	59089,34	59089,34	
M (KN.m)	27439,51	20047,32	18514,94	16791,27	
M/N(m)	0,41	0,30	0,31	0,28	
B/4(m)	4,15	6,6	4,15	6,6	
La condition	cv	cv	cv	cv	

La dalle est calculée comme un plancher inverse, et son support est constitué des voiles de la charpente.

En tenant compte des ventilations des moments selon les conditions donnes par le BAEL91, le ferraillage sera calculé en flexion simple avec fissuration préjudiciable en raison de la présence de l'eau.

6.5 Ferraillage de la nervure :

La section de la nervure est considérée comme une section en T.

Avec:

b 1 : cette largeur à prendre en compte de chaque côté de la nervure ne doit pas dépasser :

- Le 1/6 de la distance entre points de moment nul, pour la poutre continue ça esquivant à prendre, le 1/10 de la portée.
- La moitié de l'intervalle existant entre deux faces parallèles de deux nervures consécutives 8h.
- Le ferraillage se fera avec les moments max aux appuis et en travées.

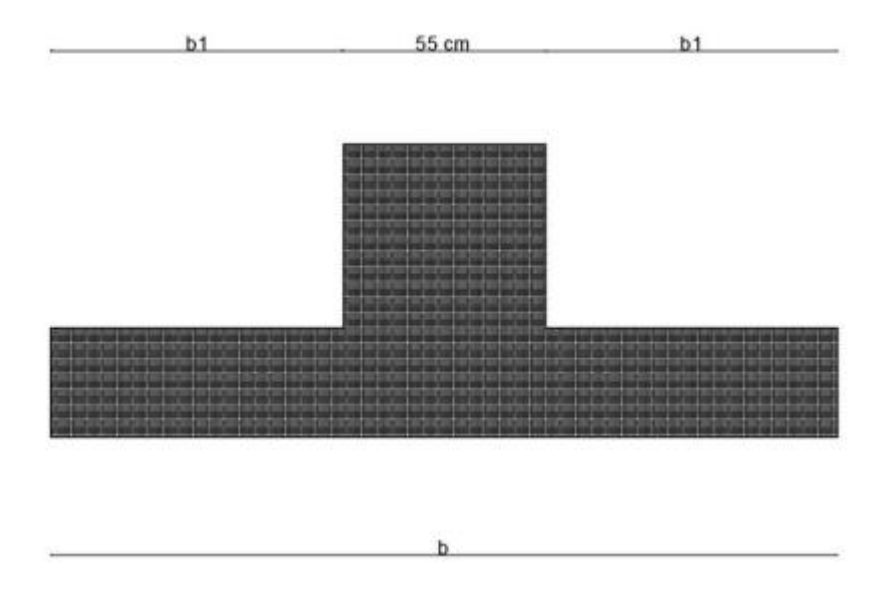


Figure 6-5 : schéma de la section de nervure.

6.5.1 Ferraillage des nervures suivant x-x,y-y:

Sens x-x:

Ma = 329,96 KN.m

Mt=181,64KN.m

Condition de non fragilité :

Amin =0,23.b.d. $f_{t28}/fe = cm^2$

As = $13,42 \ cm^2/ml$

On adopted: 4HA16+4HA20=20, 61cm², St=15cm

Sens y-y:

Ma =514,64 KN.m

Mt = 289,94KN.m

Condition de non fragilité:

Amin =0,23.b.d. $f_{t28}/fe = 4,78cm^2$.

As = $21,17 \text{ cm}^2/ml$

On adopted: 8HA20=25, $12cm^2$, St = 15 cm

6.5.2 Les vérifications :

A l'ELU:

✓ Vérification de l'effort tranchant : Art 5.1 BAEL91R99

Sens x-x:

Vu = 428,16KN

b = 65cm

d = 72cm

 $\overline{\tau}_u = min(0.1f_{c28}, 4MPa) = 2.5 MPA$ (Fissuration préjudiciable)

$$\tau_u = \frac{Vu}{b.\,d} = \frac{0,42816}{0,72 \times 0,65} = 0,911 MPa$$

 $\tau_u = 0.911 \, MPa \le \overline{\tau}_u = 2.5 MPa \dots condition verifiee$

Sens y-y:

Vu = 482,42 KN

b = 65cm

d = 72 cm

 $\overline{ au}_u = min(0.1f_{c28}, 4MPa) = 2.5MPa$

$$\tau_u = \frac{Vu}{b.d} = \frac{0,48242}{0,72 \times 0.65} = 1,03MPa$$

 $\tau_u =$ 1,03 MPa $\leq \overline{\tau}_u =$ 2,5MPa condition verifiee

A l'ELS:

✓ Contrainte de compression dans le béton :

La fissuration est préjudiciable, on doit vérifier que :

$$\overline{\sigma}_{bc} = 0.6. f_{c28} = 15 MPa$$

Contrainte maximale dans le béton comprime $\sigma_{bc} = k.y$

$$k = \frac{M_{ser}}{I} \qquad \rightarrow \qquad I = \frac{by^3}{3} + 15(A_s(d-y)^2 + A_s'(y-d')^2)$$

$$Y = \frac{15(A_s + A_s'')}{b} \left[\sqrt{1 + \frac{b(dA_s + d'A_s'')}{7.5(A_s + A_s'')^2} - 1} \right]$$

Tableau 6-4 : récapitule des résultats de contrainte de compression dans le béton.

		Mser (KN.m)	As (cm ²)	I (cm ⁴)	Y (cm)	K (Kg /cm ³)	σ _{bc} (MPa)	$\overline{\sigma}_{bc}$ (MPa)	Observation
travée	Sens x-x Sens y-y	33,34 26,60	20,61	$1,006 \times 10^5 $ $1,5 \times 10^6$	2,18	3,3	7,2 <u>s</u>		Condition vérifier.
appuis	Sens x-x Sens y-y	51,08	20,61	$1,006 \times 10^5$ $1,5 \times 10^6$	2,18	5,07	$11,05 \le 15$ $4,18 \le 15$		Condition vérifier.

6.5.3 Espacement: RPA99version2003

Les armatures transversales ne doivent pas dépasser un espacement St de :

- Zone nodale:

 $s_t \leq min(h/4,12\emptyset)$

Ø : le plus petit diamètre des armatures longitudinales nécessaire a la résistance.

 $S_t \leq 19,2cm \rightarrow donc: St = 15cm$

- Zone courante:

$$S_t \le \frac{h}{2} = 40cm \rightarrow donc : S_t = 25cm$$

- D'après le BAEL91 :

L'espacement entre lea armatures transversal ne doit pas dépasser la valeur suivante :

$$S_t \le min(15\emptyset, 40cm, \alpha + 10) = 24 cm$$

Choix des cadres :

 $A_{t min} \ge 0.003 \times St \times b = 2.925 cm^2$.

On prend : $A_t = 4t10 = 3,14cm^2$

Schéma ferraillage de radier :

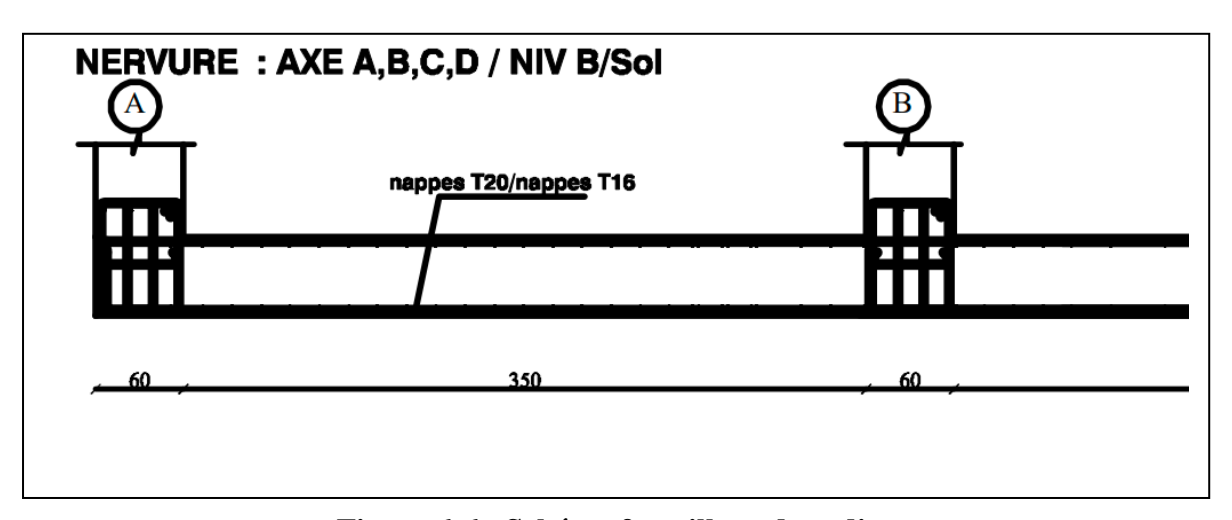


Figure 6-6 : Schéma ferraillage de radier

6.6 Étude du mur de soutènement :

D'après l'article 10.1.2 du RPA/ver2003, l'épaisseur minimale du voile est de 15cm, et d'après l'article 7.7.1 du RPA99/ver2003, l'épaisseur du voile est déterminée en fonction de la hauteur libre du l'entre sol et des conditions de rigidité aux extrémités.

 $e \ge max(h_e/25, h_e/22, h_e/20)$

6.6.1 Calcul du mur de soutènement :

Epaisseur et ≥15cm

Le pourcentage minimum des armatures est de 0,1% dans les deux sens (horizontaux, verticaux).

6.6.2 Détermination des sollicitations :

Le voile sera modélisé avec logiciel étapes, et sera soumis à la poussée des terres au repos ainsi qu'à la poussée due à une surcharge de $2.5 \, KN/m^2$

Le calcul se fait pour une bande de 1m de largeur.

Q: surcharge d'exploitation.

γ:Poid spécifique du sol.

 φ : angle de frottement inter du sol.

 k_0 :Coifficient de poussée des terres au repos.

6.6.3 Calcul des forces de poussée sur le mur :

Poussée due au poids des terres :

Cette charge est variable selon la hauteur du voile.

$$p_t = k_0 \times \gamma \times z$$
 $\checkmark \quad 0 < z < 1,22m$
 $p_t(z = 0) = 0KN/m^2$
 $p_t(z = 1,22) = 0,5 \times 18 \times 1,22 = 10,98 \, KN/m^2$
 $\checkmark \quad 1,22 < z < 2,46m$
 $p_t(z = 1,22) = 10,98 \, KN/m^2$
 $p_t(z = 2,46) = 0,5 \times 18 \times 2,46 = 22,14 \, KN/m^2$
 $\checkmark \quad 2,46 < z < 3,68m$
 $p_t(z = 2,46) = 23,4 \, KN/m^2$
 $p_t(z = 3,68) = 0,5 \times 18 \times 3,68 = 33,12 \, KN/m^2$.

Poussée due à la surcharge :

$$\checkmark 0 < z < 3,68m$$

 $p_s = k_0 \times Q = 2,5 \times 0,5 = 1,25 \, KN/ml$

6.6.4 Calcul du ferraillage du mur de soutènement :

Le ferraillage se fera en flexion simple avec fissuration préjudiciable, pour une bande de section $(100\times20)cm^2$

6.6.4.1 Ferraillage verticale:

$$A = 4,82 \ cm^2$$

Section minimale d'armatures :

- RPA99 version 2003/BAEL91 :

$$A_{min} = 0.1\% \times 100 \times 20 = 2 \ cm^2$$

- BAEL 91:

$$A_{min} = 0.0008 \times b \times h = 1.6 \ cm^2/ml$$

Choix des barres:

$$A_{y} = 4.82cm^{2} > A_{min} = 2cm^{2} \rightarrow on \ adopte: 5HA12 = 5.65cm^{2}$$

6.6.4.2 Ferraillage horizontale:

$$A = 2,73cm^2$$

Section minimale d'armatures :

- RPA99 version 2003/BAEL91 :

$$A_{min} = 0.1\% \times 100 \times 20 = 2~cm^2$$

- BAEL 91:

$$A_{min} = 0.0008 \times b \times h = 1.6 \text{ cm}^2/\text{ml}$$

Choix des barres:

$$A_u=2.73cm^2>A_{min}=2cm^2\rightarrow on~adopte; 5HA12=5.65cm^2$$

6.6.5 Vérification:

A l'ELS:

$$k = \frac{M_{ser}}{I}$$
 $\rightarrow I = \frac{by^3}{3} + 15(A_s(d-y)^2 + A_s'(y-d')^2)$

$$Y = \frac{15(A_s + A_s'')}{b} \left[\sqrt{1 + \frac{b(dA_s + d'A_s'')}{7.5(A_s + A_s'')^2} - 1} \right]$$

$$\sigma_{bc} = k.y$$

$$\overline{\sigma}_{bc}=0$$
,6. $f_{c28}=15MPa$

Tableau 6-5 : recapitule des résultats de contrainte de compression dans le béton.

Sens	Mser	As	I	Y	K	σ_{bc}	$\overline{\sigma}_{bc}$	Observation
	(KN.m)	(cm^2)	(cm^4)	(cm)	(Kg /cm ³)	(MPa)	(MPa)	
Sens x-x	10,75	5,65	$7,60 \times 10^3$	5,03	1,41	7,09	15	Condition vérifier.
Sens y-y	19,02	5,65.	$7,60 \times 10^3$	5,03	2,69	10,5	15	Condition vérifier.

Schéma de ferraillage :

On obtient deux nappes de même ferraillage

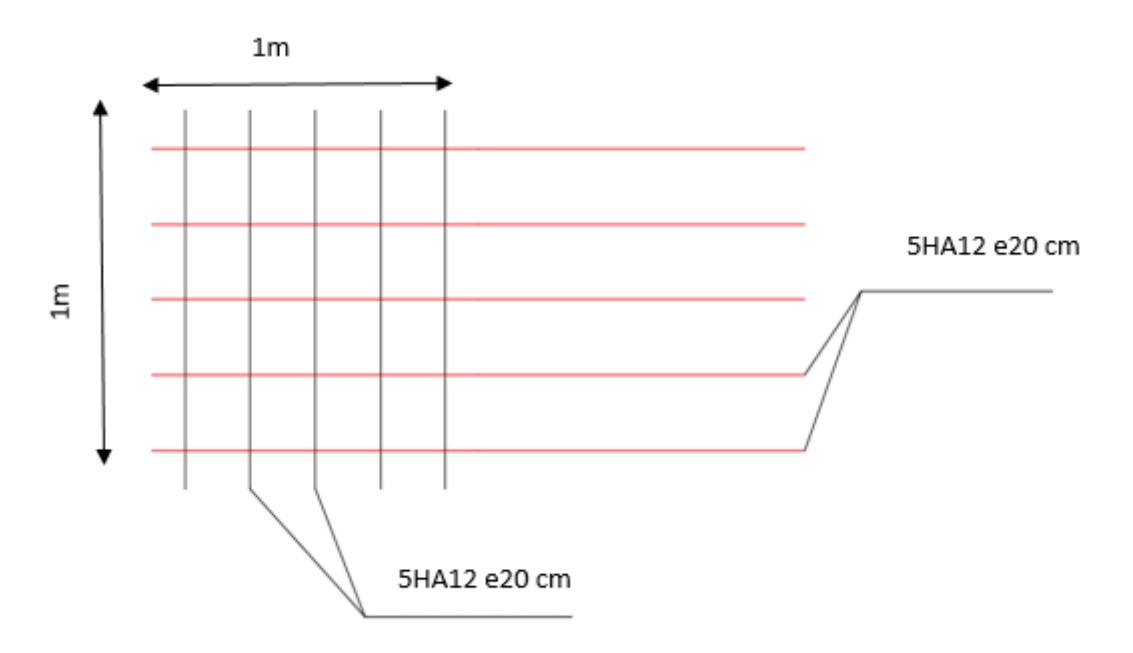


Figure 6-7 : schéma de ferraillage pour une nappe du voile .

Conclusion générale :

Le projet de fin d'études est une étape importante dans le cycle de formation de l'ingénieur. En fait, c'est une bonne occasion pour nous d'appliquer les connaissances théoriques que nous avons acquises durant les cinq années d'études. Cette expérience nous permet d'approfondir notre spécialité et de bien comprendre le comportement des différents éléments de l'ouvrage afin de connaître les étapes à suivre et d'appliquer les règlements en vigueur dans l'étude d'un bâtiment en béton armé.

Lors de notre travail, nous avons d'abord considéré le lieu d'implantation de notre ouvrage, qui est une zone de sismicité élevée. Ainsi, après avoir effectué un dimensionnement préliminaire des éléments secondaires et principaux, notre principale préoccupation a été de choisir le meilleur système de contreventement. Suite à l'application des règlements parasismiques algériens, nous avons adopté un système de contreventement par voiles porteurs pour la reprise des charges horizontales dues au séisme. La disposition des voiles a été un compromis entre la fonctionnalité de la structure et une meilleure conception sismique.

L'utilisation du logiciel de calcul et d'analyse des structures (ETABS) nous a permis de nous familiariser avec l'outil informatique, comme elle nous a facilité le calcul des efforts internes. Le calcul du ferraillage des éléments a été effectué selon le règlement BAEL. Le type de fondation que nous avons choisi est un radier général, connu pour sa combinaison entre l'aspect technique et économique, qui est notre objectif recherché.

Enfin, nous espérons que ce modeste travail, accompagné de quelques illustrations et définitions présentes dans le règlement que nous avons utilisé, apportera de l'aide aux prochaines promotions.

Bibliographie:

* Règlements:

- RPA99/Version 2003 (règlements parasismiques algérienne).
- CBA93 (règles de conception et de calcul des structures en BA.
- DTR B.C.2.2 (document technique règlementaire charges et surcharges).
- BAEL91/Version 99 (béton armé aux états limites).
- DTR BC2.33.2 (règles de calcul des fondations superficielles).

* Cours et mémoires :

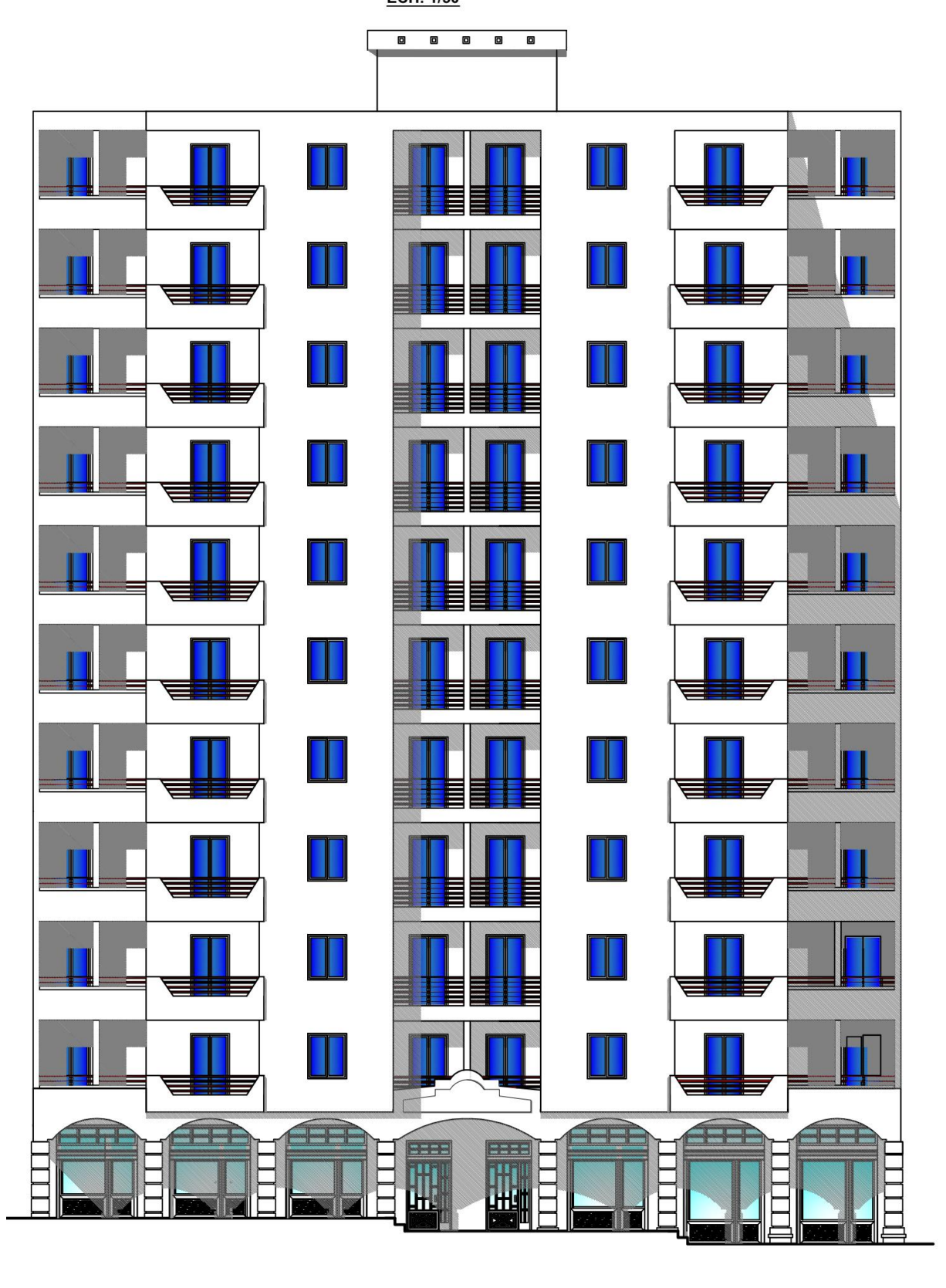
- Cours de béton armé 3^{ème} année.
- Cours de résistance des matériaux 3^{ème} année.
- Cours de calcul des structures en BA master1.
- Cours de conception et techniques master1.
- Mémoires et thèses des promotions précédentes.

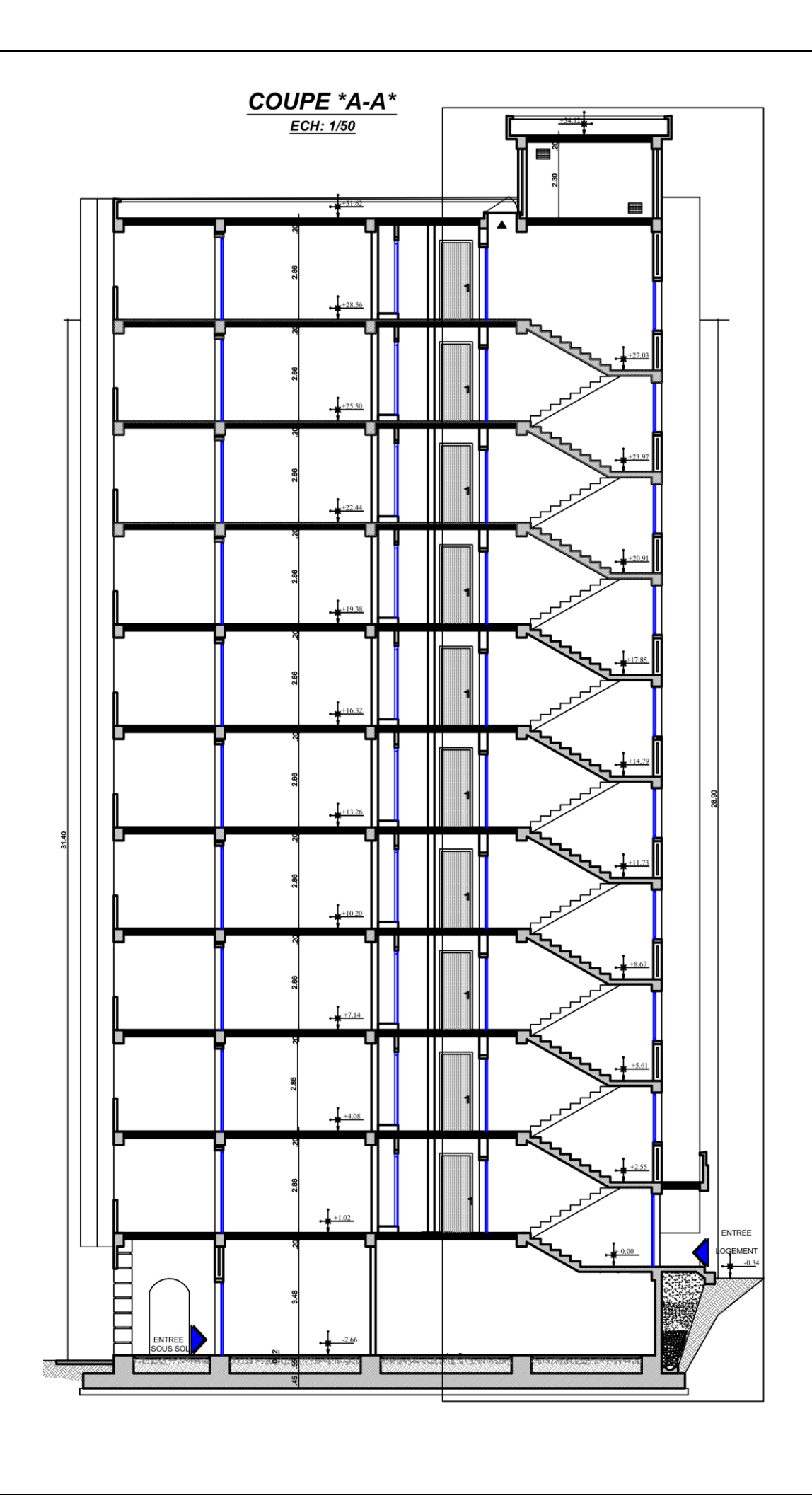
* Logiciels:

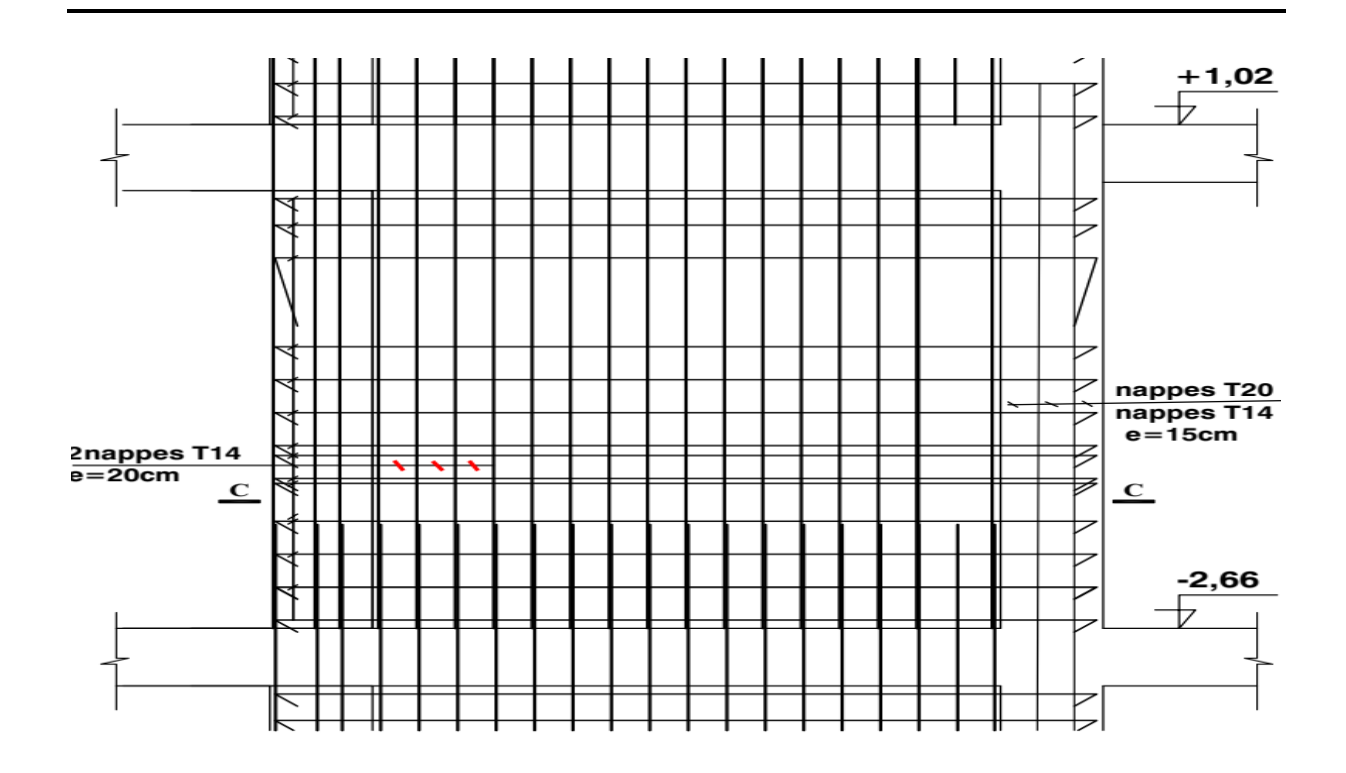
- ETABS V9.7.0 : (étude dynamique et sismique, détermination des efforts).
- AUTOCAD 2016 : (dessin et conception des plan).
- SOCOTEC : (calcul de ferraillage).
- WORD 2019 : (traitement des textes).
- EXEL 2019 : (calcul).

FAÇADE PRINICIPALE

ECH: 1/50







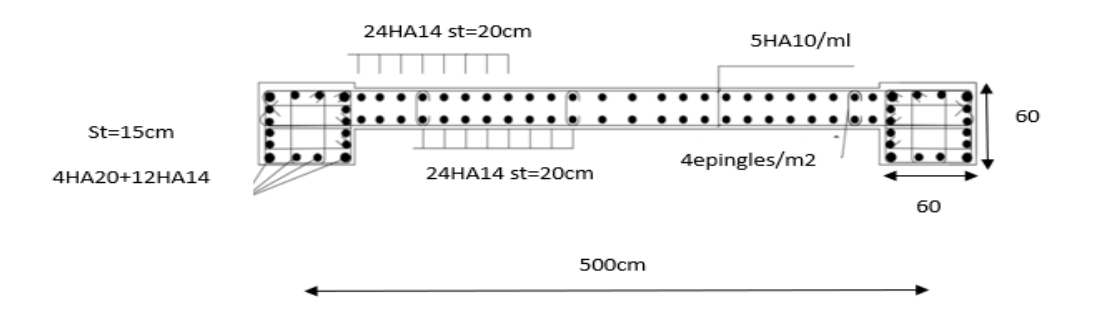


Schéma ferraillage du voile VL5

